

(c) 陽起石型 : 陽起石-緑泥石-石英-絹雲母

対応する鉱床 : Mantos

(d) 石膏型 : 石膏-石英-[緑泥石、陽起石]-絹雲母

対応する鉱床 : Abundancia, Gentil, Santa Rosa, Montecristo

なお、上記(b), (c) および (d) の鉱床には方解石、緑レン石などを伴う。またこれらのタイプと鉱石鉱物の関係は次のように概略関係づけられる。

(1) 石英型 : 磁鉄鉱

(2) 石英-陽起石型、陽起石型 : 磁鉄鉱(黄銅鉱)

(3) 石膏型 : 黄銅鉱、黄鉄鉱、磁鉄鉱

## 1-2 B地区 (Cachinal de la Sierra カチナル・デ・ラ・シエラ)

### 1-2-1 地質

本地区の地質は、PL. 3-2(1) および、3-2(2) Fig. III-2-1 に示した通り、第三紀初期の中性~酸性火山岩類および貫入岩類から構成されている。

本地区の最下底層は、緑灰色の安山岩質火砕岩からなり、無層理塊状の凝灰角礫岩が卓越している。

同火砕岩を整合におおって石英安山岩質溶結凝灰岩が厚く分布しており、地域北部で角閃石安山岩溶岩と一部指交している。

以上の岩層を貫いて、Cachinal 鉱床近傍に閃緑岩および石英斑岩の岩株がほぼN-Sに延びて発達している。

両岩株の貫入はほぼ同時代と思われるが、後者がやや後期と考えられる。

以上の岩層を不整合におおってアファニティックな安山岩溶岩が薄く発達しており、同溶岩層を貫いて、溶岩円頂丘状の石英安山岩斑岩が地域西部に散在している。

以上の火成活動終了後、短い侵食期をおいて、再び安山岩溶岩が流出しているが、その量は少なくかつ台地状の産状を呈している。

これらの地層を薄くおおって第四紀の砂礫層が西に向かって、広くかつ厚く分布しており、鉱床近傍で第三系や鉱床の露出を悪くしている。

今次調査において、溶結凝灰岩と指交している安山岩溶岩および溶岩円頂丘の石英安山岩斑岩の絶対年代(K-Ar法)を測定し(他の岩層は変質作用が進んでいるため、測定試料として適当なものがなかった)、Apendice Tab. 2 の結果を得た。

この結果から、台地状安山岩溶岩より古い岩層は、第三紀初期(暁新世)の活動と考えられる。

本地区は、無層理の火山岩類が多いため、地質構造が必ずしも明瞭でないが、溶結凝灰岩層およびその下位の安山岩質凝灰岩は、大局的にN-S, 20~30° Eの方向、傾斜をな



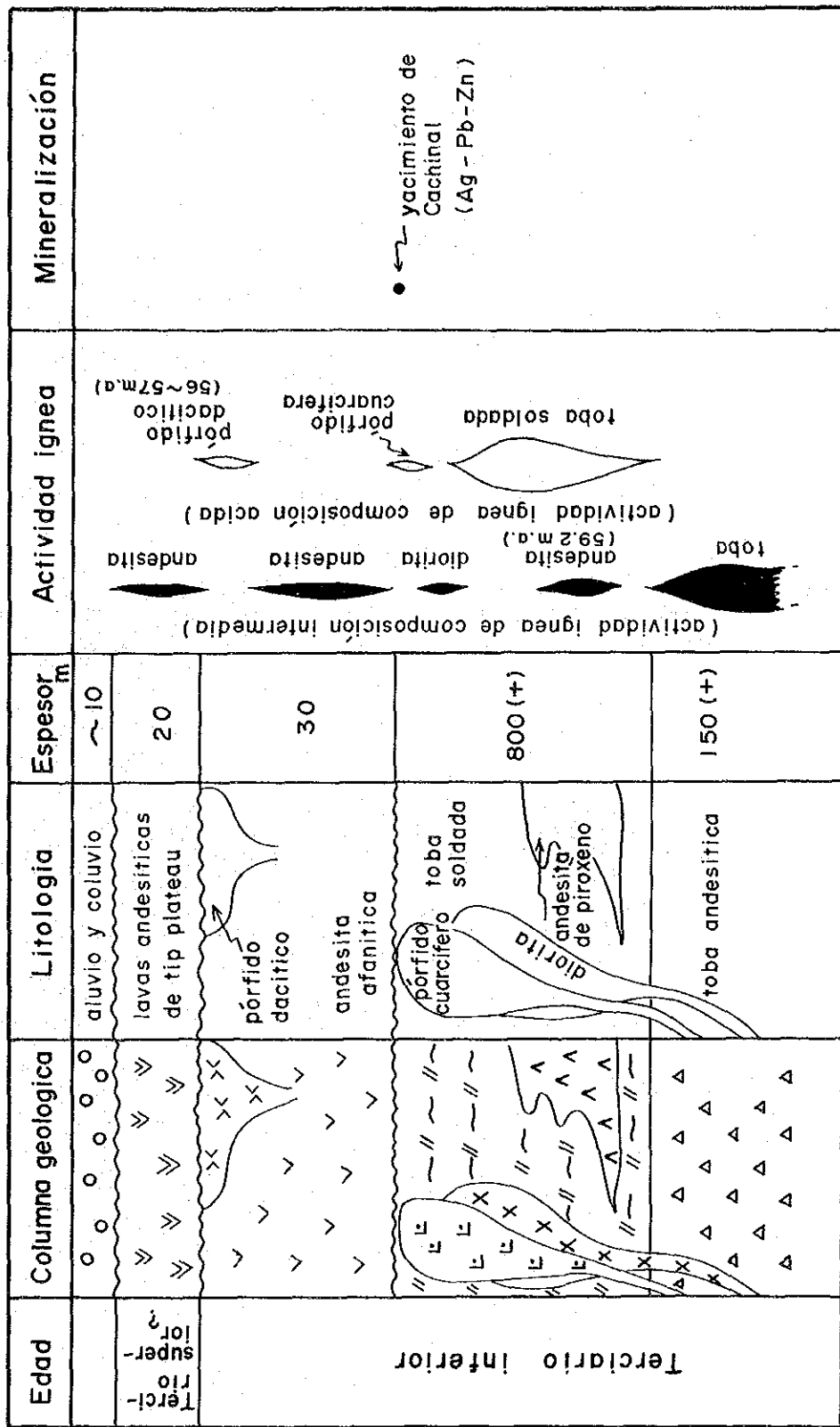


Fig. III -2-1 B地区模式地質柱状图



している。これらの地層より新しい地層はほぼ水平に近い構造を呈している (PL. 3-4 断面図参照)。

断層構造は、第四系に被覆され明瞭ではないが、Cachinal 鉱床に平行した NNW-SSE 系と E-W 系が確認あるいは推定される。

## 1-2-2 鉱床

### 1) 緒言

本地区には、銀鉱を主要鉱種とした鉱脈鉱床の Cachinal de la Siera 鉱山があり、現在稼行中である。

### 2) 沿革および生産

1862年 : 鉱床発見? (資料 La Plata de Viciña Mackenna, 1882による)

1880~1930年 : ドイツ会社 (Descubridoras de Cachinal 鉱山) が、銀鉱生産 15脈、開発延長 1,500m、開発深度 150m、銀量 100kg/月 (最高生産量 5,000kg/月 1920~1930年)、総生産量 1,000t (粗鉱量 1.0~1.5百万トン)、粗鉱品位 Ag 700g/t

1930~1978年 : 休山、この時期に Chañaral-Taltal (略称 CHATAL) 鉱山会社が鉱業権取得。1970年初期同会社は、公社である ENAMI および CORFO に吸収され、同会社の子会社となる。この間、ENAMI および CORFO などによって、調査および探鉱を実施。

1978年 : Chatal 会社が生産再開、生産規模 60,000T (Ag 300g/t)

1986年1月現在 : Chatal 会社が教社の請負業者に採掘を委託している。

### 3) 鉱化作用

#### ◆ 関係火成岩

PL. 3-2 に示した通り、鉱床は、閃緑岩、石英斑岩および石英安山岩質溶結凝灰岩を母岩としているが、このうち、同活動後に鉱化作用が行われている。

また、石英斑岩自体およびその周辺に鉱床が偏在しているなどの事実から、鉱床は同斑岩ともっとも密接して形成されたものと考えられる。

#### ◆ 鉱床の規模

本鉱床には10数条に及ぶ鉱脈が発達しているが、それらの名称は必ずしも明瞭でない。従って、本調査において主要脈に対し下盤側 (西側) よりアルファベット順に仮称を付した。なお、以下の記載あるいは付図の括弧内名称は ENAMI (1980) の名称を引用した。

主要鉍脈は、A脈からN脈まで14条あり、それらの規模は Tab. III - 2 - 2 の通りである。更に分岐脈や稼行されていない細脈を含めると20条を越える。これらのうち、主脈はJ脈 (Carmen 脈) である。

◆ 鉍脈裂か

主要鉍脈は、PL. 8 - 1 にみられる通りN - S方向3 km、E - W 2 kmの範囲に分布しており、N20° W系とN50° W系に大別される。脈数は前者が12条、後者が2条である。

鉍脈の傾斜は、60~85° Eが多いが、一部の鉍脈 (E脈, FおよびG脈の一部) は80° Wと逆傾斜を示している。

また、西に分布している鉍脈群 (A~G脈) は80° 前後の急傾斜をなし、東の鉍脈群 (H~N脈) は60° ~70° とやや緩傾斜をなしている傾向がみられる。これは、西の鉍脈群が閃緑岩および石英斑岩中に胚胎しており、東の場合は、主として石英安山岩質溶結凝灰岩に胚胎しているという母岩の差によるものであろうか (PL. 3 - 2 参照)。

また、上記火成岩体における鉍脈群の脈間隔は、比較的密に (50~70m)、火砕岩の場合は粗になっている。

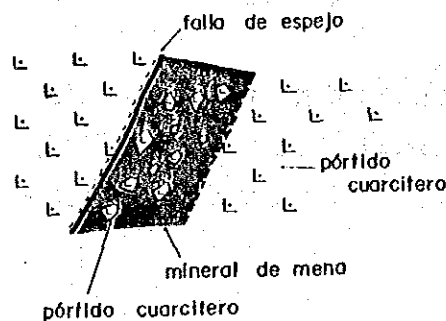
また、あまり明瞭ではないが、これらの鉍脈は、西から東に向かって北に延びた雁行配列のパターンもうかがえる。

2系統の鉍脈は、東部で交差しているが、両者の接触関係は現在観察できず (資料もなく) 不明である。

ひの内構造は、下図の模式断面図に示すように、脈の上盤と母岩との境には多くの場合断層による鏡肌がみられ、ひの内は3~5 cmに角礫化した母岩を石英、赤鉄鉍および珪化岩が充填し、この充填部に方鉛鉍、酸化銅鉍、銀鉍物などが鉍染している (PL. 8 - 1 のJ脈はこの例)。

また、逆に珪化岩が石英、赤鉄鉍、方鉛鉍などの細磁を充填している場合も稀にみられる。

以上の点から、鉍脈裂かの多くは、断層による破碎作用と熱水による角礫化が複合して形成されたものと推察される。



Tab. III -2-2 Cachinal de la Sierra 鈹床特性一覽表

Nombre de Veta	Rumbo	Manteo	Dimencion de la veta reconocida y inferida		(m)	Ley										Descripciones			
			Longitud	Profundidad		Potencia	Au(ppb)	Ag(ppm)	Mo(ppm)	Cu(ppm)	Pb(ppm)	Zn(ppm)	As(ppm)						
A	N17°W	75°-80°NE	100	Pique	0.5-0.8	3.5ppm	>500	1	340	34.80%	9.11%	16	-	-	-	-	-	-	-100ML (1 muestra buena)
B	N22°W	75°-80°NE	-	680	0.5-0.8	-	-	-	-	-	-	-	-	-	-	-	-	-	-
C	N20°W	80°NE	-	240	0.5-0.8	-	-	-	-	-	-	-	-	-	-	-	-	-	-
D	N20°W	85°NE	-	300	0.5-0.8	-	-	-	-	-	-	-	-	-	-	-	-	-	-
E	N20°W	80°SW	-	430	-	-	-	-	-	-	-	-	-	-	-	-	-	-	-
F	N20°-20°W	85°NE	130	750	1.0-5.0	-	250	-	-	-	-	-	-	-	-	-	-	-	-
G	N33-10°W	78°-87°NE or 80°SW	20	890	0.5-1.0	-	-	-	-	-	-	-	-	-	-	-	-	-	-
H	N20°W	70°NE	25	1,300	1.0	-	-	-	-	-	-	-	-	-	-	-	-	-	-
I	N24°W	-	-	450?	-	-	-	-	-	-	-	-	-	-	-	-	-	-	-
J	N10°-20°W	60-80°NE	150	1,950	1.0-2.0	1.5ppm	>500	<1	0.13%	2.37%	1.59%	108	-66ML (1 muestra buena)						
"					-	400	211	<1	72	703	4.967	44	-100ML(4 muestras)						
"					0.6	60	64	<1	102	390	690	44	-146ML(1 muestra)						
"					0.7	2.1ppm	711	-	-	0.89%	0.43%	-	3 muestras (ENAMI, 1980)						
K	N45°W	75°NE	-	500	0.9	0.1ppm	390	-	-	0.79%	0.44%	-	6 muestras (ENAMI, 1980)						
"					-	200	79	<1	91	255	225	23	-20ML (1 muestra)						
L	N20°W	-	-	400	-	-	-	-	-	-	-	-	-						
M	N45°W	68°NE	-	1,500	-	-	-	-	-	-	-	-	-						
N	N15°W	-	-	pique	-	-	-	-	-	-	-	-	-						



◆ 構成鉱物

a. 鉱石鉱物 (Apendice Tab. 4 参照)

含銀方鉛鉱、閃亜鉛鉱、硫酸鉛鉱(?)、酸化銅鉱、銅らん、および少量の黄銅鉱、輝安銅銀鉱、淡紅銀鉱、自然銀、Chloragyrite (AgCl)

b. 脈石鉱物

石英、赤鉄鉱、褐鉄鉱、この他 Universidad del Norte (1978) によると自然金、黄鉄鉱などが微量確認されている。

◆ 帯状分布

入坑不可能旧坑が多く、帯状分布の考察に足る資料の入手が困難である。

なお、ENAMI (1980) によると、深度120~130mまで酸化帯および二次富化帯 (Ag 300g/T 以上) が発達している、とされている。

◆ 富鉱部

品位図など十分な資料がないため、富鉱部の考察は難しいが、山元の従業員の話によると、F脈やJ脈などの富鉱部 (Ag 400~500g/t を基準) は楕円形を呈し、落しはほぼ垂直に近く、その規模は、60m×20m 程度、とのことである。

◆ 鉱脈の末端状態

G脈の南ひ先は、トレンチ調査によると、2~3cmの不毛の石英細脈および粘土脈に変わっている。これが、本鉱床における末端状態であろう。また、後述の通り、母岩の変質鉱物組合せが、次のように変化している。

鉱脈中心部 : 石英-パイロフィライト

鉱脈末端部 : カオリン- (絹雲母)

◆ 鉱床生成時期

直接母岩あるいは変質鉱物による年代測定は、適当な試料が得られず不可能であったが、Fig. III-2-1 に示した通り、母岩の形成時期から鉱床の生成時期は 56 m.y. と 59 m.y. の間、即ち、古第三紀暁新世と考えられる。

◆ 鉱化作用後の変位

Apendice Fig. 29 にみられるように、後鉱化作用の主な断層には、N70° W系、N60~70° E系およびN0~10° E系の3系列があり、前二者は、鉱脈を転位しているが、N0~10° E系による鉱脈の転位は殆どみられない。

また、N70° W系断層は、断層先の北ひ先を西に数m 転位させている。一方、N60~70° E系は同じく北ひ先を東に数m 転位させている。

これらの傾向は、今後のひ先探鉱の指針の一つとなろう。

4) 変質作用

本地区においては、鉱床帯を中心に熱水変質作用がみられ、外側に向かって減衰し

ている。変質の程度は総じて弱く、斑晶の長石が完全に変質鉱物に変わっている場合は、鉱床の近傍に限られている。

変質鉱物は Appendix Tab. 5 に示した通り多種にわたっており、それらの特長は次の通りである。

◆ 石英

石英は、本地区サンプルの殆んど全部に多量に検出される。鉱脈付近は強い珪化帯が発達し石英の検出は当然であるが、母岩中の石英も検出されているので、変質鉱物としての石英は少ないものとならう。

◆ カリ長石・斜長石

本鉱物はほぼ普遍的に検出される。このことは、変質程度が一般に弱いことを暗示している。斜長石はカオリン鉱物の消長と逆相関がみられる。

◆ クリストバライト、トリディマイト

本地域では稀産鉱物で、試料 Ap-50 (Pique 3 の西北西、K 脈の上盤) に 1 点検出されたのみである。

◆ モンモリロナイト・混合層鉱物

主として脈の近傍、時に脈内にも検出される。単独で検出される場合もあるが、稀で、大部分は緑泥石・絹雲母・カオリン鉱物、緑泥石・絹雲母と共生するケースが多い。分布状態は一般的にカオリン帯の周辺に多産するが、カオリン鉱物との共生も少なくない。出現するゾーンは余り幅広くもなく、連続性にも乏しい。

◆ 緑泥石

緑泥石は、本地域ではかなり一般的な鉱物である。検出される他の全ての鉱物と共生するが、カオリン鉱物の分布域では本鉱物の消失乃至減少が認められることから、緑泥石は広域変質の産物である可能性も強い。

◆ 絹雲母

絹雲母も緑泥石よりさらに普遍的に出現する。緑泥石と同様、検出される全ての鉱物と共生する。カオリン鉱物の分布域では、緑泥石が明瞭に消失乃至減少するのに比べ、かならずしも消失～減少を示していない。むしろ、カオリン～パイロフィライト帯に於いても絹雲母の存在が認められることが多く、広域変質とは別に鉱化変質鉱物としての絹雲母の存在が推定される。

◆ カオリン・カオリナイト

脈及び鉱化変質帯に出現することが多い。他の鉱物と共生することも少なくないが、強いカオリン化帯では単独で検出される場合も多い。前述のように緑泥石とは排反的であるが、モンモリロナイトとは親和性を示す傾向があり、逆にモンモリロナイトが熱水鉱物であることの判断資料となっている。

◆ パイロフィライト

パイロフィライトの分布域はかなり限定的である。即ち、次のとおりである。

E脈～G脈間のカオリン～パイロフィライト帯中。

J脈上及びその延長上の Pique 3。

パイロフィライトは、本変質帯中の中心部を示しているものとみられる。

◆ 明ばん石

明ばん石は、J脈上でパイロフィライトと共に1点のみ検出された。

◆ 石膏類

カオリン鉱物帯と消長を共にする傾向が認められるが、それ程明瞭ではない。

◆ 沸石類

沸石鉱物として検出されたのはモルデン沸石、濁沸石である。分布はG脈上のカオリン帯～モンモリロナイト帯の下盤側に認められ、当該脈の変質帯の最下盤に位置し、変質ハローの外郭をなしている。

以上の変質鉱物の組合せおよび分布特徴をまとめると、Appendices Fig. 26, 27 および28に示したように、鉱床を中心とした変質分帯が可能である。

即ち、鉱床から外側に向かって

I帯 … 石英-パイロフィライト帯 (脈内)

II帯 … カオリン- (絹雲母、石膏) 帯

III帯 … 絹雲母-緑泥石- (石膏) 帯

IV帯 … モンモリロナイト- (絹雲母・緑泥石) -石膏帯

V帯 … 沸石帯

VI帯 … 非変質帯

である。

IおよびII帯は殆んど常に脈内あるいは脈際50m程度の範囲に存するが、III帯およびVI帯は鉱脈によって現れない場合もある。

以上の変質分帯は本鉱床探査にとって有効であると考えられる。

## 第 2 章 地 化 学 探 査

### 2-1 A地区

#### 2-1-1 試料の採取

本地区における採取試料数は201個で、その内容は次の通りである。

河床堆積物 : 110個

土 壤 : 91個

本地区は表土はごく薄いので、採取した土壌は河床堆積物といちぢるしい差異はないものと考えられる。

#### 2-1-2 データー処理

成分分析値は Apendice Tab. 29 (16) に示した。統計処理値は Apendice Tab. 26 の通りであり、ヒストグラムは Apendice Fig. 53 に、また、CuおよびAsの累積度数分布曲線は Apendice Fig. 53 に各々示した。

#### 2-1-3 結果および検討

本地区では成分別異常が概ね鉱床や鉱微地と一致して認められる。

- 1) Au : A級異常が La Fortuna 南方に、B級およびC級異常が Abundancia 鉱山南西などに点在する。
- 2) Ag : AuのA級異常と同一地点にある。C級異常は Mantos 鉱山~La Fortuna 鉱山、Gentil 鉱山周辺などに分布する。西部地区にはAgを主とするAg-Cu-Auの異常帯がある。
- 3) Cu : A級 Abundancia 東方あるいは Mina Gentil、La Fortuna 南方などにある。B級およびC級異常などを含め、本地区中央部の北部ではCu-Mo、As帯また南部ではCu-Ag、AsおよびCu-Au、Moの帯などとしてみられる。
- 4) As : A異常はCuと同一の地点ほか Montecristo 鉱山の西方にある。B級、C級の異常はAs-Cu帯として東部地区にみられる。東側ではAs帯が分布する。
- 5) Mo : Mantos 鉱山から北方にかけてA、B、C各級の異常が散在する。そのほか Abundancia 鉱山東方でNS方向にB、C級の異常が散在する。

上述の各成分異常とこれに関連づけられる鉱化帯とは

- a) As異常帯 - Fe、石英帯
- b) CuとAg、Asの異常 - Fe(Cu)、陽起石帯
- c) CuとMo、Asの異常帯 - Cu、Fe、石膏帯

のごとき関係が考えられる。このほか Ag、Cu 異常帯がこれらの西側に認められる。

## 2-2 B地区

### 2-2-1 試料の採取

本地区における試料数は、208個で、全て岩石を採取した。

### 2-2-2 データ処理

Ag のデータ処理は他地区と異なり、かなり高い値がでているのでヒストグラムを作成すると、最大の分布を示すのは0.1~1.0の間となり高くなるに従い減じいるので、きわめて少なくなる数の区間（即ち5~6ppm）をもって異常値とした。即ち、バックグラウンドの上限はきわめて少なくなる数の区間の直前（即ち5ppm未満）とした。

分析値は、Appendice Tab. 29 (17) に示した。統計処理値は、Appendice Tab. 27 の通りであり、ヒストグラムは Appendice Fig. 54 に各々示した。

また、異常値の範囲、種類および数は Appendice Tab. 27 の通りである。

### 2-2-3 結果および検討

Appendice Tab. 27 の通り、各成分ともかなりの異常数が得られているが、それらの多くは既存鉱床の付近に集中している。

#### 1) Au :

A, BおよびC級組合せて 12点の異常が検出されているが、このうち地域の東部に既存鉱床から離れて、AおよびB異常が各1点分布している。異常数が少ないので明確には言い切れないが、異常域付近に、平行新脈の賦存も考えられ、注目に値する。

#### 2) Ag :

Auの東部異常域と同地点にA級異常が2箇所、F脈およびG脈の南延長部のトレンチにA級異常が各1点、並びにJ脈の北延長付近にA級異常が分布している。

東部の異常について、Auと同様のことが考えられ注目に値する。また、南部トレンチの異常については、地質調査の結果では、該当脈を確認していないが、既述の通り、付近にはカオリン変質帯が発達しており、Ag異常とも合まっているため、潜頭鉱床の可能性も考えられる。注目に値する異常である。

また、北部についてもJ脈の北部への発展も考えられ、今後、注目に値するものである。

#### 3) Cu :

Cuについても上述したAgの異常域と同一地点に、AあるいはB級異常が得られており、興味もたれる。

4) As :

Asについては、既存鉱床との対応が充分につけられない。また、C級異常が多く、適正な指示元素として利用できないものと考えられる。

5) Mo :

Moについては、全異常数20個のうち、A級異常が14個得られており、その大部分は、B脈～G脈付近に集中している。このことが何を意味しているかについては、更に多くのデータを集め検討する必要がある。

## 第 3 章 流体包有物の研究

### 3-1 A地区

研究目的：Montecristo-Abundancia 地区における鉱床探査の指針を得るため、石英、方解石中の包有物による鉱床生成温度と塩濃度について検討を行なった。

#### 3-1-1 試料の採取

##### 1) 採取位置

採取試料数は52個で、これらの位置は PL. 5-21 に示した通りである。

試料は主として Abundancia, Mantos, Socavon および Gentil などの鉱床を中心として、鉱石およびその周辺のいわゆるひの内から採取した。

##### 2) 試料の特徴

試料は石英脈が大半であるが、一般に乳白色を呈し、緻密塊状で鏡鉄鉱、磁鉄鉱、黄銅鉱、黄鉄鉱、陽起石、緑泥石、方解石などを伴う。小さい割れ目に酸化銅鉱や褐鉄鉱が認められる。一部のものにはレンズ状の石英もある。

方解石脈は透明乃至半透明で、比較的結晶質のものである。一部のものは石英を少量伴う。このほか陽起石と共生するものや、黄銅鉱、黄鉄鉱を伴うものもある。

#### 3-1-2 流体包有物の観察および測定

試料は厚さ約 0.5mm 以下（石英および方解石の透明度によって厚さは異なる）の薄片とし、表面をよく研磨して用いた。

流体包有物には液体包有物と気相包有物が観察されたが、A, B地区共気・液2相から成る液体包有物が圧倒的に多い。

各試料共流体包有物を多含しているが、多くの包有物は長径10 $\mu$ 大（付帯資料写真集参照）で、300倍の顕微鏡下でもごま塩状を呈しており、従って、均質化温度の測定に耐え得た試料はA地区9個、B地区14個に過ぎなかった。

また、塩濃度の測定が可能な包有物はA地区の場合1個もなく、B地区で5個に過ぎなかった。

包有物の中には、液体二酸化炭素の存在を暗示するような、気泡の周囲をとりまく二重輪郭が認められるものもあるが、微小のため確認できない。

流体包有物の形は、楕円形や不規則なものである。擬二次包有物・二次包有物は不規則な形である。

気相の占める割合の多い気相包有物は、B地区のものに多く、A地区のものには殆ど見られない。

なお、本測定で使用した機器、測定条件などは次の通りである。

◆ 均質化温度測定

- ・ 測定装置 : ライツ顕微鏡加熱ステージ 1350型
- ・ 温度検定補正試料 : 分析用重クロム酸カリウム (溶融点 394°C)
- ・ 温度読取り誤差 :  $\pm 10^\circ\text{C}$  (温度計の目盛は $20^\circ\text{C}$ 間隔)

◆ 塩濃度 (凍結温度) 測定

- ・ 測定装置 : ニコン低温顕微鏡 NE型
- ・ 冷 媒 : 液体窒素
- ・ 温度読取り誤差 :  $\pm 0.5^\circ\text{C}$  (温度計の感度は $0.3^\circ\text{C}$ 、目盛は $1^\circ\text{C}$ 間隔)

3-1-3 均質化温度および塩濃度

1) 均質化温度

均質化温度の測定結果は Tab. III-2-3 の通りである。なお、試料 No. MK16-R3 は産状から擬二次成包有物の可能性があるため、以下の考察データから除外した。

同温度は $250^\circ\text{C}$ ~ $470^\circ\text{C}$ と巾広い。また、平均温度の巾は $275^\circ\text{C}$ ~ $363^\circ\text{C}$ であり、 $350^\circ\text{C}$ 前後が多く、いずれの鉱床もかなり高温を示している。

鉱化分帯と均質化温度の関係は次の通りである。

Cu帯 :  $275^\circ\text{C}$  (平均温度、以下同じ)、 $362^\circ\text{C}$

Cu-Fe帯 :  $357^\circ\text{C}$ 、 $334^\circ\text{C}$

Fe-Cu帯 :  $329^\circ\text{C}$

Fe帯 :  $356^\circ\text{C}$ 、 $363^\circ\text{C}$ 、 $362^\circ\text{C}$

これらが示す通り、相対的にはCu帯からFe帯にかけ温度が増加している。これについては構成鉱物の組合わせからも予想されたことであるが、均質化温度がそれを定量的に裏付けている (Fig. III-2-2 参照)。

また、これらの温度を日本の鉱床 (鉱山地質特別号7号) の場合と比較すると、先第三紀銅、鉛、亜鉛鉱床の高温部、あるいは先第三紀モリブデン、タングステン、錫鉱脈鉱床の高温部に匹敵している。

2) 塩濃度

包有物が小さいため、塩濃度の測定に耐え得るものがなかった。

Tab. III -2-3 A地区における流体包有物の均質化温度

Muestra No	Descripciones	Numero de I.F. medida	Veta o fenocristal	Temparatura de homogenización (°C)	Temperatura (°C)			Salinidad (wt%)
					promedia	mínima	máxima	
ST 57	cuarzo lechoso poroso con limonita	10	Veta	370, 460, 300 330 G 350 G 330 G 360 G 320 G 380 G 360 G	356	300	460	-
ST 79	cuarzo lechoso con poco clorita	12	Veta	380, 260, 400, 340, 260, 380, 370, 380, 350, 370, 470, 380	362	260	470	-
FK 57	cuarzo con especularita y óxido de cobre	11	Veta	330, 380, 310, 250, 260, 280, 380, 300, 380, 370 G 380 G	329	250	380	-
FK 81	veta de calcita con estructura de peineta	10	Veta	350, 320, 380, 440, 300, 360, 380, 320, 380, 400	363	300	440	-
FK 104	cuarzo lechoso con calcopirita y clorita	20	Veta	290, 340, 390, 390, 330, 380, 350, 340, 380, 280, 280, 300, 320, 320, 230, 280, 390, 380, 350, 350	334	230	390	-
MK 15	cuarzo lechoso con magnetita y calcopirita de la mina Abundancia (-100 mL)	13	Veta	280, 340, 370, 360, 290, 340, 260, 260, 380, 310, 310, 340, 340	322	260	380	-
MK 16-R2	cuarzo lechoso parcialmente fracturado acompañando vetilla de calcita y limonita	9	Veta	340, 320, 340, 300, 360, 340, 360, 430, 420 G	337	300	430	-
MK 16-R3	cuarzo lechoso poroso con vetilla de calcita y limonita de la mina Gentil	14	Veta	210, 190, 240, 200, 180, 190, 190, 220, 210, 210, 190, 180, 220, 220	204	180	240	-
LC 11	calcita (Lenticular) con pirita y calcopirita de la mina Abundancia	20	Veta	330, 240, 270, 250, 280, 270, 250, 240, 280, 260, 250, 260, 270, 280, 290, 340, 280, 330, 270, 250	275	240	340	-
ST 72	cuarzo lechoso con limonita en drusa	-	Veta	No hay I.F. mediable.	-	-	-	-
ST 73	cuarzo lechoso con clorita, limonita y óxido de cobre	-	Veta	ID	-	-	-	-
ST 76	cuarzo lechoso con pequeña cantidad de clorita y especularita	-	Veta	ID	-	-	-	-
ST 77	ID	-	Veta	ID	-	-	-	-
ST 78	cuarzo lechoso con especularita	-	Veta	ID	-	-	-	-
ST 81	ID	-	Veta	ID	-	-	-	-
ST 82	ID	-	Veta	ID	-	-	-	-
FK 65	calcita transparente con especularita y óxido de cobre	-	Veta	ID	-	-	-	-
FK 66	calcita semi-transparente con cuarzo y limonita	-	Veta	ID	-	-	-	-
FK 71	cuarzo (lenticular) lechoso	-	Veta	ID	-	-	-	-
FK 72	cuarzo con limonita en drusa	-	Veta	ID	-	-	-	-
FK 73	cuarzo lechoso con limonita	-	Veta	ID	-	-	-	-
FK 78	ID	-	Veta	ID	-	-	-	-
FK 79	cuarzo lechoso	-	Veta	ID	-	-	-	-
FK 80	calcita de textura de peineta	-	Veta	ID	-	-	-	-
FK 82	calcita de semi-transparente de textura de peineta	-	Veta	ID	-	-	-	-
FK 84	cuarzo lechoso con calcita y óxido de cobre	-	Veta	ID	-	-	-	-
FK 85	cuarzo lechoso con especularita	-	Veta	ID	-	-	-	-
FK 86	cuarzo lechoso	-	Veta	ID	-	-	-	-
FK 87	cuarzo lechoso con especularita, clorita y pirita	-	Veta	ID	-	-	-	-
AP 47	cuarzo semi-transparente (secundario) em dacita	-	fenocristal	ID	-	-	-	-
AP 70	cuarzo en veta brechosa	-	Veta	ID	-	-	-	-
AP 73	cuarzo lechoso	-	Veta	ID	-	-	-	-
LCN1-14	cuarzo lechoso de textura de peineta con limonita	-	Veta	ID	-	-	-	-
LCN1-15	ID	-	Veta	ID	-	-	-	-
LCN1-16	ID	-	Veta	ID	-	-	-	-
LCN2-2	cuarzo transparente a semi-transparente	-	Veta	ID	-	-	-	-
LCN3-4	cuarzo lechoso de textura de peineta con limonita	-	Veta	ID	-	-	-	-
LCN3-5	cuarzo de textura de peineta en central y cuarzo bandeado en margen	-	Veta	ID	-	-	-	-
LCN3-6	cuarzo semi-transparente	-	Veta	ID	-	-	-	-
LCN3-7	ID	-	Veta	ID	-	-	-	-
LCN3-8	cuarzo turbio blanco con limonita en drusa	-	Veta	ID	-	-	-	-
LCN3-9	cuarzo semi-transparente de textura de peineta	-	Veta	ID	-	-	-	-
LCN3-12	cuarzo turbio blanco	-	Veta	ID	-	-	-	-
LCN3-13	vetilla de cuarzo semi-transparente	-	Veta	ID	-	-	-	-
AP 41	ID	-	Veta	ID	-	-	-	-



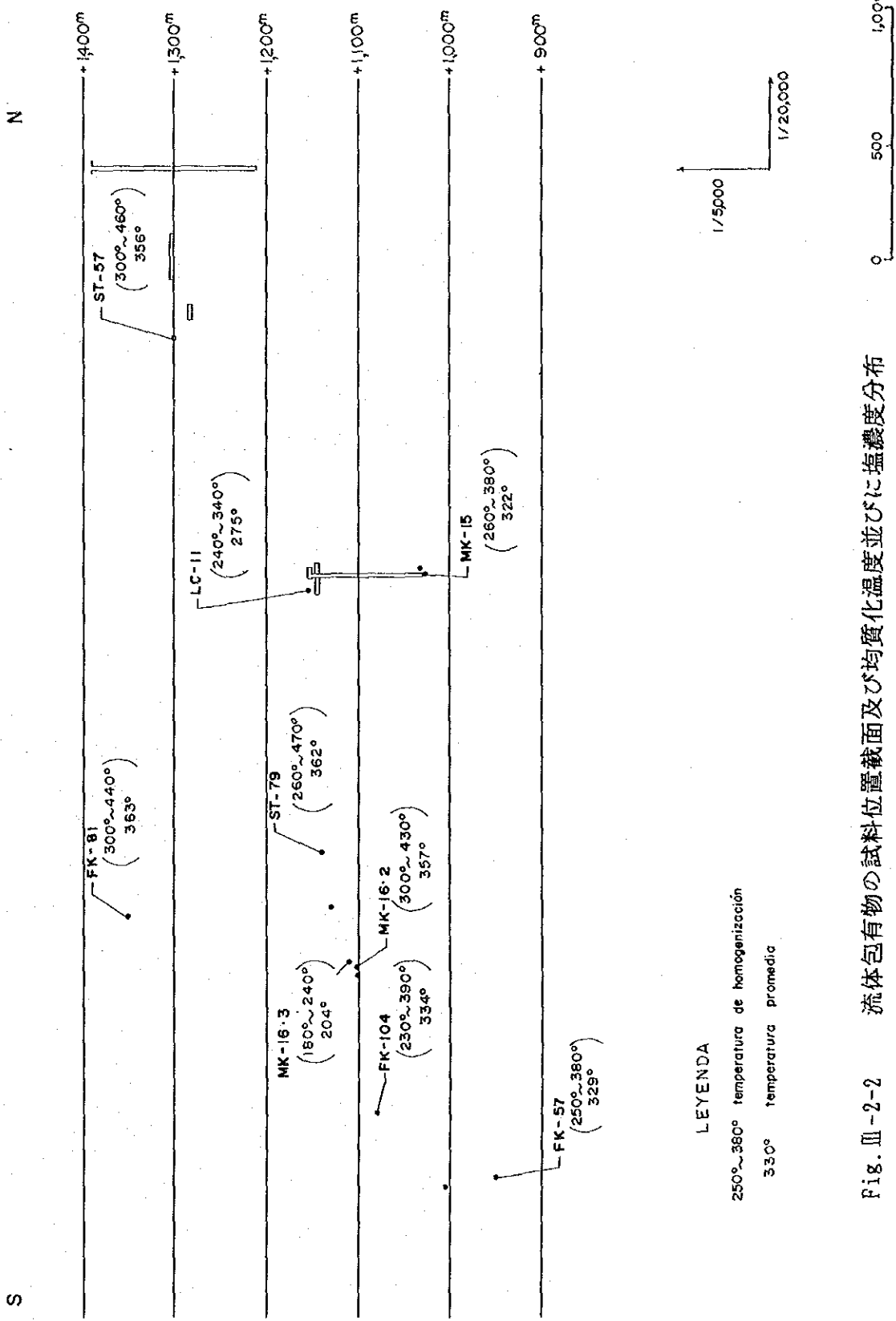


Fig. III-2-2 流体包有物の試料位置截面及び均質化温度並びに塩濃度分布



### 3-2 B地区

Cachinal de la Sierra 鉱床の下部探査あるいはボナンザの探査の指針を得るため、流体包有物による鉱床生成温度の検討を行った。

また、同鉱床はチリ北部における代表的銀鉱床の1つであり、この検討の結果は、他の同タイプの鉱床探査にも応用できると信ずる。

#### 3-2-1 試料の採取

##### 1) 採取位置

採取試料数は48個で、それらの位置は Fig. III-2-3 の載面図および PL. 5-22(1)および PL. 5-22-(1)の平面図に示した。

試料は本鉱床の主脈であり、かつ、現在稼行中であるF脈、G脈およびJ脈を中心に採取した。採取箇所は脈の中央部の角礫化母岩を充填した石英が多い。また、一部の試料には二次的に生成された斑状あるいはレンズ状石英も含まれている。

#### 3-2-2 流体包有物の観察および測定

観察および測定は、III-2, 第3章3-1 に同じである。

#### 3-2-3 均質化温度および塩濃度

##### 1) 均質化温度

均質化温度の測定結果は Tab. III-2-4 の通りである。

脈石としての石英の流体包有物の場合各試料の平均値で見ると、均質化温度は大勢として250℃~330℃の範囲にある。

また、母岩中の斑状石英(変質に関係して生成?)の場合、測定個数が少ないため断定的なことは云えないが、350℃前後が多く脈中の包有物より高温を示している。

脈別の傾向は資料不足で推定困難である。また、垂直的变化は同一脈でも下部地並へ温度を増しているとは必ずしも云えず、逆にF脈の様に低下している場合もある。鉱液の上昇通路の傾斜によって下方で低くなっていることも充分あり得る。

鉱液の上昇通路およびその方向を把握するためには多量の測定値が必要である。

本鉱脈群を総括的にみると、Fig. III-2-3 に示されているように、鉱脈群の南北端部で300℃前後の高温を示し、鉱脈群の中央部で250℃前後とやや低くなっている傾向がみられる。

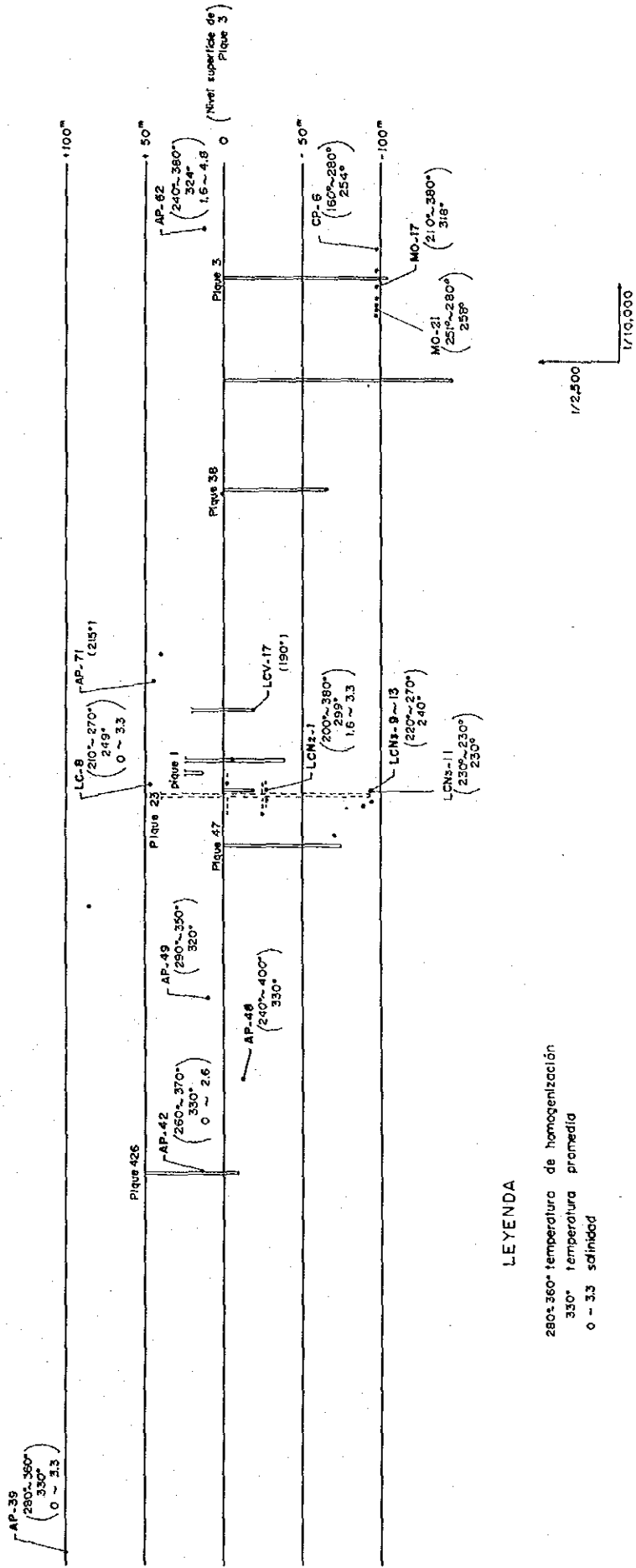
このことは、鉱脈の通路が2箇所に分かれ、稼行の中心となっている(品位良好部)鉱脈群の中央部は、鉱液の上昇通路がやや遠い位置にあり、そのような位置にAgの高品位部が形成されている、ということも考えられる。

即ち、250℃前後で、銀、鉛鉱物がもっとも沈澱し易かったと云うことを暗示して



S

N



LEYENDA

- 280°-360° temperatura de homogenización
- 330° temperatura promedio
- 0 - 3.3 salinidad

Fig. III - 2-3 流体包有物の試料位置断面及び均質化温度並びに塩濃度分布



いる。この温度は日本の新第三紀金・銀鉱脈の場合よりやや高く、むしろ第三紀鉛、亜鉛鉱脈の温度に近い（鉱山地質特別号7号参照）。

## 2) 塩濃度

塩濃度の測定値は、前掲 Tab. III - 2 - 4 に示した通り 0~4.8wt%の範囲にあり、日本の新第三紀金・銀鉱脈の値に類似している（鉱山地質特別号7号）。

このうち、もっとも高い値（4.8wt%）を示したのはK脈の北端部に近い地表地並で採取した試料で、次いで下脈の中央部の-72mのもの（1.6~3.3wt%）である。その他は、0.~3.3wt %と低い。

均質化温度と塩濃度の相関については、一般的に正の相関を示すことが多い（鉱山地質特別号7号）が、本鉱床の場合相関性は認められない。これについてはデータを更に増さないと傾向はつかめない。



Tab. III-2-4 B地区における流体包有物の均質化温度及び塩濃度

Muestra No. a	Descripciones	Numero de I.F. medida	Veta o fenocristal	Temperatura de homogenizacion	Temperatura (°C)			wt % Salinidad
					promedia	minima	maxima	
M017	cuarzo compacto semi-transparente con limonita de veta J de nivel -100m	9	veta	210, 280, 280, 290, 350(G), 350(G), 360, 360(G), 380	318	210	380	-
AP39	cuarzo semi-transparente 3-4mm de diametro en superficie	19	fenocristal	280, 300, 300, 310, 310, 320, 320, 330, 330, 330, 330, 340, 340, 340, 350, 360, 360, 360, 360	330	280	360	0 - 3.3
AP42	cuarzo secundario transparente de veta A de nivel -36m	9	fenocristal	260, 300, 320, 330, 330, 350, 350, 360, 370	330	260	370	0 - 2.6
AP48	vetilla de cuarzo semi-transparente en superficie	5	veta	240, 320, 340, 350, 400	330	240	400	-
AP49	cuarzo transparente en forma bandeada de veta G en superficie	4	veta	290, 300, 340, 350	320	290	350	-
AP62	cuarzo semi-transparente de textura de peineta en veta K de nivel superficie	16	veta	240, 270, 270, 280, 300,	324	240	380	1.6 - 4.8
LC8	cuarzo secundario transparente en toba soldada en superficie	16	fenocristal	210, 220, 220, 240, 240, 250, 250, 250, 250, 260, 260, 260, 260, 270, 270, 270	249	210	270	0 - 3.3
LCN2-1	cuarzo transparente poroso de veta F en nivel -72m	15	veta	200, 230, 240, 240, 270, 280, 280, 300, 300, 320, 340, 340, 380, 380(G), 380(G)	299	200	380 (G) 380	1.6 - 3.3
LCN3-10	cuarzo semi-transparente de veta F en nivel -132m	9	veta	220, 230, 240, 240, 250, 250, 270, 270, 270	249	220	270	-
M021	cuarzo transparente con limonita en drusa de veta J en nivel -100m	10	veta	251, 251, 251, 251, 251, 251, 251, 263, 275, 280	258	251	280	-
CP6	cuarzo semi-transparente de veta J en nivel -100m	30	veta	160, 170, 200, 215, 220, 230, 230, 235, 255, 261, 265, 265, 265, 265, 265, 270, 270, 270, 270, 257, 275, 275, 275, 275, 275, 275, 280, 280, 280	254	160	280	-
LCN3-11	cuarzo con limonita en drusa de veta F en nivel -132m	1	veta	230	230	230	230	-
LCV17	cuarzo en drusa de nivel -40m (sin nombre)	1	veta	190	190	190	190	-
AP71	cuarzo compacto de veta G en nivel superficie	1	veta	215	215	215	215	-
YF01	cuarzo transparente con limonita en drusa	-	veta	No hay I.F. mediable	-	-	-	-
YF02	cuarzo transparente o lechoso de textura de peineta	-	veta	ID	-	-	-	-
YF03	cuarzo transparente con limonita en drusa	-	veta	ID	-	-	-	-
YF04	cuarzo transparente de textura de peineta con limonita en drusa	-	veta	ID	-	-	-	-
YF05	cuarzo semi-transparente con limonita, galena y blenda en drusa	-	veta	ID	-	-	-	-
YF06	cuarzo transparente lechoso con cobre oxido, galena y limonita	-	veta	ID	-	-	-	-
YF07	cuarzo transparente compacta con galena y hematita	-	veta	ID	-	-	-	-
YF08	cuarzo de matriz de brecha silicificada con limonita en drusa	-	veta	ID	-	-	-	-
M018	cuarzo semi-transparente compacto con fragmento de roca huesped alterada	-	veta	ID	-	-	-	-



Muestra No.	Descripciones	Numero de I.F. medida	Veta o fenocristal	Temperatura de homogenizacion	Temperatura (°C)			wt % Salinidad
					promedia	minima	maxima	
M019	cuarzo semi-transparente compacto	-	veta	No hay I.F. mediable	-	-	-	-
M020	cuarzo semi-transparente compacto con limonita en drusa	-	veta	ID	-	-	-	-
M022	cuarzo semi-transparente compacto con limonita	-	veta	ID	-	-	-	-
CP01	cuarzo transparente de textura de peineta	-	veta	ID	-	-	-	-
CP11	vetilla de cuarzo semi-transparente	-	veta	ID	-	-	-	-
AP29	vetilla de cuarzo drusoso con lustre	-	veta	ID	-	-	-	-
AP30	vetilla de cuarzo semi-transparente con lustre	-	veta	ID	-	-	-	-
FK90	cuarzo lechoso con oxido de cobre, limonita y especularita	-	veta	ID	-	-	-	-
FK93	cuarzo lechoso drusoso	-	veta	ID	-	-	-	-
FK94	cuarzo lechoso con especularita en drusa	-	veta	ID	-	-	-	-
FK95	cuarzo lechoso con magnetita	-	veta	ID	-	-	-	-
FK96	cuarzo lechoso con cobre oxido	-	veta	ID	-	-	-	-
FK97	cuarzo lechoso con limonita y especularita	-	veta	ID	-	-	-	-
FK98	cuarzo con limonita en drusa	-	veta	ID	-	-	-	-
FK99	cuarzo lechoso con limonita en drusa y oxide de cobre en grieta	-	veta	ID	-	-	-	-
FK100	vetilla de cuarzo lechoso	-	veta	ID	-	-	-	-
FK101	cuarzo lechoso con limonita	-	veta	ID	-	-	-	-
MK01	cuarzo lechoso con limonita en drusa y oxido de cobre	-	veta	ID	-	-	-	-
MK02	cuarzo lechoso	-	veta	ID	-	-	-	-
MK08	cuarzo lechoso con especularita, limonita y magnetita en drusa	-	veta	ID	-	-	-	-
MK11	cuarzo lechoso	-	veta	ID	-	-	-	-
MK14	cuarzo lechoso	-	veta	ID	-	-	-	-
MK16-1	cuarzo lechoso	-	veta	ID	-	-	-	-
AP14	vetilla de calcedonia y calcita	-	veta	ID	-	-	-	-
AP20	cuarzo lechoso granular con chalcopirita y especularita	-	veta	ID	-	-	-	-
LC4	calcita cristalizada	-	veta	ID	-	-	-	-
LC12	calcita cristalizada fina	-	veta	ID	-	-	-	-
LC13	calcita cristalizada fina	-	veta	ID	-	-	-	-
LC14	calcita cristalizada fina	-	veta	ID	-	-	-	-



## 第 4 章 鈹床探査モデル

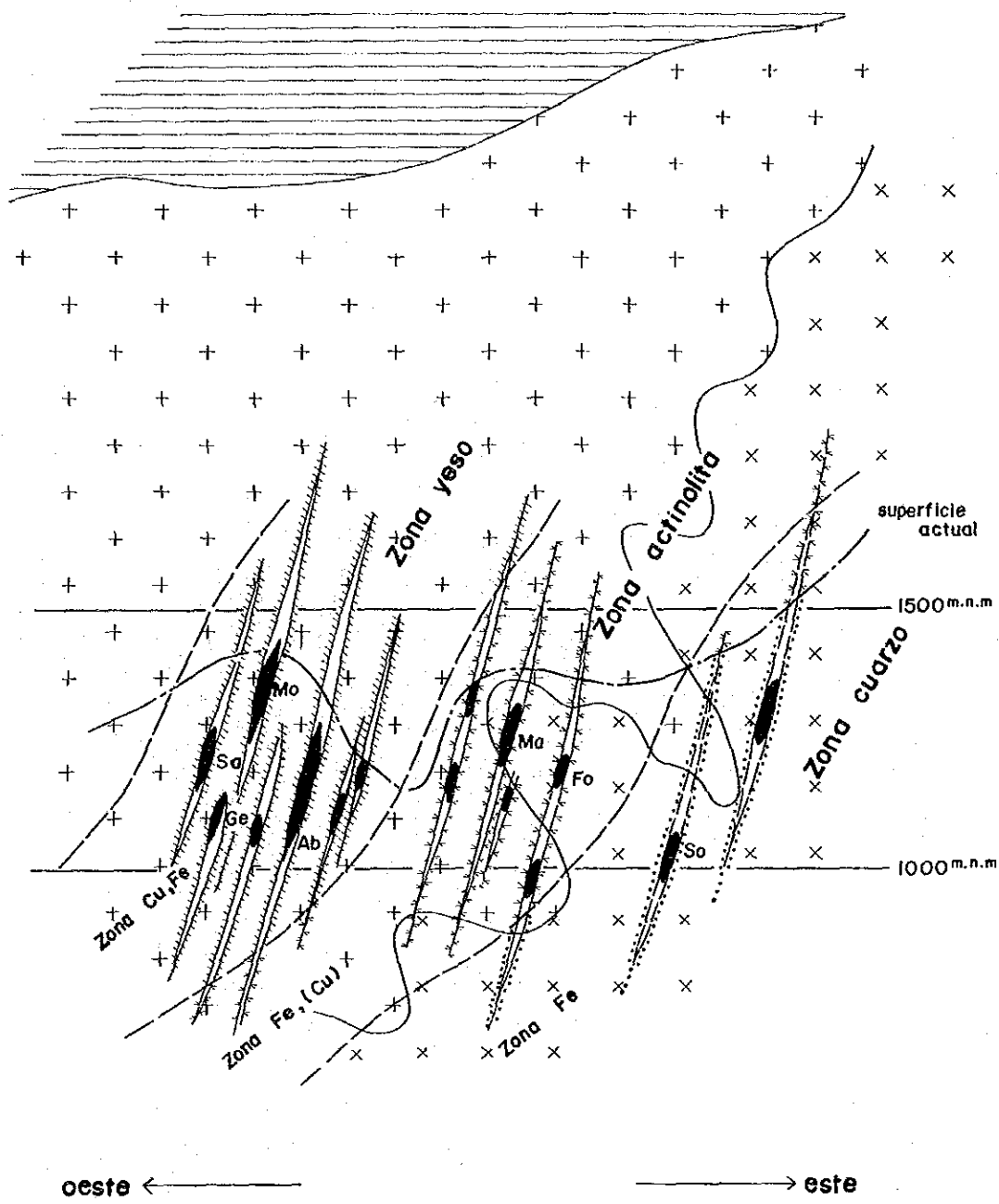
### 4-1 A地区

本地区に密集する多数の鈹脈鈹床は既述のごとく南北に4 km以上、また、1,000m から1,400m の標高にわたって分布し、これらの鈹床は西部調査地域に広大に発達している、ジュラ紀の深成岩活動に伴なう一連の鈹化作用によるものと考えられる。Fig. III-2-4 の模式断面図に示したごとく、この鈹化変質に係わる特性として、

- (1) 本地区の鈹床胚胎の場は東部の閃緑岩、西部の石英モンゾニ岩および両岩の縁辺部に区分される。
- (2) これらの鈹床はそれぞれの胚胎の場によって鈹物組成に差異が認められ、
  - (a) 磁鉄鈹を主とするFe鈹化帯
  - (b) 磁鉄鈹を主とするが黄銅鈹を伴うFe、(Cu)鈹化帯
  - (c) 黄銅鈹、磁鉄鈹からなるCu、Fe鈹化帯に大別され、いわゆる累帯配列が東西方向に認められる。
- (3) また、脈石あるいはひの内の変質によつての差異が認められ、それぞれ上述の鈹化帯に対応するものとして、
  - (a) 緑泥石を伴う石英帯
  - (b) 緑泥石を伴う陽起石帯
  - (c) 陽起石、緑泥石などを伴う石膏帯に区分される。
- (4) これらの累帯配列の移りかわりは、構成鈹物の組合せからみて、東部の方が高温状態にあったことを示しているので、深部ほど西側に偏った形態になっているものと推定される。
- (5) 鈹床には1 g/T 程度金を含有するものもあるが、探査の対象鈹種は銅であり、現在稼行しているものは全てCu、Fe鈹化帯に集中している。

以上のように本地区の鈹床特性から推して、鈹床探査の対象としては、Cu、Fe鈹化帯が最も注目されるものであり、これに対する今後の鈹床探査のスキームとしては、Fig. III-2-5 のようなものが考えられる。





Leyenda

- |  |                      |  |                      |  |         |
|--|----------------------|--|----------------------|--|---------|
|  | Volcanitas jurasicas |  | Monzonita cuarcifera |  | Diorita |
|--|----------------------|--|----------------------|--|---------|

- |                  |                |                |
|------------------|----------------|----------------|
| Mo: Montecristis | Ma: Mantos     | So: Socavon    |
| Sa: Santa Rosa   | Fo: La Fortuna | Ab: Abundancia |
| Ge: Gentil       |                |                |

Fig. III-2-4 A地区の鉱化変質作用モデル



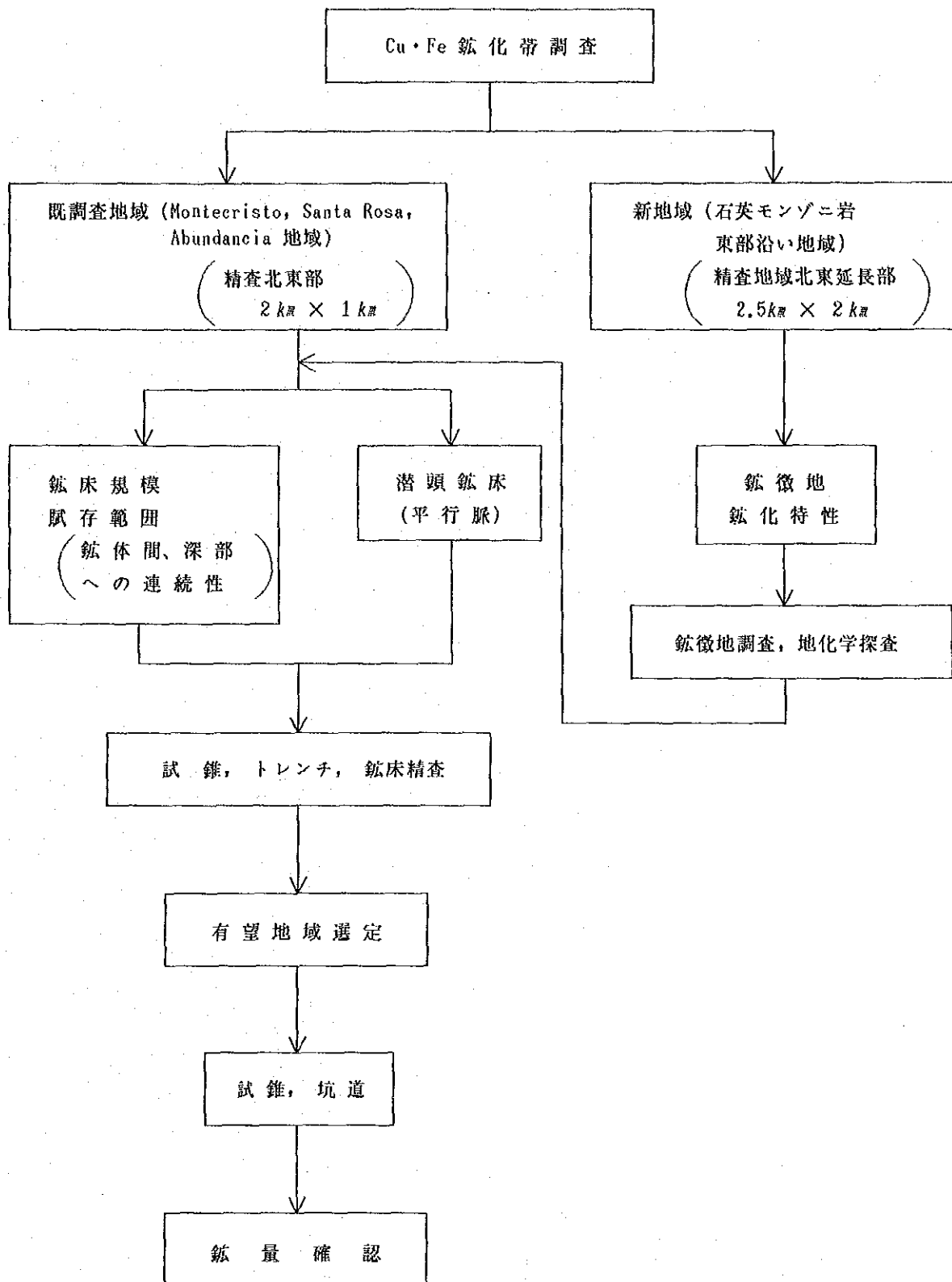


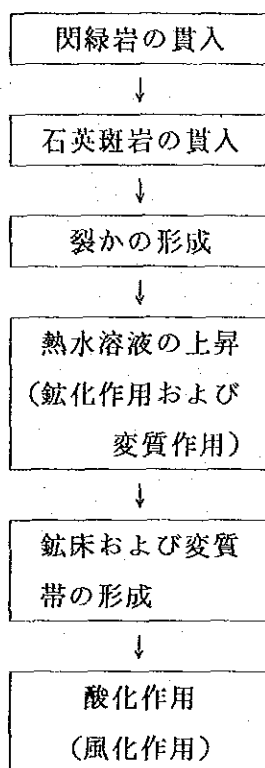
Fig. III-2-5

鉱床探査フローチャート



#### 4-2 B地区

以上の結果を総括すると、Cachinal de la Siera 鉱床の形成過程は次の通りと考えられる。



また、周辺地域の鉱床 (No. 8 地区および El Guanaco 鉱床) をも含めた鉱床形成の模式的断面を画くと Fig. III-2-6 の通りとなる。

即ち、本地域一帯の火成活動は、時間と共に中性から珪長質に移り、石英斑岩岩株や石英安山岩質溶岩円頂丘をもたらしている。

同活動に引続いて、断層運動や自破碎作用あるいは先駆的な熱水作用によって裂かが形成される。これらの作用に引続いて鉱化・変質作用が行われ、裂かを中心に鉱床が形成されるが、その生成温度に応じて主要鉱石鉱物や変質鉱物の組合わせが異なる。

即ち、もっとも深部では、Pb-Zn帯 (Mineral el Soldado 鉱床) が形成され、同帯における変質鉱物組合せは、絹雲母-緑泥石で特徴づけられる。

このPb-Zn帯の上部には、Ag-Pb帯 (Cachinal de la Sierra 鉱床) が形成され、この帯における変質鉱物の特徴はカオリンである。

Ag-Pb帯の上部 (地表極浅部) では、Au帯 (El Guanaco 鉱床) が形成され、この帯においては珪化帯が浅く拡がっている。

なお、Cachinal de la Siera 鉱床帯では、このAu帯が侵食作用によって剥だつされている可能性がある。



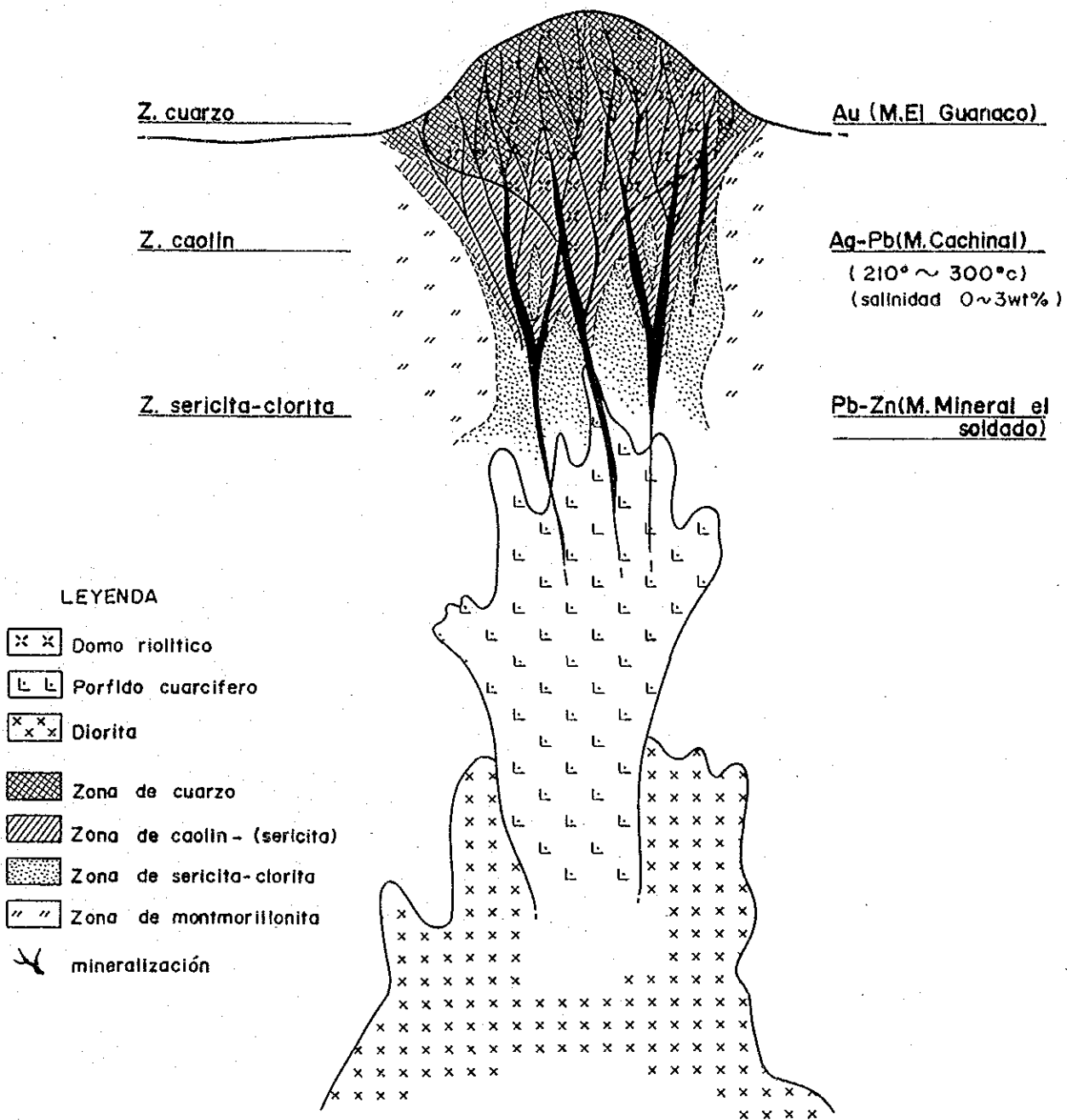


Fig. III -2-6 鉱床形成モデル



以上の作業仮説に基づいた本地域一帯の探査方針は次の通りである。

- 1) 酸性貫入岩の把握
- 2) 珪化石英安山岩～流紋岩溶岩円頂丘の把握
- 3) カオリン帯および絹雲母－緑泥石帯の追跡
- 4) 生成温度 350℃以下の鉍脈に注目
- 5) 塩濃度 3－4 Wt%以下の鉍脈に注目
- 6) 珪化あるいはカオリン（パイロフィライト）変質を伴った破碎帯の追跡

以上の探査方針にのっとり探査手段をフローチャートに画くと Fig. III-2-7 の通りとなる。



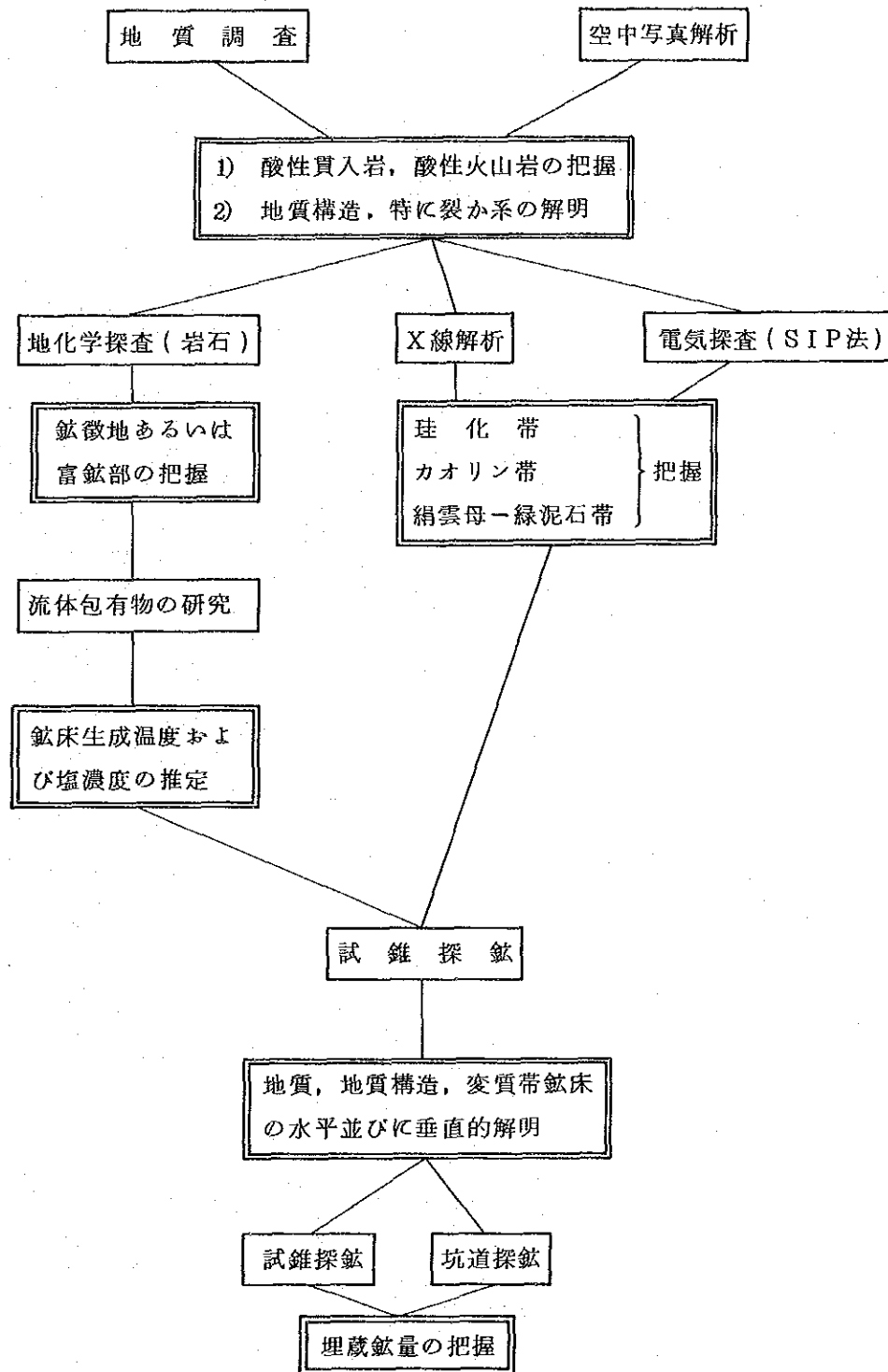


Fig. III-2-7 鉍床探査フローチャート



## 第Ⅳ部

### 総合検討，結論および提言



## 第 1 章 鉍床特性

既述の通り、調査地区に発達する鉍床のタイプには、鉍脈型、マント型および網状-鉍染型がある。これらの鉍床のタイプ別特性を以下に総括する。

### 1-1 鉍脈鉍床

鉍脈鉍床は調査地区に発達する鉍床の中で最も数が多く、しかも西経70°以西に集中的に分布している。

鉍脈胚胎の場合は、断層、および節理である。断層帯に胚胎している鉍脈（以下断層脈と呼称する）は、総じて延長、脈巾共に大きい。水平延長は一般的に200m~500m稀には2,000mに及んでいるものもある。脈巾は1m前後が多いが、5~10mの肥大脈もしばしばみられる。母岩の節理に形成されている脈（以下節理脈と呼称する）は、総じて延長が短く（100~300m）、かつ脈巾も1m以下の比較的細脈が多い。しかし、脈の分布密度は、節理脈の方が圧倒的に大きい。また、当然のことながら断層脈は平行配列をなし、節理脈は格子配列をなしている場合が多い。

方向性については、東部地域に分布する鉍脈ではN-SからNNW-SSE系が多いが、西部地域では多方向を示している。

鉍種については、第I部の既存資料に述べられている通り、西部と東部で明瞭な違いがみられた。即ち、西部に分布している鉍脈は、Au型、Cu型あるいはAu-Cu型が圧倒的に多く、一方、東部ではAg型あるいはAg(Au, Pb, Zn)型が多かった。即ち、既存資料に述べられている鉍化系列の存在を、現地調査によって確認することができた。

### 1-2 マント型鉍床

マント型鉍床が発達している地区は、2地区だけであり、同鉍床の総括的特性をこの2地区の鉍床だけで論じるのは危険であるが、調査を行った同鉍床の特徴は以下の通りである。即ち、同鉍床はいずれも、玄武岩質安山岩溶岩を母岩としており、かつ特定層準に胚胎しているが、細かくみると複数の溶岩層にまたがって鉍化作用が及んでいる。

また、主要構成鉍物が黄銅鉍、斑銅鉍などに限られ黄鉄鉍の量が極めて少ないこと、変質作用が殆どないか、微弱であること、などの特徴は他のマント型鉍床と変わらない。構成鉍物の産状は鉍染状、網状細脈などであり、この特徴も他の同タイプ鉍床と変わらない。

変質作用は、珪化、粘土化、炭酸塩化などであるが、いずれの作用も微弱である。

### 1-3 網状-鉍染鉍化帯

ここで述べる網状鉍染化帯とは、網状、鉍染状の赤鉄鉍、褐鉄鉍を伴った大規模の熱水変質帯をさす（有用金属の鉍化作用を確認していないので、鉍化帯とは呼べないかもしれないが）。これに該当するものは、No. 1、4および7地区の大規模な変質帯で、その分布は、東部の白亜紀後期～第三紀初期の火山岩地帯に限られている。

いずれの鉍化帯にも共通して言えることは、母岩が珪長質火山岩類（石英安山岩～流紋岩）であること、下盤側には安山岩が発達していること、常に周りから突き出した小山を形成していること、広大な珪化帯、粘土化帯を伴っていることなどである。

変質鉍物の特徴として、殆ど常に多量の石英と明ばん石、少量のカオリン鉍物を産しており、また、微量ながらズアイナイト、稀にダイアスポアが検出されるなどである。

また、X線回折によって検出される程度の黄鉄鉍が存在している。

また、地化学探査によってAs異常が特徴的に検出されている。

赤鉄鉍、褐鉄鉍は網状-鉍染状をなして母岩の節理、熱水性角礫帯などに産している。この他、石英の微細脈が網状に発達している。

以上の特徴から判断して、この鉍化帯は珪長質な火山作用に関連して、温泉作用によって酸性環境下に形成されたものと推察される。

## 第 2 章 鈹化作用と地質構造

本地域の地質構造も大局的には、チリーにおける主要構造であるN-S系に支配されている。ただ、局所的には、褶曲構造にしる、断層系にしる、多方向を示している。

褶曲構造は、古生界から中生界白亜系までにおよんでおり、第三系になると殆どみられなくなる。

裂か系は、Atacama 断層を主要裂かとして、多数かつ多方向にわたっており、地質と密接な係わりをもって発達している。

即ち、地域西部の花崗岩類地帯における裂か密度と東部の火山岩類地帯の同密度とでは、第Ⅱ部2-3で述べたように極端な差がある。その割合は西部：東部：9：1である。このことは、東部と西部の鈹脈の分布密度にも明瞭に反映されている。従って、鈹脈鈹床の賦存期待度は、西経70°以西が圧倒的に大きい。

Atacama 断層は、延長数百km、巾4~5kmの大断層で、その運動は、白亜紀に始まり、現在まで続いているとされている。

その性格は、未だ推量の域を出ないが、恐らく、張力応力によって中央部が沈降した地溝的性格をもったものと考えられる。

また、地域北部における同断層は、物性的に比較的均質な花崗岩類地帯に発達しているため、応力が分散し規模の大きな裂かを形成していない。

一方 Taltal 市南部における同断層は、物性的に不均質な白亜紀の堆積岩類や火山岩類の分布地帯に発達しており、従って、応力が集中し易く規模の大きな裂かを形勢し易いと考える。このことは、鈹床胚胎の場として重要な意味をもっている。

以上を要約すると、西部地域の花崗岩類分布域では、鈹脈裂かの数は多いが、規模が小さく、一方、東部地域では、鈹脈裂か数は少ないが規模は大きい、ということになる。

マント型鈹床は、母岩の層理に規制されている。即ち、溶岩と火砕岩からなる地域では、よりルーズな火砕岩中に選択的に鈹床が形成されている。その際、上盤に発達している緻密質岩（細粒凝灰岩、溶岩など）が Cap rock となって鈹液の分散を阻止している。

また、溶岩流の畳重からなる地域では、単位溶岩の上部の多孔質部に鈹床が形成されており、その場合、その上位に重なる溶岩の下底部の緻密質部が Cap rock となっている。

このようにマント型鈹床は、火山岩類の堆積構造に明瞭に規制されており、従って、一般的に、同鈹床は地層に調和的な層状をなしている。

第Ⅳ部第1章で述べた熱水変質帯は、巾をもった南北の帯の中で直線的に配列している。この配列は直線的には同時代の火山活動の配列に規制されているものであろうが、その火山活動の配列は、チリーにおけるN-Sの主構造に沿っており、従って、同変質帯は間接的にN-Sの構造に規制されて形成されたものと判断される。

### 第 3 章 鉱床の垂直的位置

現在現れている鉱床の垂直的位置を推定することは、深部探査にとって重要である。今般、各地区に発達している鉱床あるいは変質帯の垂直的位置付けを、1) 関係火成岩の侵蝕レベルおよび、2) 主要構成鉱物組合せ並びに変質鉱物組合せなどの観点から考察した。

#### 3-1 関係火成岩の侵蝕レベル

関係火成岩が深成岩あるいは斑岩であって、かつそれらを母岩としている鉱床は、当然のことながら侵蝕がかなり進んでいると云える。

今、侵蝕度合を考察する基準として次の仮定を設ける。

- 1) 深成岩に伴った鉱床 (バソリス、大岩株) ..... 深侵蝕
- 2) 花崗岩質斑岩に伴った鉱床 (中～小岩株) ..... 中侵蝕
- 3) 火山岩質貫入岩に伴った鉱床 ..... 浅侵蝕
- 4) 溶岩円頂丘、火山作用に伴った鉱床およびマント型鉱床 ..... 極浅侵蝕

以上の基準に基づいて各地区の鉱床を分類すると、次の通りとなる (Fig. IV-3-1 参照)。

- 1) 深侵蝕鉱床 ..... No.10, No.11, No.12, No.13, No.14  
No.15, No.16, No.17, No.20, A
- 2) 中侵蝕鉱床 ..... No.2, No.3
- 3) 浅侵蝕鉱床 ..... B, No.5, No.9(?)
- 4) 極浅侵蝕鉱床 ..... No.1, No.4, No.7, No.8(?), No.18, No.19

なお、No.6 地区の鉱脈群は古生代の花崗閃緑岩を主な母岩としているが、同岩が鉱化作用と密接しているかどうかについては疑問も残るので、上記分類から除いた。

#### 3-2 主要構成鉱物および変質鉱物組合せによる鉱床の垂直的位置

主要構成鉱物の組合せによる鉱床の分類および分布を、第 I 部の Fig. I-2-6 に示してあるが、同図から読みとれるように東部は Ag 帯あるいは Ag-Pb 帯に相当し、西部は、Cu 帯あるいは Cu-Au 帯に相当し、一部には Cu-Fe(Mt) 鉱床、あるいは Ni-Co 鉱床も胚胎している。

以上の組合せからすると、相対的に西部地域の鉱床がより高温鉱物組合せを示しており、従って、同鉱床の方が相対的に深部レベルにあると推定される。

なお、Au 鉱床は、東部にも西部にもみられる。東部の場合、変質鉱物として石英、明ばん石、カオリン鉱物を伴い、西部の場合、緑泥石、絹雲母の組合せが一般的である。このことからして、Au 鉱床には東部の浅成型と西部の深成型がある。

Período	Columna	Litología	Actividad ignea				Mineralización
			Rh-Dc	And	Bas	Gra	
Cuaternario		Aluvio y coluvio					
Terciario		Riolita (lava, roca piroclástica) Dacita ( " " ) Andesita ( " " ) Arenisca tobacea Rocas intrusivas (Diorita, Granodiorita, Andesita, Dacita, pórfido dacítico y cuarcífero)					⑧ ⑨ ?
Cretácico		Dacite ~ Riolita (lava, roca piroclástica, toba soldada)  Andesite (lava, roca piroclástica, arenisca tobacea) Rocas intrusivas (Granodiorita, Diorita, Pórfido cuarcífero y andesítico, Aplita, dique basáltico)					① ④ ⑦ ⑧ ? ? ② ③ ⑪ ⑭ ⑤ ⑬ ⑫
Jurásico		Andesita básica (lava, roca piroclástica) Lavas andesítico y basáltico Roca sedimentaria marina (lutita, chert arenisca, toba, caliza) Rocas intrusivas (Granodiorita, Diorita, Aplita, Dique) Basáltico					⑬ ⑭ ? ④ ⑩ ⑫ ⑬ ⑰
Triásico		Andesita (lava, roca piroclástica)					
Triásico Permico		Lava riolítica y dacítica Andesita (lava, toba brechosa) Arenisca tobacea, chert Rocas intrusivas (Granodiorita, Diorita, Pórfido riolítico) Granito					⑥
Carbonífero Silu-Ordovícico		Meta-sedimentos filita pelítica y/o psammitica filita (verdosa, cornea, cuarcita, lutita, arenisca) Meta-volcanitas (lava basáltica, toba básica) Roca intrusiva (Granodiorita, Aplita, Dique, Basáltico)					

### LEYENDA

	Dique dacítico		Roca basáltica		Toba y/o toba de lapilli
	" andesítico		" andesítica		Toba brechosa
	" basáltico		" dacítica		Lutita
	" aplítico		" riolítica		Arenisca
	pórfido cuarcífero				Caliza

Tg : Granitoides terciarios, KTg : Granitoides terciarios o cretácicos, JKg : Granitoides cretácicos o jurásicos, Jg : Granitoides jurásicos, Pg : Granitoides paleozoicos

Fig. IV-3-1 Antofagasta南部地域模式地質柱状图



また、変質鉱物組合せによって各地区の鉱化作用を分類してみると、Fig. IV-3-2の通りとなる。

即ち、No. 1、No. 4、No. 7、No. 8およびB地区の鉱床あるいは鉱化帯は酸性帯に属し、一方、No. 2、No. 3、No. 5、およびNo. 17は中性帯に属している。

特に、No. 1、No. 4およびNo. 7地区の変質帯は、広い分布を占めた強珪化と多量の明ばん石を伴っている。このうち、No. 4およびNo. 7地区では、一部にダイアスポア、ズニャイトなどの高温酸性鉱物を伴っており、No. 1地区よりやや深部レベルを現しているものと推察される。一般的に熱水溶液は、浅部で酸性を深部で中性ないし弱アルカリ性を示すといわれていることからすると、上記の酸性帯に対応する鉱床の方が中性帯のそれよりも浅部レベルにあるものと判断される。

以上の点を要約して、各地区の鉱床の垂直的位置を浅、中、深に3区分すると次の通りとなる。

- 1) 浅い鉱床(あるいは鉱化変質帯) ..... No. 1, No. 4, No. 7, No. 18, No. 19
- 2) 中程度鉱床 ..... B, No. 8, No. 2, No. 3, No. 6(?)
- 3) 深い鉱床 ..... No. 5, No. 10, No. 11, No. 12, No. 9  
No. 13, No. 14, No. 15, No. 16, No. 17  
No. 20, A



Fig. IV-3-2 熱水変質鉱物の分類

Zona acida	halloysita	caolinita	pirofilita	diaspora	
	No.1	No.4			
Zona intermedia	Serie K	montmorillonita	arcilla mixta	sericita	feldespato potasico
		No.2		(debil)	
		No.3			
		No.5		(debil)	
		No.6		( " )	
	No.17		( " )		
	Serie Ca-Mg	montmorillonita	arcilla mixta	Propilita	
Zona alcalina	Serie Ca	stilbita	heulandita chabasita	laumontita	wairaquita
	Serie Na	mordenita	analcita	albita	

pH

Pro Utada (1977)

→ Temperatura



## 第 4 章 結論および提言

### 4-1 結論

#### 1) ランドサット・データ解析

ランドサット・データ解析の結果、Antofagasta (アントファガスタ) 南部地域には600数十本におよぶりニアメントが発達しているが、地域西部の花崗岩類地帯に集中的に分布しており、地域東部における発達頻度は全体の10%に満たない。

鉱脈鉱床の分布もリニアメントと類似の傾向を示しており、両者の間には密接な関係がみられ、従って、リニアメントの解析は今後の鉱脈鉱床探査にとって有効である。

#### 2) 精査地区

##### ① A地区

A地区には高品位銅鉱床が多数発達しているが、その分布範囲はほぼ南北に延びた巾約2kmの弱線帯に限られている。

鉱化作用には、北から南に向って銅帯、銅 - 鉄帯、鉄帯の累帯配列がみられ、銅帯ではCu3~4%、鉄帯ではCu1%前後と北から南に銅品位が減衰している。

地化学探査の結果では、いずれの成分の異常も上記弱線帯に限られており、かつ銅帯ではCu異常が、銅 - 鉄帯ではCu、Ag、As異常が、また鉄帯ではAs異常が、各々特徴的に検出されている。

これらのことから鉱床の賦存範囲は南北の弱線帯に限られると考える。

変質作用にも鉱化作用の累帯配列に対応した変質分帯が存し、銅帯では石膏帯が、銅 - 鉄帯では陽起石(石膏)帯が、また鉄帯では石英(陽起石)帯が各々対応して現われている。

鉱化作用と母岩との関係では、石英モンゾニ岩帯には銅帯が、閃緑岩帯には鉄帯が各々発達しており、また中間の銅 - 鉄帯は両岩体の境界部に位置している。

以上の事実から、高品位銅鉱床の賦存範囲は石英モンゾニ岩体、銅帯、石膏帯の三要素が重なる地域ということになる。

これに該当する地域は北部の Montecristo 鉱床から Abundancia 鉱床帯にかけ

ての地域であり、今後の探鉱の焦点は同地域に絞られる。

同地域における水平的な探鉱はトレンチなどでほぼ終了していると考えられる。

一方、垂直的探鉱、開発は一部の鉱床を除いて殆どなされていない。

従って、本地区における今後の探鉱は Montecristo - Abundancia の鉱床地帯の下部に絞られると判断される。

## ② B地区

B地区には、銀（鉛）鉱脈鉱床が20条近く発達している。これらの鉱脈は、石英斑岩岩体付近に集中的に分布しており、同岩体が鉱床形成に関与したことを暗示している。

従って、今後の探鉱は同岩体付近に絞られよう。

また、既述の通り、鉱化作用に伴った熱水変質作用には鉱床を中心とした変質分帯がみられ、同分帯のうちで鉱床近傍に限られたカオリン帯が、鉱床の南北延長上に延びている。

地化学探査の結果では、いずれの成分の異常も大局的には既知鉱床近傍に限られており、特にAg、Cu異常と既知鉱床の分布が概ね一致している。

このAg、Cu異常が既知鉱床の南北延長上および東部に検出されており、既知鉱床の南北延長への発展および東部における新脈の賦存を暗示している。

流体包有物による均質化温度とAg鉱化作用の関係から、Agの濃集部は250℃前後と推定される。

以上の点から本鉱床の今後の焦点は石英斑岩の近傍で、かつ既知鉱床の南北延長上および東部地域に絞られると判断される。

また、第Ⅲ部第4章で述べた通り、広域的にみると、本地区を中心に北部の Mineral el Soldado 鉱床から南部の EL Guanaco 鉱床にかけて、Pb-Zn帯、Ag-Pb帯、Au帯の分帯が考えられ、それらの中間帯に各々の中間成分をもった鉱床の賦存が期待される。

## 2) 準精査地区

### ① 鉱脈型鉱床

鉱脈型鉱床で今後の探査に期待がもたれるのは、No. 6地区の石英脈群とNo. 13地区の高品位金鉱脈である。

No. 6地区の石英脈群は分布密度が高く、比較的規模が大きい。また同地区は広域的鉱化系列のAg-Pb帯に属していると判断される。

No. 13地区には規模は小さいが比較的高品位の含金石英脈が発達している。地化学探査の結果、本地区西部および北東部にAu、Cu異常が検出されており、新しい高品位金鉱床の賦存が期待される。

従って、同地区は更に探鉱を継続する価値があると判断される。

その他の地区に発達する鉱脈鉱床は、一般的に規模が小さく、かつ高品位部が点状に存し、連続性に欠け、まとまった可採鉱量の賦存が期待できない。

また、高品位脈が存する場合でも分布密度が低いため、まとまった鉱量の確保が困難である。

また、水平、垂直的に好転の兆しが認められない。

以上の理由から、No. 6およびNo. 13以外の鉱脈鉱床賦存地区に対しては、今後更に探鉱を行う価値は低いものと判断される。

### ② マント型鉱床

本地域に発達しているマント型鉱床は、鉱染ないし網状細脈の銅鉱床からなり、部分採掘が困難であるため、大型採掘を行うしかなく、従って、出鉱品位の低下(いずれも1%以下)は避けられない。また、規模的にポーフィリー・カツパー型鉱床ほどは望めない。

よって、今後の調査・探鉱の対象にはなり得ないと判断される。

### ③ 熱水変質帯

本変質帯が発達している地区は、No. 1、4および7地区である。

いずれも関係火成岩、変質作用の特徴から浅成かつ酸性環境下で形成された、いわゆる火山性熱水変質帯に属し、同タイプの変質帯を伴ったEl GuanacoやEl Indio 鉱床に類似しており、従って、浅成金鉱床の賦存の可能性があるという

ことで、従来から注目されている。

いずれの変質帯も過去に探鉱された形跡があり、特にNo. 4 地区に発達している変質帯に対しては、ユタ・チリ株式会社が試錐探鉱まで行ったが成果を得ず、放棄している。

しかし、一般的にこの種の鉱床における金の挙動はデリケートであり、細心の注意を払った綿密な調査と大量の化学分析が要求され、過去の探鉱において金の濃集部の見落としも考えられる。

また、今般の調査で、No. 4 地区東部の変質帯でAuおよびAs異常を把握している。

従って、最も変質が強く、酸化鉄鉱が密に発達し、かつAuおよびAsの異常が検出されたさNo. 4 地区の東部変質帯に対し、更に詳細な調査・探鉱を行う価値があるものと判断される。

### 3) その他の地域

Atacama 断層南部延長帯に胚胎している Union 鉱床帯は、同断層に沿って更に大きく発展する可能性をもっており、単位脈自体はその連続性に限度があろうが、類似の鉱床が断続的に発達する可能性がある。

また、同地区における断層帯は巾約5 kmを有しているので、Union 鉱床に平行した脈の賦存も充分考えられる

以上の点から本帯は有望視される。

## 4-2 提言

前項4-1の有望地域に対し、下記の調査探鉱の実施を提言する。

### 1) A地区

Abundancia - Montecristo 鉱床帯下部の鉱況把握のため、試錐探鉱の実施を提言する。

### 2) B地区

Cachinal de la Sierra 鉱床の南北延長確認および地化学探査で把握された東部のAu、Ag異常域に対し、試錐探鉱の実施を提言する。

### 3) B地区-No. 8地区間

Cachinal de la Sierra 鉱床北部から No. 8 地区にかけて、Ag-Pb 鉱床が期待されるので、地質調査および地化学探査の準精査を提言する。

4) B 地区-Guanaco 間

Cachinal de la Sierra 鉱床南部から El Guanaco 鉱床にかけて、Au-Ag 鉱床が期待されるので、地質調査および地化学探査の準精査を提言する。

5) No. 4 地区

本地区東部の変質帯に対し、金、銀の鉱化作用の存在を確認し、更に探鉱の焦点を絞るため、地質調査および地化学探査の精査の実施を提言する。

6) No. 6 地区

鉱脈群の規模、鉱況確認するため地質精査の実施を提言する。

7) No. 13 地区

深成高品位金鉱床発見のため、今年次得られた地化学探査の異常域を中心に、更に詳細な地質調査および地化学探査の実施を提言する。

8) Atacama 断層南部延長帯

同断層に規制されている鉱床の存在の確認および鉱化作用の中心部を把握して、探鉱の焦点をしぼるために、調査試錐を併用した地質調査の実施を提言する。



## REFERENCIAS



## Referencias

- Servicio Nacional de Geología y Minería (no publicado) : Geología y Metalogénesis de la II Región de Antofagasta, Norte de Chile.
- CORFO, (1984) : Complemento Mapa Metalogénico, II Región, Texto Resumido.
- CORFO, (1984) : Complemento Mapa Metalogénico, II Región, Tomo IX, X
- CORFO-SERNAGEOMIN, (1983) : Mapa de Yacimientos Metálicos de la II Región, Proyecto Complemento Mapa Metalogénico, II Región, Escala 1 : 250,000
- Departamento de Geociencias, Universidad del Norte, (1978) : Proyecto Palestina, II Parte y Proyecto Domeyko, fase final exploración, área Verónica, Informe para Gobierno Regional II Región, inédito.
- Empresa Nacional de Minería, Chile, (1980) : Estudio geológico, geoquímico, geofísico y evaluación de recurso del distrito argentífero Cachinal, II Región.
- Geological Survey of Japan (Japan), Servicio Nacional de Geología y Minería (Chile), (1984) : Report of Research and Development Cooperation ITIT Projects No.7911.
- Miyashiro, A.(1974) : Volcanic rock series in island arcs and active continental margins, Am.J.Sci., 274
- Nibalco Rojas Soto, (1972) : Informe Geológico, Minas Montecristo, Abundancia y Santa Rosa, Distrito Minero de Paposo, Provincia de Antofagasta.
- Secretaría Regional de Planificación y Coordinación, Segunda Región, (1979) : Proyecto Ore Sur Antofagasta.
- Servicio Nacional de Geología y Minería, (1984) : Carta Geológica de Chile, Escala 1 : 250,000, Hojas Taltal y Chanaral.
- The Society of Mining Geologists of Japan, (1976) : Genesis of vein-type deposits in Japan, Mining Geology Special ISSUE No.7.
- Utada, M.(1977) : Alteración de rocas huésped. Cap 10. en base actualizada para el estudio de depósitos minerales Ed. Ttusmi, T.;1977. Imprenta : Tokyo University Impres. (solo en Japonés).



T A B L A S  
D E  
A P E N D I C E S

Tab. I 全岩分析結果一覽表

MUESTRA Nº	NOMBRE DE ROCA	SiO <sub>2</sub> %	TiO <sub>2</sub> %	Al <sub>2</sub> O <sub>3</sub> %	Fe <sub>2</sub> O <sub>3</sub> %	FeO %	MnO %	MgO %	CaO %	Na <sub>2</sub> O %	K <sub>2</sub> O %	P <sub>2</sub> O <sub>5</sub> %	H <sub>2</sub> O %	BaO %	CO <sub>2</sub> %	S %	C %	SUMA TOTAL %
BYF-09	Toba	68.84	0.69	17.27	1.68	0.01	<0.01	0.18	0.42	1.29	6.47	0.18	3.28	0.00069	<0.01	0.01	0.02	100.34
BHK-091	Dacita	78.32	0.14	11.86	0.42	0.08	0.03	0.25	0.24	1.15	6.81	0.04	0.86	0.00095	0.09	0.01	0.01	100.24
10FK-12R	Diorita	45.52	0.25	19.12	3.51	4.00	0.13	8.29	13.15	1.51	0.35	0.05	3.04	0.00006	0.97	<0.01	0.01	99.90
02HK-06	Granodiorita	61.81	0.76	16.00	1.28	3.79	0.14	3.03	4.74	3.09	2.42	0.16	2.36	0.00060	0.01	0.01	0.03	99.63
05HK-23	Porfido cuarcifero	76.56	0.17	12.32	0.68	0.48	0.05	0.30	0.27	3.61	4.30	0.11	0.68	0.00053	<0.01	0.01	0.02	99.56
06HK-02	Granodiorita	68.39	0.52	14.39	1.71	2.14	0.09	1.19	2.18	3.59	3.99	0.12	1.28	0.00074	0.16	0.02	<0.01	99.77
09MK-04R	Andesita	57.42	1.06	15.36	4.57	3.19	0.18	3.96	6.35	3.28	2.53	0.24	1.78	0.00036	0.07	0.02	0.01	100.02
10MK-03	Diorita	60.14	0.78	16.91	1.57	3.70	0.12	2.80	5.68	4.03	2.31	0.17	1.36	0.00038	0.14	<0.01	<0.01	99.71
16MK-11R	Granito	67.56	0.46	15.60	1.66	2.13	0.09	1.39	3.68	4.10	2.46	0.10	0.78	0.00042	0.07	<0.01	0.01	100.09
11ST-32	Andesita	57.14	1.25	14.68	1.99	6.02	0.12	4.31	4.67	4.23	1.54	0.23	2.90	0.00029	0.91	<0.01	<0.01	99.99
14ST-135	Granito	61.92	0.47	17.62	1.74	2.68	0.09	2.67	5.39	4.25	1.66	0.10	1.34	0.00046	0.12	<0.01	0.07	100.12

Tab.2 K-Ar法絶対年代測定結果一覽表

Nº terreno	Nombre de roca	Nº interno	Material	‰k	<sup>40</sup> Ar. rad. (nl/g)	Ar. Atm. %	Edad y error (Ma) (2sigma)
07-HK-02	Alunita	H298/86	Alunita	5.986	18.132	40,8	76±2
BAP-1	Dacita	P188/86	R.Total	3.374	7.901	36,2	59.2±2
BAP-11-T	Dacita	P190/86	R.Total	2.876	6.531	53,8	57,5±2,3
16-MK-1J-R	Granito	P189/86	Plagioclasa	3.405	7.588	10,8	56,4±1,8
AFK-92-R	Actinolita	H300/86	Biotita	7.255	39.694	46,7	136±4
	Actinolita	H299/86	Actinolita	0.145	0.969	59,1	164±11

Tab.3 岩石薄片檢鏡結果一覽表

Abreviaturas

Cu	: Cuarzo
Af	: Feldespato alcalino
Pl	: Plagioclasa
Bi	: Biotita
An	: Anfibola
Ho	: Hornblenda
Px	: Piroxeno
Au	: Augita
Mf	: Mineral de mafico
Op	: Mineral de opaco
V	: Vidrio
Acc	: Mineral de accesorio
M	: Montmorillonita
Cl	: Clorita
Se	: Sericita
CaO	: Mineral de caolin
Al	: Alunita
Ep	: Epidota
Ca	: Calcita
Ac	: Actinolita
Ja	: Jarosita
Pr	: Prehnita
Li	: Limonita
Ri	: Riolita
Da	: Dacita
An	: Andesita
To	: Toba
Pu	: Pumita

Hip-gru : Hipidomorfa de grano grueso  
 Hid-med : Hidiomorfa de grano medio  
 Mic : Microcristalina  
 Por : Porfidica  
 Hia : Hialopilitica  
 Tra : Traquitica  
 Fel : Felsitica  
 Mic-fel : Microfelsitica  
 Bre-vit : Volcanica brechosa con masa fundamental vitrea  
 Felso : Felfosidica  
 Hip-gr : Hipidomorfa granular  
 Alo-fi : Alotriomorfa de grano fino  
 Por-vit : Porfidica con masa fundamental vitrea desvitrificada  
 Por-af : Porfidica con una masa fundamental afieltrada  
 Pil : Pilotaxitica  
 Hip-gr-fi : Hipidiomorfa granular fina  
 Hip-in : Hipidiomorfa inequigranular  
 Alo-eq : Alotriomorfa equigranular sacaroidal  
 Gr-lep : Grano-lepidoblastica  
 Epicla-gru : Epiclastica gruesa  
 Pil-int : Pilotaxitica a inter granular  
 Idi-gru : Idiomorfa de grano grueso  
 Epicla : Epiclastica  
 Pir : Piroclastica  
 Epicla-med : Epiclastica de grano medio  
 Epicla-fi : Epiclastica fina  
  
 X-ray : Difraccion de rayo X

⊙ : Abundante  
 ○ : Regular  
 △ : Poco  
 • : Muy poco





Tab. 4 X線回折結果一覽表

No	Sample No.	Minerales de mena																
		Cp	Cc	Cv	Ma	At	Ga	An	Es	Ag	Pi	Asp	Mt	He	Esp	Mn	Li	Gn
1	AFK-77												⊙	⊙			△	•
2	AMK-17	⊙											△	•	⊙	△		△
3	" 18	⊙		△									△		○	○	△	△
4	BTM-108						⊙	○?	△	•					△			○
5	BYF-03						⊙		○						△			⊙
6	" 05	•					△	△?		•					○			⊙
7	" 07	•		△			○	△?							△			⊙
8	02-TM-08			•	△		△									△?	△	⊙
9	02-YF-03														⊙		•	⊙
10	03-YF-01														⊙		△	⊙
11	" 12	•	•	•											△		△	⊙
12	05-HK-32						•	○?		•?							△	⊙
13	06-TM-06	•	•	•			△	△?										⊙
14	" 15	△	△	•											△		△	⊙
15	" 30	•		•			○	△?										⊙
16	09-FK-07															⊙		△
17	10-ST-30	△	△	•													△	⊙
18	14-MK-05	△		•	○												△	⊙
19	" 14					○									○		○	○
20	17-MK-02					○							△	△			○	○
21	23-MK-06													⊙			○	○

Abreviaturas

Cp : Calcopirita	Asp : Arsenopirita	
Cc : Calcosina	Mt : Magnetita	
Cv : Covelina	He : Hematita	
Ma : Malaquita	Esp : Especularita	
At : Atacamita	Mn : Minerales de Manganeso	
Ga : Galena	Li : Limonita	
An : Anglesita	Gn : Minerales de Ganga	
Es : Esfalerita		
Ag : Minerales de Plata	⊙ : Abundante	○ : Regular
Pi : Pirita	△ : Poco	• : Muy poco

Tab. 5 鉍石研磨片檢鏡結果一覽表

Abreviaturas

a : anfíbol	m : montmorillonita
al : alunita	mal : malaquita
ana : anatasa	mix : minerales de mixto
anh : anhídrita	mo : mordenita
at : atacamita	mt : magnetita
ba : baritina	p : pirofilita
bas : basanita	pl : plagioclasa
bi : biotita	py : pirita
ca : calcita	q : cuarzo
ch : clorita	rho : rodocrosita
cha : calcocina	se : sericita
cr : cristobalita	to : turmalina
di : diquita	tr : tridimita
dia : diaspora	zn : zunita
ep : epialta	zo : zeolita
go : goethita	
gy : yeso	
ha : halloysita	
he : hematita	⊙ : muy abundante
ja : jarosita	○ : abundante
k : kaolin	◦ : escasa
ka : kaolinita	• : indicio
kf : feldepató potásico	
la : laumontita	
lep : lepidocrocita	

Lista de Analisis por Difracción Rayos X

No muestra	q kf pl Cr tr	a m mix ch Se	k ka di p dia	aℓ zu ca rho gy	anh bas ba mo ℓa	ep at mal cha mt	he go ℓip ja ana	py ze ap	Nota
A. AFK- 49	○ • ○	⊙ ○? ○? •				○	○		
50	○ ○ ○								
51	⊙					○? ?	○		
52	○ ○ ⊙	○ ? ○		○		?			
53	○ ○ ⊙	○ •				•?			
54	○	○ ○ ○				○? ○ ○	○ ○		
55	○ ○ ○	○ ○				?		•?	
59	○ • ○	○ ○ •				○? ○	○? ○		
60	⊙ •	○ ○ •				○ ? ○	?		
61	○ •	○ ○ ○				○?			
62	○	○ ○ •				○? ○ ? ?	○? ○		
63	⊙	○ ○ •				○ •?			
67	○				○		○ ?		
68	⊙	○? ○					?	○	
69	⊙	?			•?		•?	○? ○	
70	○	⊙				○?	○		
74	○ ○?	○ ○		○ ○		○?	○ ○		
75	○	○				○ ○? ○ ○	○ ○ ○?		
76	○	○ ○		○ ○	○				
102	○ ○ ○?	○ ○ •		○ ○		○	○? ○		
103	○ ○ ○	○ ○ ○		○		○? ○?	○? ○		
A AMK- 01	○	•				○	⊙ ○		
2	⊙ ○ ○	○				○? ○?	○ ○		
3	○	⊙ ○?					○		
4	○ ○	○ ○							
5	○ ○	○					○ ○ ○		
6	○ ○	○		○		○?	○ ○		
7	○ ○	○ ○							
8	○ ○ ○	○ ○ ○						○	
9	○ ○	○ ○? ○ ○					○ ○ ○		
10	⊙	○		○			○ ○ ○		
11	○ ○	○ ○		○		○?	○ ○		



No muestra	q kf pl cr tr	a m mix ch se	k ka di p dia	al zu ca rho gy	anh bas ba mo La	ep at mal cha ml	he go Lip ja ana	py	Nota
A AMK- 47	○ ○ ○	• ○ ○		○		○	•	?	
48	○ ○	○ ○		○				○?	
49	○ ○?	⊙ ○ ○		•		○ ○?	○?		
50	○ ○	⊙ ○ ○		○		○ ? ○	○ ○		
51		⊙ ○ •?			•	?			
52	○ ○ ○	○ ○ •				○			
53	○ • ○	○ ○ ○			○		○	○?	
54	○ ○	○ ○ •				○		○?	
55	○ ○ ○	○ ○ ○				○? ○? ○?	○ ○?		
56	○ ○ ○	○ ○ ○				○?	○ ○		
57	○ ○? ○	○ ○ •				○? ○ ○?	○ ○?		
58	○ ○	⊙ ○ •				○ ○ ○	○ ○		
59	⊙ ○ ○	○ ○ ○		○		○			
60	○ ○ ○	○ ○ •			○	○			
61	○ ○	○ ○ ○			○?	○ ○ ○?	○ ○		
62	○ ○ ○	○ ○ •		○			○ ○?		
64	○ ○ ○	○ ○ ○				○ ? ○ ○?	○ ○		
68	○ ○? ○	○ ○ ○					○? •?		
69	○ ○	⊙ ○ •			○	○? ? ○?	○ ○		
70	○ ○ ○	○ ○ ○				○ ○? ○	○ ○		
71	○ ○ ○	○ ○ •				○ ? ? ? ○	○ ○		
72	○ ○	⊙ ○ •				○ ? ○?	○ ○		
73	○ ○ ○	○ ○ ○					○? ○		
74	○ ○ ○	○ ○ ○					○? •?		
75	○ ○ ○	○ ○ •				○ ○ ○	○? ○?		
76	○ ○ ○	○ ○ ○				○ ○ ○	•?		
77	○ ○ ○	○ ○ •				○ ○ ○	•		
78	○ ○ ○	○ ○ ○				○ ○ ○	?		
79	○ ○ ○	○ ○ •				○ ○ ○?	○?		
80	○ ○ ○	○ ○ •				○ ○ ○	○ ○		
81	○ ○ ○	○ ○ •				○ ○ •	?		
82	○ ○ ○	○ ○ •		•		○ ○ ○	○ ○		
83	○ ○ ○	○ ○ •				○ ○ ○?	?		
84	○ ○ ○	○ ○ •		○		○ ○ ○?	?		
86	○ ○ ○	○ ○? ○ ○		•		○? ○ •	•		



No muestra	q	kf	pl	er	tr	a	m	mix	ch	se	k	ka	di	p	dia	a	l	zu	ca	rho	gy	anh	bas	ba	mo	la	ep	at	mal	cha	mt	he	go	lip	ja	ana	py	Nota							
A	AMK-123	o	o	o		o	o?	o?	o	•								o	o								?				o	o			o?										
	124	o	o	o		o			o	o								o	o																										
	125	o	o	o		o			o	•								o									o?	?									o								
	126	o	o	o		o			o									o									o?											o							
	127	o		o		o			o	o																	o?																		
	128	o	o?	o		o			o	o																													o						
	129	o				o			o?	o								o									o?																		
	130	o				o				o								o	o								?	?	o	o	o	o	o	o	o	o	o	o	o						
	131	o		o		o												o									o	o?	o?	o	o	o	o	o	o	o	o	o	o	o					
	132	o		o		•				o	o							o									o		?	o	o	o	o	o	o	o	o	o	o	o					
	133	o	•?	o?		o		o?	o	o												o	o																						
	134	•	•	o		o			o	•												o	o																						
	135	•				o		o	•													o	o																						
	136					o		o?	o	•												o	o																						
	137					o		•?	o													o	o																						
	138	•		o		o		o	o	•												o	o																						
	139		o	o		o																o	o					•?																	
	140		o	o		o				•												o	o																						
	141		?	o		o		•		•												o	o					•?																	
	142		o	o		o			•	•												o	o					•?																	
	144	o?	o	o		o			•	•												o	o					•?																	
	148	•?	o	o		o			o	•												•	o																						
	149	o	o	o		o		o	o	•												o	o																						
	150	o	o	o		o			o	•												o	o																					•?	
	151	o	o	o		o		•?	o	•												o	o																					o	
	152	o	o	o		o			o	•												o	o																						
	153	o	o	o		o	o?		o	o												o	o					o?																	
	155	o	o	o		o			o	•												o	o																						
	159	o	o	o		o			o													o	o																						
	160	o	o	o		o			o	o												o	o					o?																	
	161	o	o	o		o			o	o												o	o					o	o?	o	o	o	o	o	o	o	o	o	o	o	o	o	o	o	
	162	o	o	o		o			o	•												o	o					o?	o?																
	163	o	o	o		o			o	o												o	o																						
	164	o	o	?		o			o	o												o	o				o																		
	165	o		o		•?	o?		o													o	o					o?	o?	o?	o	o	o	o	o	o	o	o	o	o	o	o	o		

No	muestra	q	kf	pl	cr	tr	a	m	mix	ch	se	k	ka	di	p	dia	aL	zu	ca	rho	gy	anh	bas	ba	mo	La	ep	at	mal	cha	mt	he	go	Lep	ja	ana	py	Nota													
A	AMK-166	○		○			•			○	○																																								
	167	○		○			○			○	○																																								
	168	•	○	○			○			○	○																○																								
	169	○	○	○			○			○	○																																								
	170	○	○	○			○			○	○	○																																							
	171	○	○	○			○			○	○																																								
	172	○	○	○			○			○	○																																								
	173	○	○	○			○			○	○																																								
	174	○	○	⊙			○			○	○																																								
	175	○	○	⊙			○			○	○																																								
	176	○	○	⊙			○			○	○																○?																								
	178	○	○	⊙			○			○	○																																								
	182	○	○	○			○			○	○																																								
	183	○					○			○	○																																								
	184	○		•?			⊙		○?	○	○																																								
	185	○	○	○			○			○	○																																								
	186	○	○	○			○			○	○																																								
	187	○		○			○			○	○																																								
	188	○	○	○			○			○	○																																								
	189		○	○			○			○	○																																								
	190		○	○			⊙			○	○																																								
	191	○	○	○			○			○	○																																								
	193	○	○	○			○			○	○																																								
	197	○	○	○			○			○	○																																								
A	AST-47	○	○	○?			○			○	○																○	○	?																						
	48	○	○	○			○			○	○																																								
	49	⊙	○	○			○			○	○																																								
	50	○	?	•						○	○																																								
	51	•?	○				○			○	○																○																								
	52	○		⊙			○			○	○																																								
	53	○		⊙			○			○	○																																								
	59	○	○				○			○	○																○																								
	63	○					○			○	○																																								
	64	○					○			○	○																																								

No muestra	q	kf	pl	er	tr	a	m	mix	ch	se	k	ka	di	p	dia	a	l	zu	ca	rho	gy	anh	bas	ba	mo	La	ep	at	mal	cha	mt	he	go	Lep	ja	ana	py	ze	Nota													
AST- 65	○	○	⊙			○			○	•								○																				○?														
66	○	○	⊙			○			○									○																						○?												
67	○					○			○	•?								○									○	○	○	○?		○																				
68	○	○	⊙			○			○																																											
69	○	○?	?			○			○	•?								○										○	○?	○?		○	○																			
70	○	•?				○	○?	?		?												⊙	○				○?	○?																								
71	○	○				○																⊙	○					?	○	○?		○	○																			
74	○																	○										○																								
75	○	○								○?																	⊙	○	○	○	?		○																			
B BCR- 09	○	○	○				○				○							○																																		
BHK- 01	⊙	○	○								○																																									
2	⊙	○	○								○?																																									
3	⊙	○	○				○																																													
4	⊙	○	○																																																	
5	○	○	○																																																	
6	○		○																																																	
7	○	○	○																																																	
8	⊙	○	○																																																	
9	⊙	○	○																																																	
10	○	○	○																																																	
11	○		?																																																	
12	○		⊙																																																	
13	⊙	○																																																		
14	⊙	○																																																		
15	⊙	○	○																																																	
16	○	○																																																		
17	○	○																																																		
18	⊙	○																																																		
19	⊙	○	○																																																	
20	⊙	•	○																																																	
21	⊙		○																																																	
22	⊙		○																																																	
23	⊙		○																																																	
24	⊙	○																																																		
25	○	○	•																																																	

No muestra	q	kf	pl	er	tr	a	m	mix	ch	se	k	ka	di	p	dia	a	ℓ	zu	ca	rho	gy	anh	bas	ba	mo	ℓa	ep	at	mal	cha	mt	he	go	ℓep	ja	ana	py	Nota		
B BHK- 26	⊙	•	•						•?	○	○?										○																			
27	⊙	○								○	○										○																			
28	⊙									○	○										○																		•?	
29	⊙									○	○										○																			
30	⊙	○	○							○	•?										○																			
31	⊙	○						○?		•	○										○																		•	
32	○	○	○						•?	○											○																			
33	⊙	○								○											○																			
34	⊙	○	○					○	○	○											○																			
35	⊙	○	○							?	○	○?									○																			
36	⊙	○	○			•	○	○?	○	○											○																			
37	○		○							•	○										○																			
38	○	○	○							○	○										○																			
39	○	○	○							•	○										○																			
40	⊙	○	•							•	○?										○																			○
41	⊙	○	○							○	○										○																			•
42	⊙	○	○							○	○										○																			•
43	⊙	○	○								○?										○																			•
44	○	○	○							○	○										○																			
45	⊙	○	○								○										○																			
46	⊙	○	○							•?	○										○																			
48	⊙	○								○	○										○																			
50	⊙	○	○							•?	○										○																			
52	⊙	○	○								•										○																			•
54	⊙	○	•							○	○										○																			
56	⊙	○	○			•				○	○										○																			•
58	⊙	○	○							•?	○										○																			
60	⊙	○	○			•				○	○										○																			
62	⊙	○									○	○									○																			
64	⊙	○	○								○?										○																			
66	⊙	○	○							○	○										○																			•
68	⊙	○	○			•				○	○										○																			
70	⊙	○	○							○	○										○																			
72	⊙	○								○?	○	?									○																			
74	⊙	○	○							○?	○										○																			•?

No muestra	q	kf	pl	er	tr	a	m	mix	ch	se	k	ka	di	p	dia	al	zu	ca	rho	gy	anh	bas	ba	mo	la	op	at	mal	cha	mt	he	go	lep	ja	ana	py	Nota																					
B	BHK- 76	⊙	○	○						○	○																																															
	78	⊙	○	○					○?	○																																																
	80	⊙	○	○						○																																																
	82	⊙	○	○						○																																																
	84	⊙	○	○						○																																•?																
	86	⊙	○				•			○	○																																															
	88	⊙	○	○						○																																																
	90	⊙	○	○					○?	○																																																
	92	⊙	○	○			•			○	○																																															
	94	⊙	○	○					•?	○																																																
	96	○	○	○			•?			○																																																
	98	⊙	○						○?	•																																																
	99	⊙	○	○					○?	○																																																
	100	⊙	○	○					○?	○																																																
	101	⊙	○	○					•?	○																																																
	102	⊙	○	○			•		○	○																																																
	103	⊙	○	○			○		○?	○																																																
	104	⊙	○	○					○?	•	?																																															
	105	⊙	○	○					○	○																																																
	106	⊙	○						○?	○																																																
	107	⊙	○	○					○	○																																																
	108	⊙	○	○					○	○																																																
	109	⊙	○	○					•	•																																																
	110	⊙	○				•		○	○																																																
	111	○	?	○					○	○																																																
	112	⊙	○	○					○	○																																																
	113	⊙	○	○			•		○	•																																																
	114	⊙	○	○			•		○	•																																																
	115	⊙	○	○					•?	•																																																
	116	⊙	○	○					•	•																																																
	117	⊙	○	○					•?	•																																																
	119	⊙	○	○					○	•																																																
	BMO- 01	⊙	•				○	○?	○	•																																																
	2	○	○	○					○	○																																																
	3	○	○	○					○	○																																																



No muestra	q	kf	pl	er	tr	a	m	mix	ch	se	k	ka	di	p	dia	a	ℓ	zu	ca	rho	gy	anh	bas	ba	mo	ℓa	ep	at	mal	cha	mt	he	go	ℓep	ja	ana	py	Nota					
B	BTM- 37	⊙	°	○						°	°										○																	•?					
	39	○		○					°?	°	°										°																		•				
	42	⊙	°?	○						°	°										○																		°				
	45	⊙	○	○					?	°	°										•	°																	•?				
	48	⊙	°	○						°	°											•																					
	50	○	°	○						°?	°	°										°												°?									
	53	⊙									•?	•										°																		•?			
	54	⊙	°?	○						°	°											°																					
	55	⊙	°	○						°	°											°																					
	57	○	°	○								•										○																					
	59	⊙	○	○							°?	°										°																					
	60	⊙	°																																						•?		
	62	°	○	⊙							○	•																													•?		
	63	○	°	○							°	°																															
	65	○	°	○							°	•																														•?	
	67	⊙	○	○							°	°																															
	68	⊙	○	°								°																															
	69	⊙	○								°?	°																														•	
	70	⊙	○	°							°	°																															
	77	⊙	○								•?	•										•																					
	80	⊙	○								°?	°																															
	81	⊙	○	°								°																															
	82	⊙	○									•																															
	83	⊙	○									•																														•?	
	85	⊙	○									°																															
	87	⊙	○									°																															
	89	⊙	○									°																															
	91	⊙	○									•																														•?	
	93	⊙	○									°																															•
	95	⊙	○									°																															
	97	⊙	○	?								°																															
	99	⊙	○	°								°																															
	101	⊙	○									°																															
	103	⊙	○									°																														•?	
	105	⊙	○	°							°?	°																															°

No muestra	q	kf	pl	er	tr	a	m	mix	ch	se	k	ka	di	p	dia	a	l	zu	ea	rho	gy	anh	bus	ba	mo	la	ep	at	mal	cha	mt	he	go	lep	ja	ana	py	Nota		
B	BTM-107	⊙	○	°						°	°																										•?			
	B	⊙	°																																					
	LCN3-4	⊙	°																																					
	9	⊙	°	°																																				
	10	⊙	°	°																																				
	BSD- 8	⊙	°	○															○		°																			
	10	⊙	○	°																																				
	11	⊙	○																																					
	23	⊙	○	○																																				
	27	⊙																																						
	BSP- 12	⊙	°																																					
	14	⊙	○	°																																				
	102	⊙	○	○																																				
	104	⊙	○	○																																				
	105	⊙	○	○																																				
B	BAP- 13	⊙	○	○																																				
	17	⊙	○	○																																				
	18	⊙	○	○																																				
	19	⊙	○	○																																				
	20	⊙	○																																					
	21	⊙	°	°																																				
	23A	⊙	○	○																																				
	23B	⊙	○	○																																				
	24	⊙	°	°																																				
	25	⊙	○	○																																				
	31	⊙	°																																					
	31	⊙	○	°																																				
	38	⊙	○	○																																				
	39	⊙	°																																					
	46	⊙	°	○																																				
	50	⊙	°	°	°																																			
	55	⊙	°	○																																				
	66	⊙	°																																					
	72	⊙																																						
	74	⊙	○	°																																				





No muestra	q	kf	pl	er	tr	a	m	mix	ch	se	k	ka	di	p	dia	al	zu	ca	rho	gy	anh	bas	ba	mo	la	ep	at	mal	cha	mt	he	go	lep	ja	ana	py	ru	Nota														
07	07 -HK- 4	⊙								°		°?																																								
	7	⊙									•		•?																																							
	8	⊙									°																						°		?						°?											
	10	○									°		•?																																							
	07 -MO- 01	⊙									°		○																																							
	7	⊙																																																		
	8	⊙																																																		
	11	⊙									°																																									
	07 -TM- 06	⊙	?							•	•																																									
	8	⊙									•																																									
	07 -YF- 02	○	?										○																																							
	4	○											○																																							
	5	⊙											°?	○																																						
	7	⊙																																																		
	8	○																																																		
	9	○																																																		
	12	○																																																		
	13	○																																																		
	15	○																																																		
	19	○																																																		
	07 -CR- 2	⊙																																																		
	4	⊙																																																		
	5	⊙	○	○						•																																										
	6	⊙	○	○																																																
	9	⊙								•																																										
08	15 AP- 9	⊙	○	○						•		•	•																																							
	14	⊙	○							•			•																																							
	15	⊙	○							•																																										
	16	⊙	○	⊙						•			•																																							
	17	⊙	○	○						•			•																																							
	18	⊙	○	⊙								•																																								
	19	⊙	○	○										•																																						
	20	⊙	○	○						•		•	•																																							
09	08 -TM- 25	⊙										°																																								
	26	⊙										•																																								

No muestra	q	kf	pl	cr	tr	a	m	mix	ch	se	k	ka	di	p	dia	a	z	ca	rho	gy	anh	bas	ba	mo	la	ep	at	mal	cha	mt	he	go	lep	ja	ana	py	ru	Nota					
09	08		°	°	○															○																							
14	14		○							○ <sup>1)</sup>										°																				1) Bi			
	14		•							° <sup>1)</sup>										°	⊙	○																		1) # (#)			
	12		○		⊙			°		° <sup>1)</sup>										°																				1) # (#)			
	15		○																	○																							
19	17		⊙							°										○																							
	9		⊙							°										○																							
	12		○		⊙	⊙				°																																	
	13		○		°	⊙	⊙			°	°																																
	17		⊙			○		•		°	•																																
20	16		○							○		°?								○																							
	16		○							○		°								○																							
	16		°			⊙	?			°?	°																																
	7					○	°	°																																			

Tab.6 No. 1地区地化学探査統計処理値及び異常区分

Valores estadísticos

Elementos	Au (ppb)	Ag (ppm)	Cu (ppm)	As (ppm)	Mo (ppm)
Valor maximo	20	0,9	118	330	65
Valor minimo	<20	<0,1	1	6	<1
Valor promedio	$1/2 \times <20$	0,1~0,2	23,856	35,769	4,5
Desviacion estandar	—	—	0,3222	0,2407	—
Limite de background	<20	0,35	50,096	62,253	9,0

Clasificación de anomalia

Elementos	Au	Ag	Cu	As	Mo
Anomalia clase A	— ( $\geq 60$ )	— ( $\geq 1,05$ )	— ( $\geq 220,9$ )	1 ( $\geq 188,6$ )	1 ( $\geq 27,0$ )
Anomalia clase B	—(60>, 40 $\leq$ )	3(1,05>, 0,7 $\geq$ )	1(220,9>, 105,2 $\leq$ )	1(188,6>, 108,3 $\leq$ )	2(27,0>, 18,0 $\leq$ )
Anomalia clase C	1(40>, 20 $\leq$ )	8(0,7>, 0,35 $\leq$ )	5(105,2>, 50,1 $\leq$ )	6(108,3>, 62,3 $\leq$ )	9(18,0>, 9,0 $\leq$ )

Tab.7 No. 2地区地化学探査統計処理値及び異常区分

Valores estadisticos

Elementos	Au (ppb)	Ag (ppm)	Cu (ppm)	As (ppm)	Mo (ppm)
Valor maximo	20	1,9	153	58	3
Valor minimo	< 20	0,1	2	17	< 1
Valor promedio	$1/2 \times < 20$	0,3	31,290	32,685	2
Desviacion estandar	-	-	0,2737	0,1026	-
Limite de background	< 20	0,55	58,761	41,392	4

Clasificacion de anomalia

Elementos	Au	Ag	Cu	As	Mo
Anomalia clase A	-	- ( $\geq 1,65$ )	- ( $\geq 207,2$ )	- ( $\geq 66,4$ )	-
Anomalia clase B	-	- (1,65 >, 1,1 $\geq$ )	4 (207,2 >, 110,4 $\leq$ )	2 (66,4 >, 52,4 $\leq$ )	-
Anomalia clase C	-	3 (1,1 >, 0,55 $\leq$ )	6 (110,4 >, 58,8 $\leq$ )	16 (52,4 >, 41,4 $\leq$ )	-

Tab.8 No. 3地区地化学探査統計処理値及び異常区分

Valores estadísticos

Elementos	Au (ppb)	Ag (ppm)	Cu (ppm)	As (ppm)	Mo (ppm)
Valor maximo	80	6,5	341	75	13
Valor minimo	< 20	0,1	< 1	< 5	< 1
Valor promedio	$1/2 \times < 20$	0,3	17,38	24,405	1~2
Desviación estandar	—	—	0,5187	0,09127	—
Limite de background	< 20	0,6	57,381	47,726	4

Clasificación de anomalia

Elementos	Au	Ag	Cu	As	Mo
Anomalia clase A	2 ( $\geq 60$ )	— ( $\geq 1,8$ )	— ( $\geq 625,5$ )	— ( $\geq 182,5$ )	— ( $\geq 12$ )
Anomalia clase B	1(60>, 40 $\leq$ )	3(1,8>, 1,2 $\geq$ )	3(625,5>, 189,4 $\leq$ )	—(182,5>, 93,3 $\leq$ )	1(12>, 8 $\leq$ )
Anomalia clase C	1(40>, 20 $\geq$ )	8(1,2>, 0,6 $\leq$ )	4(189,4>, 57,4 $\leq$ )	12(93,3>, 47,7 $\leq$ )	17(8>, 4 $\leq$ )

Tab.9 No. 4地区地化学探査統計処理値及び異常区分

Valores estadísticos

Elementos	Au (ppb)	Ag (ppm)	Cu (ppm)	As (ppm)	Mo (ppm)
Valor maximo	60	36,0	670	5900	29
Valor minimo	<20	0,1	1	8	<1
Valor promedio	$1/2 \times <20$	0,3~0,4	60,151	76,5756	2~3
Desviacion estandar	—	—	0,4449	0,29682	—
Limite de background	<20	0,65	167,564	151,676	5,5

Clasificación de anomalia

Elementos	Au	Ag	Cu	As	Mo
Anomalia clase A	1 ( $\geq 60$ )	— ( $\geq 19,5$ )	— ( $\geq 1300,4$ )	— ( $\geq 595,1$ )	— ( $\geq 16,5$ )
Anomalia clase B	1(60>, 40 $\leq$ )	—(19,5>, 13,0 $\geq$ )	2(1300,4>, 466,8 $\leq$ )	1(595,1>, 300,4 $\leq$ )	12(16,5>, 11,0 $\leq$ )
Anomalia clase C	2(40>, 20 $\geq$ )	5(13,0>, 6,5 $\leq$ )	14(466,8>, 167,6 $\leq$ )	9(300,4>, 151,7 $\leq$ )	29(11,0>, 5,5 $\leq$ )

Tab.10 No. 5地区地化学探査統計処理値及び異常区分

Valores estadísticos

Elementos	Au (ppb)	Ag (ppm)	Cu (ppm)	As (ppm)	Mo (ppm)
Valor maximo	< 20	2,2	30	600	13
Valor minimo	< 20	< 0,1	< 0,1	< 1	< 1
Valor promedio	$1/2 \times < 20$	0,2~0,3	10,87	25,33	2~3
Desviacion estandar	-	-	0,3594	0,2703	-
Limite de background	< 20	0,45	24,869	47,205	5,5

Clasificacion de anomalia

Elementos	Au	Ag	Cu	As	Mo
Anomalia clase A	-	2 ( $\geq 1,35$ )	- ( $\geq 130,2$ )	- ( $\geq 163,9$ )	- ( $\geq 16,5$ )
Anomalia clase B	-	1(1,35>, 0,9 $\leq$ )	-(130,2>, 56,9 $\leq$ )	(163,9>, 88,0 $\geq$ )	2(16,5>, 11,0 $\leq$ )
Anomalia clase C	-	7(0,9>, 0,45 $\leq$ )	2(56,9>, 24,9 $\leq$ )	6(88,0>, 47,2 $\leq$ )	10(11,0>, 5,5 $\leq$ )

Tab.11 No. 6地区地化学探査統計処理値及び異常区分

Valores estadisticos

Elementos	Au (ppb)	Ag (ppm)	Cu (ppm)	As (ppm)	Mo (ppm)
Valor maximo	< 20	0,9	23	84	5
Valor minimo	< 20	0,1	6	7	< 1
Valor promedio	$1/2 \times < 20$	0,2	13,088	16,1918	2
Desviacion estandar	—	—	0,13085	0,15965	—
Limite de background	< 20	0,4	18,690	23,386	4

Clasificacion de anomalia

Elementos	Au	Ag	Cu	As	Mo
Anomalia clase A	—	— ( $\geq 1,2$ )	— ( $\geq 32,3$ )	2 ( $\geq 48,8$ )	— ( $\geq 12,0$ )
Anomalia clase B	—	23(1,23>, 0,8 $\leq$ )	—(32,3>, 23,9 $\leq$ )	3(48,8>, 33,8 $\geq$ )	—(12,0>, 8,0 $\leq$ )
Anomalia clase C	—	2(0,8>, 0,4 $\leq$ )	18(23,9>, 17,7 $\leq$ )	4(33,8>, 23,4 $\leq$ )	7(8,0>, 4,0 $\leq$ )

Tab.12 No. 7地区地化学探査統計処理値及び異常区分

Valores estadísticos

Elementos	Au (ppb)	Ag (ppm)	Cu (ppm)	As (ppm)	Mo (ppm)
Valor maximo	< 20	0,5	57	78	15
Valor minimo	< 20	0,1	2	14	2
Valor promedio	$1/2 \times < 20$	0,1~0,2	25,7048	30,123	4
Desviacion estandar	-	-	0,226279	0,16023	-
Limite de background	< 20	0,25	43,281	43,5642	7,5

Clasificación de anomalia

Elementos	Au	Ag	Cu	As	Mo
Anomalia clase A	-	- ( $\geq 0,75$ )	- ( $\geq 122,7$ )	2 ( $\geq 91,1$ )	- ( $\geq 22,5$ )
Anomalia clase B	-	1( $0,75 >$ , $0,5 \leq$ )	-( $122,7 >$ , $72,9 \leq$ )	2( $91,1 >$ , $63,0 \geq$ )	-( $22,5 >$ , $15 \leq$ )
Anomalia clase C	-	6( $0,5 >$ , $0,25 \leq$ )	7( $72,9 >$ , $43,3 \leq$ )	14( $63,0 >$ , $43,6 \leq$ )	9( $15 >$ , $7,5 \leq$ )

Tab.13 No. 8地区地化学探査統計処理値及び異常区分

Valores estadísticos

Elementos	Au (ppb)	Ag (ppm)	Cu (ppm)	As (ppm)	Mo (ppm)
Valor máximo	20	1,4	33	98	27
Valor mínimo	< 20	< 0,1	< 1	9	< 1
Valor promedio	$1/2 \times < 20$	0,2	11,999	22,006	2
Desviación estandar	—	—	0,4639	0,2044	—
Límite de background	< 20	0,35	34,919	35,299	4

Clasificación de anomalía

Elementos	Au	Ag	Cu	As	Mo
Anomalia clase A	— ( $\geq 60$ )	3 ( $\geq 1,05$ )	— ( $\geq 296$ )	— ( $\geq 90,3$ )	— ( $\geq 12$ )
Anomalia clase B	—(60>, 40 $\leq$ )	6(1,05>, 0,7 $\geq$ )	—(296>, 101,6 $\leq$ )	5(90,3>, 56,4 $\leq$ )	—(12>, 8 $\leq$ )
Anomalia clase C	2(40>, 20 $\geq$ )	10(0,7>, 0,35 $\leq$ )	—(101,6>, 34,9 $\leq$ )	14(56,4>, 35,2 $\leq$ )	4(8>, 4 $\leq$ )

Tab.14 No. 9地区地化学探査統計処理値及び異常区分

Valores estadísticos

Elementos	Au (ppb)	Ag (ppm)	Cu (ppm)	As (ppm)	Mo (ppm)
Valor máximo	20	0,6	62	68	22
Valor mínimo	<20	0,1	2	<5	<1
Valor promedio	$1/2 \times <20$	0,1~0,2	18,060	13,485	1~2
Desviación estandar	—	—	0,3706	0,3402	—
Limite de background	<20	0,25	42,396	29,516	2,5

Clasificación de anomalía

Elementos	Au	Ag	Cu	As	Mo
Anomalia clase A	— ( $\geq 60$ )	— ( $\geq 0,75$ )	— ( $\geq 293,6$ )	— ( $\geq 141,4$ )	4 ( $\geq 7,5$ )
Anomalia clase B	—(60>, 40 $\leq$ )	3(0,75>, 0,5 $\geq$ )	—(233,6>, 99,5 $\leq$ )	2(141,4>, 64,6 $\leq$ )	—(7,5>, 5 $\leq$ )
Anomalia clase C	1(40>, 20 $\geq$ )	10(0,5>, 0,25 $\leq$ )	7(99,5>, 42,4 $\leq$ )	6(64,6>, 29,5 $\leq$ )	4(5>, 2,5 $\leq$ )

Tab. 15 No. 10地区地化学探査統計処理値及び異常区分

Valores estadísticos

Elementos	Au (ppb)	Ag (ppm)	Cu (ppm)	As (ppm)	Mo (ppm)
Valor maximo	< 20	2,0	200	35	4
Valor minimo	< 20	< 0,1	14	10	< 1
Valor promedio	$1/2 \times < 20$	0,2~0,3	41,698	18,865	1~2
Desviacion estandar	—	—	(0,21528)	(0,0980)	—
Limite de background	< 20	0,5	68,454	23,640	3,5

Clasificacion de anomalia

Elementos	Au	Ag	Cu	As	Mo
Anomalia clase A	—	12 ( $\geq 1,5$ )	1 ( $\geq 184,5$ )	— ( $\geq 37,1$ )	— ( $\geq 10,0$ )
Anomalia clase B	—	1(1,5>, 1,0 $\leq$ )	4(184,5>, 112,4 $\leq$ )	2(37,1>, 29,6 $\geq$ )	—(10,0>, 7,0 $\leq$ )
Anomalia clase C	—	9(1,0>, 0,5 $\leq$ )	9(112,4>, 68,5 $\leq$ )	15(29,6>, 23,6 $\leq$ )	1(7,0>, 3,5 $\leq$ )

Tab.16 No.11地区地化学探査統計処理値及び異常区分

Valores estadísticos

Elementos	Au (ppb)	Ag (ppm)	Cu (ppm)	As (ppm)	Mo (ppm)
Valor maximo	140	1,2	515	32	6
Valor minimo	<20	<0,1	60	<5	<0,1
Valor promedio	$1/2 \times <20$	0,1~0,2	117,588	4,0353	1,1~0,2
Desviacion estandar	-	-	(0,15137)	(0,2859)	-
Limite de background	<20	0,4	166,621	7,7946	0,25

Clasificación de anomalia

Elementos	Au	Ag	Cu	As	Mo
Anomalia clase A	1 ( $\geq 60$ )	- ( $\geq 1,2$ )	- ( $\geq 334,6$ )	- ( $\geq 29,1$ )	- ( $\geq 7,5$ )
Anomalia clase B	2( $60 >$ , 40 $\leq$ )	-( $1,2 >$ , 0,8 $\geq$ )	3( $334,6 >$ , 236,1 $\leq$ )	5( $29,1 >$ , 15,1 $\leq$ )	3( $7,5 >$ , 5,0 $\leq$ )
Anomalia clase C	1( $40 >$ , 20 $\geq$ )	11( $0,8 >$ , 0,4 $\leq$ )	6( $236,1 >$ , 166,6 $\leq$ )	10( $15,1 >$ , 7,8 $\leq$ )	5( $5,0 >$ , 2,5 $\leq$ )

Tab.17 No.12地区地化学探査統計処理値及び異常区分

Valores estadísticos

Elementos	Au (ppb)	Ag (ppm)	Cu (ppm)	As (ppm)	Mo (ppm)
Valor maximo	60	2,4	770	270	23
Valor minimo	< 20	< 0,1	48	2,5	< 1
Valor promedio	$1/2 \times < 20$	0,1~0,2	150,024	18,21	2~3
Desviacion estandar	-	-	(0,2333)	(0,4482)	-
Limite de background	< 20	0,35	256,715	51,101	0,45

Clasificacion de anomalia

Elementos	Au	Ag	Cu	As	Mo
Anomalia clase A	6 ( $\geq 60$ )	1 ( $\geq 1,05$ )	1 ( $\geq 751,7$ )	- ( $\geq 402,5$ )	3 ( $\geq 13,5$ )
Anomalia clase B	3(60>, 40 $\leq$ )	-(1,05>, 0,70 $\geq$ )	3(751,7>, 439,3 $\leq$ )	2(402,5>, 143,4 $\leq$ )	11(13,5>, 9,0 $\leq$ )
Anomalia clase C	6(40>, 20 $\geq$ )	10(0,70>, 0,35 $\leq$ )	10(439,3>, 256,7 $\leq$ )	13(143,4>, 51,1 $\leq$ )	4(9,0>, 4,5 $\leq$ )

Tab.18 No.13地区地化学探査統計処理値及び異常区分

Valores estadisticos

Elementos	Au (ppb)	Ag (ppm)	Cu (ppm)	As (ppm)	Mo (ppm)
Valor maximo	40	0,3	194	38	5
Valor minimo	<20	<0,1	10	9	<1
Valor promedio	$1/2 \times <20$	0,1~0,2	48,76	20,55	2
Désviacion estandar	—	—	(0,23015)	(0,10954)	—
Limite de background	<20	0,25	82,83	26,44	4

Clasificacion de anomalia

Elementos	Au	Ag	Cu	As	Mo
Anomalia clase A	— ( $\geq 60$ )	— ( $\geq 0,75$ )	— ( $\geq 239,1$ )	— ( $\geq 43,8$ )	— ( $\geq 12$ )
Anomalia clase B	1( $60 >$ , $40 \leq$ )	—( $0,75 >$ , $0,50 \geq$ )	4( $239,1 >$ , $140,7 \leq$ )	2( $43,8 >$ , $34 \leq$ )	—( $12 >$ , $8 \leq$ )
Anomalia clase C	1( $40 >$ , $20 \geq$ )	4( $0,50 >$ , $0,25 \geq$ )	8( $140,7 >$ , $82,8 \leq$ )	10( $34 >$ , $26,4 \leq$ )	1( $8 >$ , $4 \leq$ )

Tab.19 No.14地区地化学探査統計処理値及び異常区分

Valores estadísticos

Elementos	Au (ppb)	Ag (ppm)	Cu (ppm)	As (ppm)	Mo (ppm)
Valor maximo	60	0,4	322	21	4
Valor minimo	<20	0,1	18	<5	<1
Valor promedio	$1/2 \times <20$	0,2~0,3	74,639	8,939	1~2
Desviacion estandar	—	—	(0,2461)	(0,1616)	—
Limite de background	<20	0,45	131,538	12,9688	0,3

Clasificacion de anomalia

Elementos	Au	Ag	Cu	As	Mo
Anomalia clase A	— ( $\geq 60$ )	—	— ( $\geq 408,5$ )	— ( $\geq 27,3$ )	—
Anomalia clase B	— (60 >, 40 $\leq$ )	—	2 (408,5 >, 231,8 $\leq$ )	1 (27,3 >, 18,8 $\leq$ )	—
Anomalia clase C	1 (40 >, 20 $\geq$ )	—	13 (231,8 >, 131,5 $\leq$ )	9 (18,8 >, 13 $\leq$ )	15

Tab. 20 No. 15地区地化学探査統計処理値及び異常区分

Valores estadísticos

Elementos	Au (ppb)	Ag (ppm)	Cu (ppm)	As (ppm)	Mo (ppm)
Valor maximo	< 20	0,5	368	40	9
Valor minimo	< 20	0,2	41	< 5	< 1
Valor promedio	$1/2 \times < 20$	0,2~0,3	85,568	158,559	1~2
Desviacion estandar	—	—	0,1873	0,1782	—
Limite de background	< 20	0,55	131,704	23,5003	3,5

Clasificacion de anomalia

Elementos	Au	Ag	Cu	As	Mo
Anomalia clase A	—	—	— ( $\geq 312$ )	— ( $\geq 53,4$ )	— ( $\geq 10,5$ )
Anomalia clase B	—	—	4(312>, 202,7 $\leq$ )	1(53,4>, 35,4 $\leq$ )	2(10,5>, 7,0 $\leq$ )
Anomalia clase C	—	—	10(202,7>, 131,7 $\leq$ )	10(35,4>, 23,5 $\leq$ )	8(7,0>, 3,5 $\leq$ )

Tab.21 No.16地区地化学探査統計処理値及び異常区分

Valores estadísticos

Elementos	Au (ppb)	Ag (ppm)	Cu (ppm)	As (ppm)	Mo (ppm)
Valor máximo	20	0,6	336	58	18
Valor mínimo	< 20	< 0,1	28	7	< 1
Valor promedio	$1/2 \times < 20$	0,2	75,514	15,913	1~2
Desviación estándar	—	—	0,23986	0,19674	—
Límite de background	< 20	0,4	131,186	25,031	3,5

Clasificación de anomalía

Elementos	Au	Ag	Cu	As	Mo
Anomalia clase A	— ( $\geq 60$ )	— ( $\geq 1,2$ )	— ( $\geq 395,9$ )	— ( $\geq 61,9$ )	— ( $\geq 10,5$ )
Anomalia clase B	— (60 > , 40 $\leq$ )	— (1,2 > , 0,8 $\geq$ )	3 (395,9 > , 227,9 $\leq$ )	5 (61,9 > , 39,4 $\leq$ )	2 (10,5 > , 7 $\leq$ )
Anomalia clase C	3 (40 > , 20 $\geq$ )	11 (0,8 > , 0,4 $\leq$ )	16 (227,9 > , 131,2 $\leq$ )	8 (39,4 > , 25 $\leq$ )	4 (7,0 > , 3,5 $\leq$ )

Tab. 22 No. 17地区地化学探査統計処理値及び異常区分

Valores estadísticos

Elementos	Au (ppb)	Ag (ppm)	Cu (ppm)	As (ppm)	Mo (ppm)
Valor maximo	< 20	2,5	514	124	5
Valor minimo	< 20	< 0,1	48	< 5	< 1
Valor promedio	$1/2 \times < 20$	0,2~0,3	103,137	13,605	1
Desviacion estandar	—	—	0,1706	0,3542	—
Limite de background	< 20	0,45	152,818	30,756	2,5

Clasificación de anomalia

Elementos	Au	Ag	Cu	As	Mo
Anomalia clase A	—	5 ( $\geq 1,35$ )	1 ( $\geq 335,5$ )	— ( $\geq 157,2$ )	— ( $\geq 7,5$ )
Anomalia clase B	—	3 (1,35>, 0,9 $\geq$ )	3 (335,5>, 226,4 $\leq$ )	6 (157,2>, 69,5 $\leq$ )	2 (7,5>, 5,0 $\leq$ )
Anomalia clase C	—	27 (0,9>, 0,45 $\leq$ )	8 (226,4>, 152,8 $\leq$ )	10 (69,5>, 30,8 $\leq$ )	5 (5,0>, 2,5 $\leq$ )

Tab. 23 No. 18地区地化学探査統計処理値及び異常区分

Valores estadísticos

Elementos	Au (ppb)	Ag (ppm)	Cu (ppm)	As (ppm)	Mo (ppm)
Valor maximo	< 20	0,7	1000	23	2
Valor minimo	< 20	0,1	15	< 5	< 1
Valor promedio	$1/2 \times < 20$	0,2~0,3	63,494	9,173	1~2
Desviacion estandar	-	-	0,3136	0,17931	-
Limite de background	< 20	0,45	130,711	13,861	2,5

Clasificacion de anomalia

Elementos	Au	Ag	Cu	As	Mo
Anomalia clase A	-	- ( $\geq 1,35$ )	1 ( $\geq 553,9$ )	- ( $\geq 31,7$ )	-
Anomalia clase B	-	- (1,35 >, 0,9 $\leq$ )	1 (553,9 >, 269,1 $\leq$ )	1 (31,7 >, 20,9 $\leq$ )	-
Anomalia clase C	-	7 (0,9 >, 0,45 $\leq$ )	14 (269,1 >, 130,7 $\leq$ )	11 (20,9 >, 13,7 $\leq$ )	-

Tab. 24 No. 19地区地化学探査統計処理値及び異常区分

Valores estadísticos

Elementos	Au (ppb)	Ag (ppm)	Cu (ppm)	As (ppm)	Mo (ppm)
Valor máximo	< 20	0,6	715	13	2
Valor mínimo	< 20	0,2	18	< 5	< 1
Valor promedio	$1/2 \times < 20$	0,3	112,295	6,384	1
Desviación estandar	—	—	0,31926	0,1997	—
Límite de background	< 20	0,55	234,195	10,1112	2,5

Clasificación de anomalía

Elementos	Au	Ag	Cu	As	Mo
Anomalia clase A	—	— ( $\geq 1,65$ )	— ( $\geq 1018,6$ )	— ( $\geq 25,4$ )	—
Anomalia clase B	—	— (1,65 >, 1,10 ≤)	1 (1018,6 >, 448,4 ≤)	1 (25,4 >, 16 ≤)	—
Anomalia clase C	—	2 (1,10 >, 0,55 ≤)	13 (448,4 >, 234,2 ≤)	10 (16 >, 10,1 ≤)	—

Tab. 25 No. 20地区地化学探査統計処理値及び異常区分

Valores estadísticos

Elementos	Au (ppb)	Ag (ppm)	Cu (ppm)	As (ppm)	Mo (ppm)
Valor maximo	20	0,7	222	66	4
Valor minimo	< 20	0,1	72	< 5	< 1
Valor promedio	$1/2 \times < 20$	0,2~0,3	67,887	11,139	1~2
Desviacion estandar	—	—	0,1841	0,2784	—
Limite de background	< 20	0,45	103,73	21,149	2,5

Clasificacion de anomalia

Elementos	Au	Ag	Cu	As	Mo
Anomalia clase A	— ( $\geq 60$ )	— ( $\geq 13,5$ )	— ( $\geq 242,2$ )	— ( $\geq 76,2$ )	— ( $\geq 7,5$ )
Anomalia clase B	—( $60 >$ , 40 $\leq$ )	—( $13,5 >$ , 9 $\geq$ )	5( $242,2 >$ , 158,5 $\leq$ )	5( $76,2 >$ , 40,2 $\leq$ )	—( $7,5$ , 5 $\leq$ )
Anomalia clase C	2( $40 >$ , 20 $\geq$ )	5( $9 >$ , 4,5 $\leq$ )	17( $158,5 >$ , 103,7 $\leq$ )	6( $40,2 >$ , 21,1 $\leq$ )	5( $5 >$ , 2,5 $\leq$ )

Tab. 26 A地区地化学探査統計処理値及び異常区分

Valores estadísticos

Elementos	Au (ppb)	Ag (ppm)	Cu (ppm)	As (ppm)	Mo (ppm)
Valor maximo	60	1,2	3,600	72	32
Valor minimo	< 20	< 0,1	72	2,5	< 1
Valor promedio	$1/2 \times < 20$	0,2	239,933	13,839	2~3
Desviacion estandar	-	-	0,3369	0,1620	-
Limite de background	< 20	0,4	521,131	20,1822	4,5

Clasificacion de anomalia

Elementos	Au	Ag	Cu	As	Mo
Anomalia clase A	1 ( $\geq 60$ )	1 ( $\geq 1,2$ )	4 ( $\geq 2458,5$ )	3 ( $\geq 42,6$ )	1 ( $\geq 13,5$ )
Anomalia clase B	2( $60 >, 40 \leq$ )	-( $1,2 >, 0,8 \geq$ )	5( $2458,5 >, 1131,9 \leq$ )	1( $42,6 >, 29,3 \leq$ )	2( $13,5, 9,0 \leq$ )
Anomalia clase C	6( $40 >, 20 \geq$ )	30( $0,8 >, 0,4 \leq$ )	20( $1131,9 >, 521,1 \leq$ )	17( $29,3 >, 20,2 \leq$ )	13( $9,0 >, 4,5 \leq$ )

Tab.27

## B地区地化学探査統計処理値及び異常区分

## Valores estadísticos

Elementos	Au (ppb)	Ag (ppm)	Cu (ppm)	As (ppm)	Mo (ppm)
Valor maximo	940	870	1200	330	26
Valor minimo	< 20	0,1	> 1	5	< 1
Valor promedio	$1/2 \times < 20$	1~2	6,177	19,507	1~2
Desviacion estandar	—	—	0,3369	0,1620	—
Limite de background	< 20	5	29,879	38,335	3,5

## Clasificacion de anomalia

Elementos	Au	Ag	Cu	As	Mo
Anomalia clase A	6 ( $\geq 60$ )	20 ( $\geq 15$ )	2 ( $\geq 699$ )	2 ( $\geq 148,1$ )	14 ( $\geq 10,5$ )
Anomalia clase B	4(60>, 40 $\leq$ )	3(15>, 10 $\geq$ )	—(699>, 144,5 $\leq$ )	1(148,1>, 75,3 $\leq$ )	1(10,5>, 7,0 $\leq$ )
Anomalia clase C	2(40>, 20 $\geq$ )	7(10>, 5 $\leq$ )	38(144,5>, 29,9 $\leq$ )	16(75,3>, 38,3 $\leq$ )	5(7,0>, 3,5 $\leq$ )

Tab. 28

鉍石分析結果一覽表

Area	Muestra N°	Au	Ag	Mo	Cu	Pb	Zn	As
		ppb	ppm	ppm	ppm	ppm	ppm	ppm
01	AP-01	<20	0.2	3	8	33	10	85
	AP-02	<20	0.2	2	12	8	12	71
	AP-04	<20	0.2	2	10	21	12	92
	CPN-03	<20	0.3	5	12	31	13	284
	CPN-05	<20	0.3	3	6	13	10	30
	CPN-06	<20	0.3	3	8	10	12	16
	CPN-07	<20	0.4	4	13	4	13	18
	CPN-09	<20	0.3	5	9	7	12	20
	CPN-10	<20	0.3	3	15	39	24	26
	CPN-11	<20	0.2	16	14	47	17	32
	CPN-12	<20	0.3	4	4	10	23	23
	HK-08	<20	0.3	3	70	11	7	600
	TM-11	<20	<0.1	<1	2	5	9	29
	YF-03	<20	0.1	5	1	3	2	13
YF-05	<20	0.3	2	10	8	2	77	
02	TM-08	1.9ppm	32	11	0.23	7.75%	3.13%	280
	TM-19	60	0.3	28	2.58	1.24%	240	390
	TM-23	280	41	21	0.53	0.29%	0.18%	18
	TM-24	20	3.6	35	2.93%	0.14%	0.21%	93
	TM-25	80	8.4	10	0.14%	7.19%	0.22	400
	TM-28	180	5.9	28	2.8%	0.57%	0.18%	>0.1%
	YF-01	2.6ppm	240	23	2.47%	0.14%	325	>0.1%
	YF-02	860	9.3	10	3.00%	762	260	210
	YF-05	3.5ppm	19	5	1.01%	0.33%	0.20%	170
	YF-06	400	305	3	12.00%	1.25	40	21
YF-07	160	335	3	0.82%	1.72%	110	39	
YF-08	20	8.2	3	1.54%	0.14%	550	21	
03	HK-05	240	8.5	142	79	0.57%	0.13%	52
	YF-01	160	2.0	590	291	0.35%	276	140
	YF-03	460	20	2	740	6.64%	625	200
	YF-05	10ppm	37	4	2.24%	2.07%	0.30%	450
	YF-06	3.7ppm	195	3	1.03%	2.32%	0.42%	0.10%
	YF-07	1.3ppm	11	4	0.52%	0.34%	0.57%	97
	YF-08	3.1ppm	34	1	0.13%	0.47%	0.19%	340
	YF-13	20	0.2	6	30	76	11	41
	YF-18	<20	1.4	15	20	52	136	138
04	CR-01	<20	0.1	3	61	9	81	16
	CR-02	20	0.2	2	244	7	8	29
	CR-03	<20	0.4	2	4	22	<2	54
	CR-04	<20	0.4	7	1	7	2	266
	CR-06	<20	0.3	2	1	7	<2	19
	CR-07	<20	0.4	9	1	2	2	14
	CR-08	<20	0.1	3	52	10	65	5
	CR-09	<20	1.0	4	4	7	3	39
	CR-10	<20	0.4	3	4	4	<2	84
	CR-11	<20	0.2	12	1	83	2	98
	CR-13	<20	0.1	6	27	17	3	111
	CR-16	<20	0.2	32	3	49	1	41
	CR-19	<20	0.2	3	2	30	6	83
	CR-20	<20	0.5	12	2	154	<2	75
CR-21	<20	0.1	<1	<1	4	<2	14	

Area	Muestra N°	Au	Ag	Mo	Cu	Pb	Zn	As
		ppb	ppm	ppm	ppm	ppm	ppm	ppm
04	CR-23	<20	0.1	1	21	12	53	14
	HK-20	<20	0.2	3	12	28	3	30
	SD-01	<20	0.9	5	2	19	6	24
	SD-02	<20	0.7	9	16	10	10	16
	SD-03	<20	0.7	8	30	28	10	14
	SD-04	<20	0.1	1	30	7	65	19
	SD-05	<20	0.4	4	11	32	<1	480
	SD-06	<20	0.3	8	7	3	<1	137
	SD-07	<20	0.4	9	39	4	3	117
	SD-08	<20	0.3	1	37	6	14	39
	SD-09	<20	0.4	1	3	4	<1	79
	SD-10	20	0.5	13	4	57	<1	39
	SD-11	<20	0.2	4	21	5	1	22
	SD-12	<20	0.1	1	<1	3	<1	<5
SD-13	<20	0.3	12	18	15	<1	34	
05	HK-24	<20	>500	<1	159	0.08%	0.50%	42
	HK-26	<20	~480	1	57	0.09%	0.18%	39
	HK-27	<20	168	<1	33	875	0.23%	22
	HK-28	<20	59	1	14	408	333	37
	HK-29	<20	39	<1	32	885	660	190
	HK-30	<20	9.2	1	12	649	550	67
	HK-31	80	>500	3	179	3.90%	0.22%	63
	HK-32	<20	>500	5	71	3.86%	0.11%	78
	SD-14	<20	0.2	110	6	23	115	82
	SD-16	<20	4.9	13	20	539	280	600
	SD-18	<20	0.9	2	18	21	87	31
	TH-13	<20	0.3	<1	14	4	9	18
	TH-19	<20	0.7	153	16	37	480	270
	TH-23	<20	0.2	125	<2	<2	284	91
YF-09	<20	0.3	<1	<2	8	9	20	
YF-11	<20	0.8	<1	<2	21	102	67	
06	HK-07	<20	1.0	28	3	89	20	95
	HK-08	<20	0.2	3	3	26	104	13
	HK-10	<20	0.3	1	3	3	6	10
	HK-11	<20	2.8	32	516	10	140	190
	HK-12	<20	0.3	1	19	7	22	12
	HK-13	<20	0.4	2	29	4	21	17
	HK-14	<20	6.1	7	444	870	840	120
	HK-15	<20	25	2	1.00%	180	37	52
	HO-15	<20	4.5	7	6	188	120	19
	YF-08	20	0.6	7	5	53	100	52
	YF-10	<20	0.8	3	26	42	83	21
	YF-12	20	8.2	1	1.50%	668	40	88
	YF-13	<20	0.3	<1	10	38	66	20
	YF-14	<20	0.7	<1	12	245	260	34
	YF-16	<20	0.5	<1	44	29	39	12
	TH-04	<20	0.5	1	70	20	11	22
	TH-05	<20	2.7	1	844	278	320	92
	TH-06	<20	1.5	1	238	261	322	53

Area	Muestra N°	Au	Ag	Mo	Cu	Pb	Zn	As
		ppb	ppm	ppm	ppm	ppm	ppm	ppm
06	TM-15	<20	3.3	2	0.44%	35	0.13%	87
	TM-16	<20	0.8	<1	182	6	14	34
	TM-21	<20	0.3	1	62	15	10	27
	TM-25	<20	0.4	1	4	131	22	24
	TM-26	<20	0.2	1	4	7	15	16
	TM-27	<20	5.5	4	26	0.69%	0.48%	15
	TM-29	700	39	2	0.20%	0.1%	0.16%	800
	TM-30	20	57	3	0.61%	0.1%	0.91%	480
07	CR-01	<20	<0.1	3	<2	3	2	124
	CR-04	<20	<0.1	4	<2	9	3	38
	CR-05	<20	<0.1	2	<2	17	61	40
	CR-06	<20	0.1	1	3	12	35	42
	CR-07	<20	0.1	3	9	6	2	38
	CR-09	<20	0.1	22	5	7	2	145
	CR-10	<20	0.3	2	2	6	<2	21
	CR-11	<20	0.1	3	5	4	5	13
	CR-12	<20	0.2	4	19	3	5	27
	CR-13	<20	0.3	3	12	2	3	58
	CR-14	<20	0.2	1	2	4	3	15
	CR-15	<20	0.1	3	3	32	2	54
	CR-16	<20	0.2	3	7	29	4	22
	CR-17	<20	0.2	6	9	168	3	35
	CR-18	<20	0.2	7	<2	3	2	9
	CR-19	<20	0.2	3	45	11	49	6
	CR-20	<20	0.1	2	1	4	2	16
	HK-05	<20	0.4	7	9	115	6	45
	HK-06	<20	0.5	5	18	239	17	140
	HK-07	<20	0.3	2	3	45	2	22
	HK-08	80	0.4	6	10	73	9	35
	HO-09	<20	0.7	3	7	17	5	73
	HO-11	<20	0.3	2	6	18	4	19
	TH-05	<20	0.8	1	6	18	5	13
TH-07	<20	0.3	35	2	22	2	63	
YF-03	<20	0.4	3	38	770	3	70	
YF-13	<20	0.2	5	35	12	2	69	
08	YF-03	360	97	2	111	>0.1%	0.95%	25
09	HK-03	<20	0.3	<1	45	5	37	340
	TH-02	<20	0.5	1	34	13	67	68
	TH-21	<20	2.0	11	4	14	8	25
	TH-25	<20	0.5	9	5	9	2	51
	TH-26	<20	0.2	2	8	9	2	6
	YF-01	240	3.3	140	4	11	9	40
	YF-03	<20	0.3	1	2	9	57	6
	YF-06	40	0.5	<1	6	7	11	29
	YF-13	<20	0.4	3	8	20	47	14
	YF-17	540	14	124	2	19	2	9
	YF-20	80	0.8	18	2	4	4	10
	YF-21	<20	0.2	2	16	15	17	11
	YF-23	<20	0.3	1	3	2	6	18
	YF-24	<20	0.4	2	11	5	16	24

Area	Muestra N°	Au	Ag	Mo	Cu	Pb	Zn	As
		ppb	ppm	ppm	ppm	ppm	ppm	ppm
10	FK-07	20	<0.1	10	652	75	91	370
	HK-11	20	98	4	9.50%	<2	49	10
11	FK-15	580	12	98	352	7	19	240
	FK-17	63ppm	10	97	438	29	161	>0.1%
	ST-20	<20	0.4	<1	2	40%	4	5
	ST-22	180	2.1	8	153	52	11	5
	ST-23	1.9ppm	8.2	14	412	24	9	14
	ST-24	1.9ppm	1.7	21	450	13	6	6
	ST-25	4.3	3.3	13	214	24	12	6
	ST-25	4.3ppm	3.3	13	214	25	12	6
	ST-26	980	2.9	13	0.15%	16	20	17
	ST-26	980	2.9	13	344%	24	6	16
	ST-27	8.0ppm	8.6	34	0.15%	16	20	17
	ST-28	1.0ppm	5.1	5	0.51%	30	420	63
	ST-29	540	1.6	4	0.19	90	201	48
ST-30	1.0ppm	4.0	8	0.93	11	302	25	
12	HK-08	2.0	3.2	6	45	39	6	15
	HK-09		7.8	17	88	905	203	40
	FK-28	120	3.9	23	440	56	18	500
13	FK-42	1.1ppm	3.3	2	66	5	6	13
	FK-43	7.0ppm	6.5	6	830	11	28	31
	FK-44	2.4ppm	1.0	6	145	181	35	>0.1%
	FK-45	100ppm	6.5	11	452	268	48	>0.1%
	FK-46	60	1.2	81	0.32	76	248	0.10
	HK-02	18ppm	7.2	28	930	265	153	>0.1%
	ST-46	60	1.2	81	0.32	76	248	0.10%
14	FK-140	20	<0.1	5	481	<2	5	13
	FK-141	440	0.5	18	880	<2	22	133
	HK-01	1.4ppm	29	121	0.34%	0.17%	280	600
	HK-05	240	<0.1	67	2.03%	<2	11	129
	HK-06	20	0.9	31	1.81%	2	33	144
	HK-08	2.1ppm	1.4	21	8.50%	2	259	102
	HK-09	1.8ppm	0.9	39	3.68%	6	320	800
	HK-13	3.2ppm	8.5	230	3.60%	0.35%	105	174
	HK-14	10ppm	10	~30%	39	<2	21	8
	ST-132	1.1ppm	1.0	12	4.00%	6	5	26
	ST-134	1.4ppm	3.6	93	9.71%	27	39	148
	TH-03	100	<0.1	14	0.35%	<2	10	19
	TH-05	<20	0.1	15	65	3	40	34
	TH-06	20	<0.1	24	0.40%	<2	41	13
	TH-07	100	<0.1	13	0.99%	2	157	174
	TH-10	1.7ppm	2.0	14	0.65%	<2	17	39
	YF-03	90	<0.1	3	1.53%	2	30	33
	YF-05	200	2.9	~330	1.14%	20	102	138
	YF-08	1.4ppm	<0.1	~340	0.59%	70	25	120
	YF-09	120	1.5	163	0.25%	10	138	83
	YF-11	16ppm	6.9	85	0.32%	51	170	460
	YF-15	140	107	133	11.25%	9	189	700
	YF-17	360	<0.1	13	1.93%	<2	7	33
YF-18	40	<0.1	11	1.55%	<2	13	24	
15	FK-143	1.6ppm	8.7	5	~11%	21	27	6

Area	Muestra N°	Au	Ag	Mo	Cu	Pb	Zn	As
		ppb	ppm	ppm	ppm	ppm	ppm	ppm
15	FK-144	180	1.0	31	690	<2	7	22
	FK-145	60	0.2	3	47	3	9	9
	HK-01	600	1.7	7	1.28%	19	38	200
	ST-137	120	4.4	5	1.40%	35	338	18
	ST-138	740	2.2	2	3.70%	12	84	13
	ST-139	340	5.0	4	2.01%	242	337	22
	ST-140	340	21	18	2.00%	490	166	117
	YF-03	360	97	1	111	20.50%	0.95	25
16	TH-03	<20	0.3	6	30	<2	3	13
	TH-07	<20	0.1	1	87	6	21	9
	TH-13	<20	4.9	2	47	12	22	154
17	MK-06	8.4ppm	4.8	220	1.59%	11	63	>0.1%
	ST-120	8.4ppm	3.5	12	0.77%	5	12	94
	ST-121	260	0.3	1	22	2	4	22
	ST-122	6.8ppm	0.6	7	192	2	5	65
	ST-128	760	4.3	7	0.20%	24	118	92
18	FK-112	340	7.0	6	1.08%	3	16	440
	MK-07	<20	21	<1	1.86%	72%	6	7
	MK-08	20	0.1	3	1.43%	<2	7	11
	ST-88	<20	0.1	2	12	<2	3	21
	ST-91	80	<0.1	7	0.25%	<2	5	44
	ST-92	60	2.6	2	1.39%	41	58	>0.1%
19	MK-02	40	11	1	5.38	80	6	8
	MK-13	<20	13	3	4.15%	580	93	6
	YF-01	<20	14	2	3.58	3	42	5
	YF-03	<20	17	1	2.40%	<2	31	5
20	FK-156	14ppm	1.5	18	3.33%	2	15	20
	HK-07	600	1.7	13	1.90%	5	86	94
	MK-04	17ppm	4.9	20	6.00%	2	30	25
	MK-05	33ppm	5.4	34	0.31%	7	24	48
	MK-09	1.9ppm	<0.1	1	4.05%	<2	6	8
	MK-10	180	3.4	<1	308	2	6	6
	YF-04	80	29	2	890	290	145	>0.1%
	YF-06	<20	~200	10	0.46%	0.29%	0.19%	>0.1%
	YF-13	2.5ppm	0.1	13	0.52%	11	10	27
	YF-16	320	6.6	17	1.32%	500	283	>0.1%

Area	Muestra N°	Au	Ag	Mo	Cu	Pb	Zn	As
		ppb	ppm	ppm	ppm	ppm	ppm	ppm
A	FK-105	180	4.1	21	3.23%	825	450	13
	LC-21	3.3ppm	8.0	21	5.70%	22	210	56
	NK-03	220	0.7	18	0.34%	600	96	23
	NK-05	<20	0.1	<1	25	20	50	<5
	NK-06	460	4.2	66	3.88%	0.1%	850	190
	NK-07	3.0ppm	1.0	2	1.25%	38	52	27
	NK-17	1.1ppm	3.6	10	8.28%	3	20	28
	NK-18	500	2.8	11	2.00%	10	26	33
B	AP-23A	40	60	2	24	100	230	53
	AP-23B	380	86	2	36	188	360	30
	AP-50	80	7.1	1	22	470	970	66
	AP-54A	<20	125	2	97	190	130	69
	AP-54B	20	36	2	14	56	177	60
	AP-62	460	110	1	77	910	790	50
	AP-63	40	5.4	<1	10	128	96	23
	AP-65	20	2.1	<1	11	11	101	39
	AP-75	480	120	1	81	280	157	29
	CP-04	540	155	1	59	900	750	40
	CP-05	18ppm	>500	3	520	0.54%	0.73%	150
	CP-09	780	265	1	106	920	0.10%	42
	CP-12	360	255	1	81	720	0.76%	49
	CP-14	80	8.8	<1	11	62	98	21
	CP-103	<20	10	<1	28	200	343	13
	CR-15	<20	0.3	<1	14	8	70	14
	CR-16	<20	3.0	<1	<1	27	110	55
	CR-17	<20	0.4	1	59	14	71	18
	CR-18	<20	0.5	<1	37	12	80	14
	CR-22	<20	4.2	<1	3	94	76	12
	CR-21	<20	3.2	<1	58	8	78	13
	SD-14	60	1.0	4	46	840	430	75
	SD-16	20	2.1	3	18	40	80	31
	TH-03	<20	12	24	11	194	816	17
	TH-19	<20	4.6	1	2	11	27	16
	TH-108	3.5ppm	>500	1	340	34.80%	0.11%	16
	YF-01	120	~240	1	753	0.21%	0.24%	130
	YF-03	200	79	<1	97	255	225	23
	YF-05	880	>500	<1	205	5.72%	0.21%	64
	YF-06	180	128	<1	620	1.41%	0.18%	33
	YF-07	1.5ppm	>500	<1	0.13%	2.37%	1.59%	108
	YF-08	60	64	<1	1.02	390	690	44

Tab. 29 地化学探査分析結果一覽表

Area	Muestra N°	Au (ppb)	Ag (ppm)	Mo (ppm)	Cu (ppm)	As (ppm)	Area	Muestra N°	Au (ppb)	Ag (ppm)	Mo (ppm)	Cu (ppm)	As (ppm)		
01	H001	1	-20	0.1	2	25	51	01	TH11	1	-20	0.2	-1	31	14
	H002	1	-20	0.1	4	22	52		TH12	1	-20	0.1	2	41	17
	H003	1	-20	0.1	4	18	63		TH13	1	-20	0.1	1	33	18
	H004	1	-20	0.1	5	29	44		TH14	1	-20	0.1	1	28	16
	H005	1	-20	0.1	6	28	41		TH15	1	-20	0.1	-1	31	11
	H006	1	-20	0.1	5	43	44		YF01	3	-20	0.3	2	16	23
	H007	1	-20	0.1	6	40	50		YF02	3	-20	0.4	7	118	45
	H008	1	-20	0.2	5	48	50		YF03	3	-20	0.3	4	10	21
	H009	1	-20	0.1	8	52	62		YF04	3	-20	0.1	5	7	17
	H010	1	-20	0.1	6	45	45		YF05	3	-20	0.4	65	10	35
	H011	1	-20	0.1	6	49	50		YF06	3	-20	0.3	8	11	51
	H012	1	-20	0.1	8	41	59		YF07	3	-20	0.2	7	21	36
	H013	1	-20	0.1	8	41	61		YF08	3	-20	0.2	5	9	330
	H014	1	-20	0.1	6	36	55		YF09	3	-20	0.2	2	20	147
	H015	1	-20	0.1	9	35	66		YF10	3	-20	0.3	25	15	48
	H016	1	-20	0.1	6	41	53		YF11	3	-20	0.1	11	8	37
	H017	1	-20	0.1	6	28	62		YF12	3	-20	0.2	3	58	35
	H018	1	-20	0.1	5	33	61		YF13	3	-20	0.2	5	22	60
	H019	1	-20	0.1	5	33	60		YF14	3	-20	0.1	8	7	27
	H020	1	-20	0.1	4	36	52		YF15	3	-20	0.2	15	12	39
	H021	1	-20	0.1	6	33	59		YF16	3	-20	0.3	3	8	59
	H022	1	-20	0.3	7	25	47		YF17	3	-20	0.1	4	8	23
	H023	1	-20	0.2	9	31	44		HK01	3	-20	0.1	12	7	49
	H024	1	-20	0.3	6	30	39		HK02	3	-20	0.1	4	6	45
	H025	1	-20	0.3	6	25	48		HK03	1	-20	0.1	4	52	39
	H026	1	-20	0.3	4	38	47		HK04	1	-20	0.1	4	61	41
	H027	1	-20	0.2	5	32	46		HK05	1	-20	0.1	5	51	39
	H028	1	-20	0.1	3	28	37		HK06	1	-20	0.1	3	83	55
	H029	1	-20	0.1	3	26	36		HK13	1	-20	0.1	10	41	49
	H030	1	-20	0.1	3	29	38		HK14	1	-20	0.4	8	35	44
	H031	1	-20	0.1	4	25	31		HK15	1	-20	0.1	10	28	37
	H032	1	-20	0.1	3	20	25		HK16	1	-20	0.2	4	21	47
	H033	1	-20	0.1	3	22	27		SD01	3	-20	0.6	8	6	23
	H034	1	-20	0.1	4	26	29		SD02	3	-20	0.6	8	1	9
	H035	1	-20	0.1	4	23	25		SD03	3	-20	0.2	26	16	52
	H036	1	-20	0.1	3	19	27		SD04	3	-20	0.7	7	24	21
	H037	1	-20	0.8	3	23	25		SD05	3	-20	0.8	12	6	29
	H038	1	-20	0.1	3	26	27		SD06	3	-20	0.6	4	2	6
	H039	1	-20	0.1	5	25	30		SD07	3	-20	0.6	6	6	29
	H040	1	-20	0.2	4	18	18		SD08	3	-20	0.9	6	3	14
H041	1	-20	0.1	4	22	23	SD09	3	-20	0.2	5	4	11		
H042	1	-20	0.2	4	23	23	H001	1	-20	0.2	-1	58	31		
H043	1	-20	0.2	5	45	34	H002	1	-20	0.2	1	48	31		
H044	1	-20	0.2	5	34	32	H005	1	-20	0.2	2	33	32		
H045	1	-20	0.3	5	40	30	H006	1	-20	0.2	3	41	30		
H046	1	-20	0.1	4	41	38	H007	1	-20	0.2	2	26	21		
H047	1	-20	0.2	5	45	35	H010	1	-20	0.1	2	30	35		
H048	1	-20	0.1	6	38	46	H011	1	-20	0.2	2	34	33		
H049	1	-20	0.4	5	40	86	H015	1	-20	0.2	2	36	42		
H050	1	-20	0.2	5	37	66	H016	1	-20	0.2	2	40	37		
H051	1	-20	0.1	6	35	84	H019	1	-20	0.2	1	31	30		
H052	1	-20	0.2	7	35	70	H020	1	-20	0.4	1	24	22		
H053	1	-20	0.1	9	30	48	H021	1	-20	1.0	2	153	30		
H054	1	-20	0.1	7	30	33	H022	1	-20	0.3	3	36	45		
H055	1	-20	0.1	6	33	45	H023	1	-20	0.4	2	30	41		
H056	1	-20	0.1	7	33	59	H024	1	-20	0.2	2	27	35		
H057	1	-20	0.1	3	40	51	H025	1	-20	0.3	3	30	47		
H058	1	-20	0.1	4	38	49	H026	1	-20	0.3	3	30	58		
H059	1	-20	0.3	5	35	45	H027	1	-20	0.4	3	26	40		
H060	1	-20	0.3	1	21	45	H028	1	-20	0.3	2	24	31		
TH01	1	-20	0.2	2	27	18	H029	1	-20	0.3	2	22	31		
TH02	1	-20	0.2	2	27	20	H030	1	-20	0.2	2	26	42		
TH03	1	-20	0.1	3	38	24	H031	1	-20	0.3	1	29	32		
TH04	1	-20	0.3	2	29	19	H032	1	-20	0.3	1	24	23		
TH05	1	-20	0.1	3	33	21	TH01	1	-20	0.3	2	45	37		
TH06	1	-20	0.1	2	30	22	TH02	1	-20	0.3	3	42	39		
TH07	1	-20	0.3	1	32	17	TH03	1	-20	0.3	2	30	31		
TH08	1	-20	0.3	2	39	26	TH04	1	-20	0.3	2	32	32		
TH09	1	-20	0.3	1	31	16	TH05	1	-20	0.3	2	35	31		
TH10	1	-20	0.1	1	33	21	TH06	1	-20	0.2	1	26	26		

• 1; Sedimentos de Corriente 2; Suelo 3; Roca

Area	Muestra N°	Au (ppb)	Ag (ppm)	Mo (ppm)	Cu (ppm)	As (ppm)	
02	TH07	1	-20	0.3	1	23	24
	TH08	1	-20	0.3	1	25	24
	TH09	1	-20	0.2	1	20	24
	TH10	1	-20	0.3	1	21	25
	TH11	1	-20	0.2	3	36	33
	TH12	1	-20	0.4	2	33	30
	TH13	1	-20	0.4	2	42	31
	TH14	1	-20	0.3	3	30	38
	TH15	1	-20	0.3	3	33	26
	TH16	1	-20	0.4	1	44	24
	TH17	1	-20	0.3	2	62	28
	TH18	1	-20	0.3	1	21	42
	TH19	1	-20	0.2	1	37	46
	TH20	1	-20	0.4	1	49	43
	TH21	1	-20	0.4	1	35	31
	TH22	1	-20	0.3	2	25	43
	TH23	1	-20	0.3	2	39	37
	TH24	1	-20	0.4	1	34	46
	TH25	1	-20	0.2	1	37	54
	YF01	1	-20	0.5	1	115	37
	YF02	3	-20	0.3	-1	28	32
	YF03	1	-20	0.3	-1	17	38
	YF04	3	-20	0.4	-1	42	17
	YF05	3	-20	0.6	-1	116	23
	YF06	1	-20	0.4	2	44	41
	YF07	1	-20	0.4	2	28	24
	YF08	1	-20	0.6	2	66	37
	YF09	1	-20	0.3	2	39	32
	YF10	3	-20	0.5	-1	8	20
	YF11	1	-20	0.3	3	33	42
	YF12	1	-20	0.3	1	25	28
	YF13	1	-20	0.3	2	31	38
	YF14	1	-20	0.2	2	32	33
	YF15	1	-20	0.3	1	26	37
	YF16	1	-20	0.2	2	26	32
YF17	1	-20	0.3	2	33	32	
YF18	1	-20	0.4	1	34	27	
YF19	1	-20	0.3	2	29	50	
YF20	1	-20	0.4	3	31	51	
HK01	1	-20	0.5	2	134	39	
HK02	1	-20	0.3	2	83	35	
HK03	1	-20	0.2	3	40	33	
HK04	1	-20	0.4	3	59	44	
HK05	1	-20	0.4	3	73	44	
HK06	1	-20	0.3	2	35	36	
HK07	1	-20	0.3	2	35	30	
HK08	1	-20	0.3	3	37	33	
HK09	1	-20	0.3	2	19	30	
HK10	1	-20	0.3	2	21	33	
HK11	3	-20	0.2	1	7	18	
HK12	3	-20	0.2	-1	2	26	
HK13	3	-20	0.1	-1	3	23	
HK14	1	-20	0.2	1	47	40	
HK15	1	-20	0.2	2	29	35	
HK16	1	-20	0.3	2	37	31	
HK17	1	-20	0.2	2	28	32	
HK18	1	-20	0.2	2	26	28	
HK19	1	-20	0.2	2	25	34	
HK20	1	-20	0.3	2	30	22	
HK21	1	-20	0.2	2	23	37	
HK22	1	-20	0.3	2	33	29	
HK23	1	-20	0.2	1	13	28	
HK24	3	-20	0.1	-1	3	45	
HK25	1	-20	0.4	2	81	34	
HK26	1	-20	0.2	2	57	34	
HK27	1	-20	0.2	1	41	50	
HK28	1	-20	0.1	3	33	31	
HK29	1	-20	0.1	3	37	31	
HK30	1	-20	0.1	3	40	29	
HK31	1	-20	0.1	3	30	28	

Area	Muestra N°	Au (ppb)	Ag (ppm)	Mo (ppm)	Cu (ppm)	As (ppm)	
02	HK32	1	-20	0.1	2	36	35
	HK33	1	-20	0.1	2	30	29
	HK34	1	-20	0.1	-1	27	26
03	CR01	1	-20	0.5	3	32	33
	CR02	1	-20	0.3	3	27	35
	CR03	1	-20	0.5	3	44	31
	CR04	1	-20	0.3	2	8	16
	CR05	1	-20	0.6	3	31	28
	CR07	1	-20	0.3	2	16	23
	CR08	1	-20	0.5	3	31	35
	CR09	1	-20	0.3	3	27	23
	CR10	1	-20	0.5	2	27	34
	CR11	1	-20	0.3	2	7	47
	CR12	1	-20	0.4	1	20	33
	CR13	1	-20	0.5	2	22	21
	CR14	1	-20	0.3	2	14	24
	CR15	1	-20	0.4	3	27	31
	CR16	1	-20	0.3	2	13	22
	CR17	3	-20	0.6	1	11	16
	CR18	1	80	0.6	6	40	21
	CR19	3	-20	0.2	1	52	43
	CR20	1	-20	0.4	1	19	35
	CR22	1	-20	0.3	4	31	29
	CR23	3	-20	0.3	-1	25	7
	CR24	1	-20	0.3	2	18	24
	CR25	1	-20	0.3	6	39	40
	CR26	1	-20	0.4	4	37	60
	CR27	3	-20	0.3	1	36	11
	CR28	1	-20	0.3	4	54	41
	CR29	1	-20	0.4	3	20	51
	CR30	1	-20	0.4	2	20	51
	CR31	3	-20	0.3	1	10	36
	CR32	1	-20	0.3	2	12	60
	CR33	1	-20	0.3	2	30	53
	CR34	1	-20	0.4	3	24	41
	CR35	3	-20	0.3	-1	28	55
	CR36	1	-20	0.2	1	8	46
	CR37	1	-20	0.2	3	22	38
CR38	1	-20	0.6	3	24	30	
CR39	1	-20	0.1	1	10	23	
CR40	1	-20	0.1	3	27	38	
CR41	1	-20	0.5	4	33	37	
CR42	1	-20	0.1	5	42	48	
CR43	3	-20	0.5	1	238	42	
CR44	1	-20	0.1	2	18	41	
CR45	1	-20	0.1	2	16	45	
CR46	1	-20	0.3	2	15	61	
CR47	1	-20	0.2	2	15	69	
CR48	1	-20	0.1	1	14	48	
CR49	1	-20	0.1	1	49	52	
CR50	3	-20	0.1	2	31	9	
CR51	3	-20	0.2	2	27	8	
CR52	3	-20	0.6	2	-1	46	
CR53	3	-20	0.4	1	12	23	
CR54	3	-20	1.0	1	4	22	
CR55	3	-20	0.4	2	6	18	
CR56	3	-20	0.1	1	20	11	
CR57	1	-20	0.2	3	21	28	
CR58	1	-20	0.3	2	10	19	
CR59	1	-20	0.1	4	6	19	
CR60	1	-20	0.1	2	9	18	
CR61	3	-20	0.2	1	-1	8	
CR62	3	-20	0.1	1	1	8	
CR63	3	-20	0.1	1	31	27	
CR64	3	-20	0.1	-1	1	10	
CR65	3	20	0.3	2	4	11	
CR67	3	-20	0.1	2	19	9	
CR68	3	-20	0.4	3	41	-5	
CR69	1	-20	1.3	6	180	38	
CR70	3	-20	0.4	2	6	17	

• 1; Sedimentos de Corriente    2; Suelo    3; Roca

Area	Muestra N°	*	Au (ppb)	Ag (ppm)	Mo (ppm)	Cu (ppm)	As (ppm)	Area	Muestra N°	*	Au (ppb)	Ag (ppm)	Mo (ppm)	Cu (ppm)	As (ppm)
03	CR71	1	-20	0.3	5	33	30	04	H032	1	-20	0.2	5	58	52
	CR73	1	-20	0.3	5	25	28		H034	1	-20	0.3	4	56	49
	CR75	1	-20	0.4	6	62	37		H036	1	-20	0.3	3	60	55
	CR82	1	60	1.4	13	210	60		H037	1	-20	0.3	2	58	82
	CR83	1	-20	0.6	5	63	38		H039	1	-20	0.4	3	44	59
	CR84	1	-20	0.7	10	42	38		H040	1	-20	0.4	1	73	52
	CR85	1	-20	0.3	5	53	31		H041	1	-20	0.3	2	77	93
	CR88	3	-20	1.3	3	12	38		H043	1	-20	0.6	3	57	75
	CR89	3	40	0.2	1	74	18		H045	1	-20	0.5	1	77	84
	CR90	3	-20	0.7	2	41	11		H046	1	-20	0.4	2	68	75
	CR91	3	-20	0.2	1	40	7		H050	1	-20	0.4	2	110	111
	CR92	3	-20	0.2	2	10	24		H051	1	-20	0.5	3	31	66
	CR95	3	-20	0.5	2	1	15		H052	1	-20	0.5	2	83	81
	CR98	3	-20	0.1	3	-2	10		H053	1	-20	0.4	6	67	88
	CR100	3	-20	0.1	1	17	28		H054	1	-20	0.4	3	110	81
	CR101	3	-20	0.4	2	6	26		H055	1	-20	0.4	4	140	77
	CR103	3	-20	0.2	1	27	30		H056	1	-20	0.4	4	141	82
	FF01	3	-20	0.2	4	9	35		H058	1	-20	0.4	3	227	125
	FF03	3	-20	0.2	1	58	75		H059	1	-20	0.5	7	152	91
	FF04	3	-20	0.2	1	10	17		H060	1	-20	0.4	10	211	67
	FF05	3	-20	0.1	1	7	12		H061	1	-20	0.4	4	286	75
	FF06	3	-20	0.1	4	-2	10		H062	1	-20	0.4	2	178	49
	FF07	3	-20	0.2	1	55	26		H063	1	-20	0.5	2	97	109
	FF08	3	-20	0.3	2	90	17		H064	1	-20	0.3	8	81	59
	FF09	3	-20	0.1	1	13	23		H065	1	-20	0.3	5	79	58
	FF10	3	-20	0.2	1	10	12		H066	1	-20	0.3	3	41	46
	FF11	3	-20	0.2	2	341	15		H067	1	-20	0.6	3	37	59
	FF12	3	-20	0.2	1	40	11		H068	1	-20	0.4	2	54	103
	FF14	3	-20	0.1	3	34	-5		H069	1	-20	0.5	1	43	68
	HK02	3	-20	6.5	-1	4	14		H070	1	-20	0.3	2	42	61
	HK03	3	-20	0.4	-1	5	32		H071	1	-20	0.3	4	65	60
	HK04	3	-20	0.3	1	15	65		H072	1	-20	0.4	5	59	48
	YF16	3	-20	0.7	1	4	11		H073	1	-20	0.3	6	58	65
YF17	3	-20	0.2	1	11	43	H074	1	-20	0.3	4	59	68		
TH02	3	-20	0.3	3	11	48	H075	1	-20	0.1	4	46	56		
TH31	3	-20	0.3	10	55	67	H076	1	-20	0.2	5	76	54		
TH35	3	-20	0.5	29	6	39	H077	1	-20	0.4	2	80	42		
YF12	3	-20	0.5	2	3	33	H078	1	-20	0.4	4	97	62		
YF16	3	-20	0.5	3	6	37	H079	1	-20	0.3	5	60	84		
YF32	3	-20	0.5	2	163	100	H080	1	-20	0.3	3	57	81		
YF35	3	-20	0.5	8	317	1000	H081	1	-20	0.6	7	61	74		
YF37	3	-20	0.8	16	4	180	H082	1	-20	0.5	7	70	63		
YF42	3	-20	0.3	2	112	96	H083	1	-20	0.5	11	71	42		
HK01	3	-20	0.3	-1	1	8	H084	1	-20	0.4	6	69	53		
HK13	3	-20	0.6	2	11	49	H085	1	-20	0.3	5	90	70		
HK19	3	-20	0.3	1	14	23	H086	1	-20	0.4	7	49	70		
HK23	3	-20	0.5	4	23	24	H087	1	-20	0.5	7	48	93		
HO01	1	-20	0.2	12	96	87	H088	1	-20	0.7	5	39	140		
HO02	1	-20	0.3	12	68	91	H089	1	-20	0.3	3	40	102		
HO03	1	-20	0.7	10	68	102	H090	1	-20	0.3	4	26	120		
HO04	1	-20	0.5	18	70	220	H091	1	-20	0.5	5	49	76		
HO06	1	-20	0.4	9	66	61	H092	1	-20	0.2	5	57	130		
HO07	1	-20	0.4	9	74	71	H093	1	-20	0.3	4	46	102		
HO08	1	-20	0.4	8	73	57	H094	1	-20	0.3	4	102	85		
HO09	1	-20	0.6	17	81	144	H095	1	-20	0.5	5	52	80		
HO10	1	-20	0.5	16	53	108	H096	1	-20	0.5	6	25	76		
HO11	1	-20	0.6	15	63	104	H097	1	-20	0.6	9	40	130		
HO12	1	-20	0.4	5	59	60	H098	1	-20	0.4	8	43	82		
HO13	1	-20	0.7	6	110	86	H099	1	-20	0.3	6	43	53		
HO14	1	-20	0.4	3	52	34	H0100	1	-20	0.3	6	42	48		
HO17	1	-20	0.5	2	59	35	H0101	1	-20	0.5	19	100	86		
HO18	1	-20	0.4	4	48	55	H0102	1	-20	0.5	17	95	81		
HO19	1	-20	0.3	8	55	70	H0103	1	-20	0.5	13	112	75		
HO20	1	-20	0.3	9	55	90	H0104	1	-20	0.4	10	60	54		
HO22	1	-20	0.5	11	62	75	H0105	1	-20	0.5	25	62	67		
HO28	1	-20	0.4	13	56	140	H0123	1	-20	0.2	4	37	23		
HO27	1	-20	0.5	13	77	160	H0124	1	-20	0.3	4	25	34		
HO29	1	-20	0.3	13	52	300	SD14	3	-20	0.3	2	257	50		
HO30	1	-20	0.4	7	55	75	SD15	3	-20	0.3	3	7	48		
HO31	1	-20	0.4	6	59	79	SD16	3	-20	0.5	2	3	51		

\* 1; Sedimentos de Corriente    2; Suelo    3; Roca

Area	Muestra N°	*	Au (ppb)	Ag (ppm)	Mo (ppm)	Cu (ppm)	As (ppm)	Area	Muestra N°	*	Au (ppb)	Ag (ppm)	Mo (ppm)	Cu (ppm)	As (ppm)
04	SD17	3	-20	0.3	1	870	76	05	TH19	1	-20	0.2	2	15	28
	SD18	3	-20	0.2	2	445	129		TH20	1	-20	0.3	2	12	31
	SD19	3	-20	0.4	2	56	62		TH21	1	-20	0.4	6	16	26
	SD20	3	-20	0.3	9	21	103		TH22	1	-20	0.5	3	18	18
	SD21	3	80	0.8	2	330	360		TH23	1	-20	0.3	7	18	42
	SD22	3	20	0.3	1	330	180		TH24	1	-20	0.4	4	15	36
	SD23	3	-20	0.3	1	135	220		TH25	1	-20	0.4	5	20	31
	SD24	3	-20	0.4	-1	60	180		TH26	1	-20	0.4	8	26	42
	SD25	3	-20	0.4	-1	31	200		TH27	1	-20	0.5	11	22	22
	SD26	3	-20	0.2	1	200	144		YF01	3	-20	1.5	3	6	48
	AP01	3	-20	0.1	-1	41	64		YF02	3	-20	0.2	2	2	7
	AP02	3	-20	0.1	1	147	87		YF03	3	-20	0.2	2	20	14
	AP03	3	-20	0.2	1	109	60		YF04	1	-20	0.6	3	30	70
	AP04	3	-20	0.3	2	196	45		YF05	3	-20	0.7	6	9	340
	AP05	3	-20	0.1	1	150	97		YF06	3	-20	0.4	2	14	600
	AP06	3	-20	0.2	-1	34	68		YF07	3	-20	0.1	1	5	19
	AP07	3	-20	0.3	2	70	51		YF08	3	-20	0.4	4	2	23
AP08	3	-20	0.2	1	117	85	YF09	1	-20	0.2	2	19	28		
AP09	3	-20	0.1	1	620	67	YF10	1	-20	0.2	4	15	33		
AP10	3	-20	0.3	2	100	29	YF11	1	-20	0.2	4	20	49		
AP11	3	-20	0.2	1	5	65	YF12	1	-20	0.3	2	11	38		
AP12	3	-20	0.2	-1	6	41	YF13	1	-20	0.3	3	16	35		
AP13	3	-20	0.2	-1	330	71	YF14	1	-20	0.2	4	12	25		
AP14	3	-20	0.9	-1	195	225	HK01	1	-20	0.2	4	18	24		
AP15	3	40	36.0	2	295	5900	HK02	1	-20	0.3	1	19	19		
AP16	3	-20	0.2	-1	36	29	HK03	1	-20	0.3	3	17	22		
05	HO01	1	-20	0.2	2	18	28	HK04	1	-20	0.2	4	19	19	
	HO02	1	-20	0.3	5	18	32	HK05	1	-20	0.1	3	19	29	
	HO03	1	-20	0.5	13	22	58	HK06	1	-20	0.1	3	20	21	
	HO04	1	-20	0.3	10	20	74	HK07	1	-20	0.3	3	15	33	
	HO05	1	-20	0.3	7	14	44	HK08	1	-20	0.2	2	12	23	
	HO06	1	-20	0.2	2	14	18	HK09	1	-20	0.2	4	19	38	
	HO07	1	-20	0.1	5	14	35	HK10	1	-20	0.2	3	15	25	
	HO08	1	-20	0.2	6	15	30	HK11	1	-20	0.2	5	22	19	
	HO09	1	-20	0.2	3	11	36	HK12	1	-20	0.2	3	13	28	
	HO10	1	-20	0.2	3	12	26	HK13	1	-20	0.2	5	21	29	
	HO11	1	-20	0.2	2	13	21	HK14	1	-20	0.1	3	9	23	
	HO12	1	-20	0.3	1	8	21	HK15	1	-20	-0.1	4	15	47	
	HO13	1	-20	0.3	1	8	20	HK16	1	-20	2.2	5	20	44	
	HO14	1	-20	0.2	1	15	20	SD01	3	-20	0.2	2	1	6	
	HO15	1	-20	0.2	2	15	24	SD02	3	-20	0.2	-1	16	8	
	HO16	1	-20	0.2	1	10	23	SD03	3	-20	0.1	-1	12	8	
	HO17	1	-20	0.2	2	11	26	SD04	3	-20	0.1	-1	1	14	
	HO18	1	-20	0.2	1	9	19	SD05	3	-20	0.2	-1	-1	8	
	HO19	1	-20	0.2	2	11	21	SD06	3	-20	0.1	-1	14	6	
	HO20	1	-20	0.2	2	11	28	SD07	3	-20	0.2	-1	1	26	
	HO21	1	-20	0.2	2	11	26	SD08	3	-20	0.2	-1	2	8	
	HO22	1	-20	0.3	2	11	24	SD09	3	-20	0.7	3	2	31	
	HO23	1	-20	0.2	1	11	20	SD10	3	-20	-0.1	-1	3	14	
	HO24	1	-20	0.3	1	10	26	SD11	3	-20	-0.1	-1	1	15	
	HO25	1	-20	0.2	3	19	34	SD12	3	-20	0.1	-1	2	10	
	HO26	1	-20	0.3	1	9	19	SD13	3	-20	0.2	-1	1	16	
TH01	1	-20	0.2	2	15	28	SD14	1	-20	0.2	1	13	17		
TH02	1	-20	0.3	1	8	22	SD15	1	-20	0.2	1	12	25		
TH03	1	-20	0.4	1	14	20	SD16	1	-20	0.3	-1	9	18		
TH04	1	-20	0.3	-1	6	14	SD17	1	-20	0.1	4	15	21		
TH05	1	-20	0.2	6	13	24	SD18	1	-20	0.2	4	21	54		
TH06	1	-20	0.3	2	14	22	SD19	1	-20	0.2	6	19	19		
TH07	1	-20	0.3	1	10	22	SD20	1	-20	1.3	2	14	30		
TH08	1	-20	0.3	2	13	23	06	HO01	1	-20	0.1	2	17	19	
TH09	1	-20	0.5	7	20	41		HO02	1	-20	0.2	1	10	15	
TH10	1	-20	0.4	7	22	26		HO03	1	-20	0.3	2	19	15	
TH11	1	-20	0.2	3	19	23		HO04	1	-20	0.2	3	14	19	
TH12	1	-20	0.4	2	15	26		HO05	1	-20	0.2	3	21	23	
TH13	1	-20	0.3	3	16	32		HO06	1	-20	0.2	2	17	23	
TH14	1	-20	0.2	2	18	22		HO07	1	-20	0.2	1	10	17	
TH15	1	-20	0.2	5	23	28		HO08	1	-20	0.2	2	12	18	
TH16	1	-20	0.4	2	15	28		HO09	1	-20	0.3	2	12	14	
TH17	1	-20	0.2	3	16	25		HO10	1	-20	0.2	1	10	13	
TH18	1	-20	0.2	2	13	37		HO11	1	-20	0.2	2	10	13	

\* 1; Sedimentos de Corriente    2; Suelo    3; Roca

Area	Muestra N°	*	Au (ppb)	Ag (ppm)	Mo (ppm)	Cu (ppm)	As (ppm)
06	HO12	1	-20	0.2	3	16	22
	HO13	1	-20	0.1	2	13	13
	HO14	1	-20	0.2	1	6	14
	HO15	1	-20	0.2	4	23	24
	HO16	1	-20	0.2	2	13	20
	HO17	1	-20	0.2	2	21	19
	HO18	1	-20	0.2	3	21	18
	HO19	1	-20	0.2	-1	8	16
	HO20	1	-20	0.2	2	13	22
	HO21	1	-20	0.4	1	15	18
	HO22	1	-20	0.2	1	12	18
	HO23	1	-20	0.2	1	9	12
	HO24	1	-20	0.2	1	8	14
	HO25	1	-20	0.2	1	8	18
	TH01	1	-20	0.2	2	14	22
	TH02	1	-20	0.2	2	12	23
	TH03	1	-20	0.1	4	18	21
	TH04	1	-20	0.2	4	20	24
	TH05	1	-20	0.2	2	11	13
	TH06	1	-20	0.2	2	9	10
	TH07	1	-20	0.1	2	12	11
	TH08	1	-20	0.1	4	16	8
	TH09	1	-20	0.1	2	12	11
	TH10	1	-20	0.2	2	10	16
	TH11	1	-20	0.1	2	14	15
	TH12	1	-20	0.1	2	12	18
	TH13	1	-20	0.2	2	13	16
	TH14	1	-20	0.2	1	14	11
	TH15	1	-20	0.2	2	12	10
	TH16	1	-20	0.2	2	16	84
	TH17	1	-20	0.2	3	20	17
	TH18	1	-20	0.2	3	16	19
	TH19	1	-20	0.2	3	17	15
	TH20	1	-20	0.2	1	13	39
	TH21	1	-20	0.2	3	15	34
	TH22	1	-20	0.2	2	15	21
	TH23	1	-20	0.2	2	14	27
	TH24	1	-20	0.3	2	16	61
	TH25	1	-20	0.2	2	13	25
	YF01	1	-20	0.1	1	14	16
	YF02	1	-20	0.2	1	14	11
	YF03	1	-20	0.2	3	18	13
	YF04	1	-20	0.2	3	19	14
	YF05	1	-20	0.2	4	23	36
	YF06	3	-20	0.2	1	6	17
	YF07	3	-20	0.9	2	7	16
YF08	3	-20	0.2	1	9	18	
YF09	1	-20	0.2	3	13	13	
YF10	1	-20	0.2	2	12	7	
YF11	1	-20	0.2	2	8	8	
YF12	1	-20	0.2	3	12	10	
YF13	1	-20	0.2	4	16	13	
YF14	1	-20	0.2	2	7	8	
YF15	1	-20	0.2	-1	7	18	
HK01	1	-20	0.2	1	20	13	
HK02	1	-20	0.2	2	11	18	
HK03	1	-20	0.2	5	20	19	
HK04	1	-20	0.2	2	15	16	
HK05	1	-20	0.4	3	18	18	
HK06	1	-20	0.3	2	9	18	
HK07	1	-20	0.2	2	9	16	
HK08	1	-20	0.2	3	19	19	
HK09	1	-20	0.9	3	17	15	
HK10	1	-20	0.3	3	13	16	
HK11	1	-20	0.1	2	14	15	
HK12	1	-20	0.1	3	13	15	
HK13	1	-20	0.1	1	18	19	
HK14	1	-20	0.1	3	20	17	
HK15	1	-20	0.1	2	13	15	
HK16	1	-20	0.2	3	15	11	

Area	Muestra N°	*	Au (ppb)	Ag (ppm)	Mo (ppm)	Cu (ppm)	As (ppm)	
06	HK17	1	-20	0.1	2	13	13	
	HK18	1	-20	0.2	1	9	15	
	HK19	1	-20	0.1	1	11	15	
	HK20	1	-20	0.1	1	9	17	
	HK21	1	-20	0.2	3	18	18	
	HK22	1	-20	0.2	2	11	13	
	HK23	1	-20	0.3	2	14	18	
	HK24	1	-20	0.2	1	12	13	
	HK25	1	-20	0.1	1	12	11	
	HK26	1	-20	0.2	2	16	10	
	HK27	1	-20	0.2	2	11	13	
	HK28	1	-20	0.1	2	12	12	
	HK29	1	-20	0.2	2	11	14	
	HK30	1	-20	0.2	2	14	14	
	HK31	1	-20	0.2	2	18	15	
	HK32	1	-20	0.2	1	10	13	
	HK33	1	-20	0.2	2	18	21	
	HK34	1	-20	0.2	2	15	14	
	HK35	1	-20	0.2	2	13	13	
	07	HO02	1	-20	0.2	6	38	56
		HO03	1	-20	0.1	5	17	31
		HO04	1	-20	0.2	4	28	22
		HO06	1	-20	0.1	5	37	33
		HO07	1	-20	0.2	3	23	20
		HO08	1	-20	0.1	5	30	14
		HO09	1	-20	0.1	4	36	26
		HO10	1	-20	0.1	3	29	23
		HO11	1	-20	0.1	3	28	25
		HO12	1	-20	0.2	3	48	23
		HO13	1	-20	0.1	3	29	22
		HO14	1	-20	0.1	3	28	16
		HO15	1	-20	0.1	3	25	16
		HO16	1	-20	0.1	4	26	15
		HO17	1	-20	0.1	3	19	14
		HO18	1	-20	0.1	3	14	25
HO19		1	-20	0.2	3	21	35	
HO21		1	-20	0.2	4	27	29	
HO22		1	-20	0.1	3	31	23	
HO23		1	-20	0.1	4	39	36	
HO24		1	-20	0.1	5	35	29	
HO25		1	-20	0.2	5	40	35	
HO26		1	-20	0.1	3	43	37	
HO27		1	-20	0.1	3	47	54	
HO28		1	-20	0.1	3	48	48	
TH01		1	-20	0.2	7	26	31	
TH02		1	-20	0.2	3	28	32	
TH03		1	-20	0.2	4	33	26	
TH04		1	-20	0.1	4	47	35	
TH05		1	-20	0.2	3	42	34	
TH06		1	-20	0.2	4	39	39	
TH07	1	-20	0.2	2	36	29		
TH08	1	-20	0.2	4	43	32		
TH09	1	-20	0.2	3	32	30		
TH10	1	-20	0.2	3	37	25		
TH11	1	-20	0.1	6	34	28		
TH12	1	-20	0.1	8	39	54		
TH13	1	-20	0.1	5	23	29		
TH14	1	-20	0.1	5	28	27		
TH15	1	-20	0.1	5	30	25		
TH16	1	-20	0.1	4	25	22		
TH17	1	-20	0.1	3	24	18		
TH18	1	-20	0.1	4	28	21		
TH19	1	-20	0.1	6	41	29		
TH20	1	-20	0.1	5	38	19		
TH21	1	-20	0.1	4	28	17		
TH22	1	-20	0.1	3	51	25		
TH23	1	-20	0.1	5	29	28		
TH24	1	-20	0.1	4	26	26		
TH25	1	-20	0.1	4	27	30		
TH26	1	-20	0.1	4	28	27		

\* 1; Sedimentos de Corriente    2; Suelo    3; Roca

Area	Muestra N°	•	Au (ppb)	Ag (ppm)	Mo (ppm)	Cu (ppm)	As (ppm)
07	TH27	1	-20	0.1	3	41	23
	TH28	1	-20	0.1	3	33	22
	TH29	1	-20	0.1	3	50	32
	TH30	1	-20	0.2	3	57	29
	YF01	3	-20	0.1	7	36	40
	YF02	3	-20	0.2	4	34	40
	YF04	1	-20	0.2	5	24	47
	YF06	3	-20	0.2	7	13	41
	YF07	3	-20	0.2	8	9	74
	YF08	3	-20	0.2	4	16	78
	YF09	1	-20	0.2	5	30	27
	YF10	1	-20	0.2	5	23	27
	YF11	1	-20	0.2	4	23	22
	YF12	1	-20	0.2	4	19	20
	YF13	1	-20	0.2	5	23	23
	YF14	1	-20	0.3	6	40	44
	YF15	1	-20	0.2	5	31	33
	YF16	1	-20	0.2	3	5	32
	YF17	1	-20	0.3	3	7	25
	YF18	1	-20	0.3	5	8	14
	YF19	1	-20	0.5	2	2	17
	YF20	1	-20	0.2	5	4	55
	YF21	1	-20	0.3	4	8	45
YF22	1	-20	0.3	4	32	59	
YF23	1	-20	0.3	5	30	61	
YF24	1	-20	0.2	4	26	40	
YF25	1	-20	0.2	4	28	55	
YF26	1	-20	0.2	4	26	31	
HK01	1	-20	0.2	9	30	38	
HK02	1	-20	0.1	7	30	42	
HK03	1	-20	0.2	15	22	29	
HK04	1	-20	0.2	5	37	32	
HK05	1	-20	0.2	9	30	61	
HK06	1	-20	0.2	6	35	36	
HK07	1	-20	0.2	8	18	25	
HK08	1	-20	0.2	4	16	22	
HK09	1	-20	0.2	3	21	23	
HK10	1	-20	0.2	13	24	49	
HK11	1	-20	0.1	6	22	40	
HK12	1	-20	0.1	6	23	63	
HK13	1	-20	0.1	9	25	36	
HK14	1	-20	0.1	6	27	31	
HK15	1	-20	0.1	5	21	17	
HK16	1	-20	0.1	8	27	37	
HK17	1	-20	0.1	4	27	24	
HK18	1	-20	0.1	8	23	30	
HK19	1	-20	0.1	4	28	27	
HK20	1	-20	0.2	4	17	32	
HK21	1	-20	0.1	5	23	31	
HK22	1	-20	0.2	5	18	34	
HK23	1	-20	0.2	9	25	35	
08	H001	1	-20	0.1	4	28	19
	H002	1	-20	-0.1	2	21	80
	H003	1	-20	0.1	2	17	46
	H004	1	-20	-0.1	4	27	98
	H005	1	-20	-0.1	2	20	18
	H006	1	-20	-0.1	2	18	16
	H007	1	-20	0.1	1	11	20
	H008	1	-20	0.1	2	16	29
	H009	1	-20	0.1	2	15	23
	H010	1	-20	0.2	2	17	22
	H011	1	-20	0.1	2	14	27
	H012	1	-20	0.2	3	14	42
	H013	1	-20	0.1	2	12	27
	H014	1	-20	0.1	2	11	35
	H015	1	-20	0.1	3	15	25
	H016	1	-20	0.1	2	18	21
	H017	1	-20	0.1	2	15	52
	H018	1	-20	-0.1	1	17	94
	H019	1	-20	0.1	1	15	85

Area	Muestra N°	•	Au (ppb)	Ag (ppm)	Mo (ppm)	Cu (ppm)	As (ppm)
08	H020	1	-20	-0.1	2	25	56
	H021	1	-20	-0.1	2	18	67
	H022	1	-20	0.1	2	16	51
	H023	1	-20	0.1	2	28	37
	H024	1	-20	0.1	2	23	33
	H025	1	-20	0.1	2	32	28
	TH01	1	-20	0.1	1	20	20
	TH02	1	-20	0.1	1	23	16
	TH03	1	-20	0.1	1	21	14
	TH04	1	-20	0.1	2	25	17
	TH05	1	-20	-0.1	3	20	16
	TH06	1	-20	0.1	3	20	19
	TH07	1	-20	-0.1	2	19	27
	TH08	1	-20	0.2	2	19	19
	TH09	1	-20	0.1	2	21	18
	TH10	1	-20	0.2	1	16	14
	TH11	1	-20	0.1	1	13	12
	TH12	1	-20	0.1	2	17	12
	TH13	1	-20	0.2	3	20	15
	TH14	1	-20	0.2	2	15	10
	TH15	1	-20	0.1	2	19	15
	TH16	1	-20	0.2	2	19	21
	TH17	1	-20	0.3	2	22	23
	TH18	1	-20	0.2	3	25	27
	TH19	1	-20	0.2	2	24	32
	TH20	1	-20	0.2	3	22	24
	TH21	1	-20	0.2	3	22	19
	TH22	1	-20	0.2	3	21	18
	TH23	1	-20	0.3	4	23	17
	TH24	1	-20	0.2	3	20	15
	TH25	1	-20	0.2	4	26	17
	YF01	3	-20	0.8	2	16	20
	YF02	3	-20	0.4	1	9	15
	YF03	3	-20	0.6	-1	21	14
YF04	1	-20	-0.5	1	23	15	
YF05	1	-20	0.3	1	26	15	
YF06	1	-20	0.4	2	26	18	
YF07	3	-20	0.7	-1	3	23	
YF08	3	-20	0.4	-1	2	10	
YF09	3	-20	0.3	-1	4	10	
YF10	3	-20	0.4	-1	2	9	
YF11	3	-20	0.4	-1	1	20	
YF12	3	-20	0.3	-1	1	28	
YF13	3	-20	0.3	-1	3	12	
YF14	3	-20	0.7	1	2	13	
YF15	1	-20	0.7	3	29	20	
YF16	1	-20	0.7	1	24	10	
YF17	3	-20	0.5	-1	2	9	
YF18	3	-20	0.7	-1	2	10	
YF19	1	-20	0.3	2	23	17	
YF20	3	-20	0.3	1	1	10	
YF21	1	-20	0.3	2	21	31	
YF22	1	-20	0.3	2	23	25	
YF23	1	-20	1.4	3	33	20	
YF24	1	-20	0.7	2	24	24	
YF25	1	-20	0.4	2	24	20	
HK01	1	-20	0.2	3	25	24	
HK02	1	-20	0.2	2	16	27	
HK03	1	-20	0.2	2	23	42	
HK04	1	-20	0.2	3	30	27	
HK05	1	-20	0.2	3	22	39	
HK06	1	-20	0.2	2	28	42	
HK07	1	-20	0.1	2	29	49	
HK08	1	-20	0.1	2	17	67	
HK09	1	-20	0.1	2	21	80	
HK10	1	-20	0.2	2	22	48	
HK11	1	-20	0.2	2	27	29	
HK12	1	-20	0.2	2	30	22	
HK13	1	-20	0.2	3	29	22	
HK14	1	-20	0.2	2	20	24	

• 1; Sedimentos de Corriente    2; Suelo    3; Roca

Area	Muestra N°	Au (ppb)	Ag (ppm)	Mo (ppm)	Cu (ppm)	As (ppm)	
08	HK15	1	-20	-0.1	2	27	22
	HK16	1	-20	0.1	2	25	28
	HK17	1	-20	-0.1	2	24	25
	HK18	1	-20	-0.1	2	13	21
	HK19	1	-20	0.1	2	24	38
	HK20	1	-20	0.1	2	19	25
	HK21	1	-20	0.2	3	17	14
	HK22	1	-20	0.2	3	19	21
	HK23	1	-20	0.1	2	18	22
	HK24	1	-20	0.6	3	18	25
	HK25	1	-20	0.1	2	20	22
	LC01	3	-20	0.2	-1	2	17
	LC02	1	-20	0.2	-1	20	20
	LC03	3	-20	0.2	-1	1	20
	LC04	1	-20	0.2	-1	14	20
	LC05	1	-20	0.2	1	13	17
	LC06	1	-20	0.2	3	17	23
	LC07	1	-20	0.1	1	1	19
	LC08	1	-20	0.1	2	16	19
	LC09	1	-20	0.2	3	23	25
	LC10	1	-20	0.2	2	19	17
	LC11	1	-20	0.2	2	16	15
	LC12	1	-20	0.1	2	15	15
	LC13	1	-20	0.2	2	18	15
	LC14	1	-20	-0.1	3	18	20
	LC15	1	-20	0.2	3	17	24
	LC16	1	-20	0.2	2	17	21
	LC17	1	-20	0.2	3	19	21
	LC18	1	20	0.3	2	16	21
	LC20	1	20	0.2	3	21	20
	LC21	1	-20	0.2	2	19	20
	LC22	1	-20	0.2	3	21	21
	LC23	1	-20	0.2	3	18	20
	LC24	1	-20	0.2	3	21	17
	LC25	1	-20	0.2	2	19	18
LC26	3	-20	0.2	2	16	10	
LC27	1	-20	0.3	2	14	37	
LC28	1	-20	0.3	2	13	30	
LC29	1	-20	0.2	3	14	23	
LC30	1	-20	0.3	3	18	23	
LC31	1	-20	0.2	3	18	21	
LC32	1	-20	0.2	3	18	17	
LC33	1	-20	0.3	3	19	20	
LC34	1	-20	0.3	3	19	26	
LC35	1	-20	0.2	2	18	20	
LC35	1	-20	0.2	3	14	20	
LC37	1	-20	0.3	1	29	47	
LC38	1	-20	0.3	2	13	24	
LC39	3	-20	1.3	27	23	26	
AP01	3	-20	0.2	-1	2	30	
AP02	3	-20	0.2	-1	3	22	
AP03	3	-20	0.2	-1	2	25	
AP04	3	-20	0.2	1	1	33	
AP05	3	-20	0.2	1	2	14	
AP06	3	-20	0.2	-1	-1	18	
AP07	3	-20	0.2	1	2	18	
AP08	3	-20	0.2	1	1	20	
AP09	3	-20	1.4	-1	2	20	
AP10	3	-20	0.2	1	-1	20	
AP11	3	-20	0.2	-1	-1	15	
AP12	3	-20	0.2	-1	1	12	
AP13	3	-20	0.2	-1	1	10	
AP14	3	-20	0.2	2	15	10	
AP15	3	-20	0.2	-1	-1	18	
09	HO03	1	-20	0.2	1	4	12
	HO04	1	-20	0.6	-1	3	26
	HO05	1	20	0.2	3	6	27
	HO06	1	-20	0.3	-1	2	14
	HO07	1	-20	0.3	-1	4	21
	HO08	1	-20	0.3	-1	3	20

Area	Muestra N°	Au (ppb)	Ag (ppm)	Mo (ppm)	Cu (ppm)	As (ppm)	
09	HO09	1	20	0.4	1	8	23
	HO10	1	-20	0.2	-1	12	27
	HO11	1	-20	0.2	2	26	13
	HO12	1	-20	0.1	1	31	-5
	HO13	1	-20	0.1	1	25	-5
	HO14	1	-20	0.2	-1	30	-5
	HO15	1	-20	0.2	1	3	68
	HO21	1	-20	0.2	3	28	14
	HO25	1	-20	0.2	1	36	8
	HO27	1	-20	0.1	1	35	25
	HO28	1	-20	0.1	1	38	19
	HO29	1	-20	0.1	1	37	17
	HO30	1	-20	0.1	1	29	26
	HO31	1	-20	0.1	1	15	15
	HO32	1	-20	0.1	2	29	11
	HO33	1	-20	0.1	1	30	10
	HO34	1	-20	0.2	1	31	12
	HO35	1	-20	0.1	1	27	6
	HO36	1	-20	0.1	2	30	10
	TH01	1	-20	0.3	1	12	63
	TH02	1	-20	0.5	1	29	58
	TH03	1	-20	0.1	1	11	23
	TH04	1	-20	0.1	-1	5	62
	TH05	1	-20	0.1	-1	3	29
	TH06	1	-20	0.1	1	31	16
	TH07	1	-20	0.1	1	23	20
	TH08	1	-20	0.1	2	19	24
	TH09	1	-20	0.1	2	21	16
	TH10	1	-20	0.2	2	22	15
	TH11	1	-20	0.1	2	21	15
	TH12	1	-20	0.1	1	7	15
	TH13	1	-20	0.1	1	30	7
	TH15	1	-20	0.1	-1	20	10
	TH16	1	-20	0.1	1	20	10
	TH17	1	-20	0.1	1	32	12
	TH18	1	-20	0.2	1	52	15
	TH19	1	-20	0.1	1	29	15
TH20	1	-20	0.1	1	20	14	
TH21	1	-20	0.1	1	47	20	
TH22	1	-20	0.1	1	33	15	
TH23	1	-20	0.2	1	26	15	
TH24	1	-20	0.1	1	21	18	
TH26	1	-20	0.1	1	21	13	
TH27	1	-20	0.1	1	31	15	
YF01	1	-20	0.4	2	3	28	
YF02	1	-20	0.3	1	10	12	
YF04	1	-20	0.1	1	23	12	
YF06	3	-20	0.1	1	25	21	
YF08	3	-20	0.2	2	8	19	
YF09	1	-20	0.2	-1	9	10	
YF10	1	-20	0.1	-1	5	-5	
YF12	1	-20	0.2	1	22	-5	
YF14	1	-20	0.1	1	62	5	
YF15	1	-20	0.2	2	20	-5	
YF17	1	-20	0.3	1	45	9	
YF18	1	-20	0.3	3	34	10	
YF19	1	-20	0.2	3	32	12	
YF20	1	-20	0.2	2	36	21	
YF21	1	-20	0.2	2	31	15	
YF23	1	-20	0.1	2	38	22	
YF24	1	-20	0.1	2	36	20	
YF25	1	-20	0.1	2	38	11	
YF28	1	-20	0.1	2	35	-5	
HK01	1	-20	0.3	2	26	8	
HK02	1	-20	0.2	2	25	12	
HK03	1	-20	0.1	2	21	7	
HK04	1	-20	-0.1	2	47	-5	
HK05	1	-20	-0.1	2	21	9	
HK06	1	-20	0.1	2	47	11	
HK07	1	-20	0.1	3	49	21	

• 1; Sedimentos de Corriente    2; Suelo    3; Roca

Area	Muestra N°	*	Au (ppb)	Ag (ppm)	Mo (ppm)	Cu (ppm)	As (ppm)	Area	Muestra N°	*	Au (ppb)	Ag (ppm)	Mo (ppm)	Cu (ppm)	As (ppm)	
09	HK08	1	-20	0.1	2	31	10	10	FK13	2	-20	0.2	2	33	17	
	HK09	1	-20	0.1	3	30	6		FK14	2	-20	0.1	3	46	19	
	HK12	1	-20	0.1	2	3	53		FK15	2	-20	0.3	2	52	17	
	HK13	1	-20	0.1	2	21	8		FK16	2	-20	0.3	2	56	18	
	HK15	1	-20	0.1	1	6	20		FK17	2	-20	0.3	1	34	15	
	HK16	1	-20	0.1	2	2	15		FK18	2	-20	0.3	2	47	19	
	HK17	1	-20	0.1	2	17	-5		FK19	2	-20	0.3	1	25	12	
	HK18	1	-20	0.1	2	2	7		FK20	2	-20	0.3	2	30	14	
	HK19	1	-20	-0.1	1	4	14		FK21	2	-20	0.3	2	36	19	
	HK20	1	-20	0.1	21	7	8		FK22	2	-20	0.2	2	29	17	
	HK24	1	-20	-0.1	8	9	16		FK23	2	-20	0.2	2	22	16	
	HK25	1	-20	-0.1	11	28	11		FK24	2	-20	0.3	3	23	27	
	HK26	1	-20	0.2	22	8	-5		FK25	2	-20	0.2	2	27	14	
	HK27	1	-20	0.5	20	20	59		FK26	2	-20	0.3	2	27	15	
	HK28	1	-20	0.1	1	40	14		FK27	2	-20	0.2	3	29	13	
	HK29	1	-20	0.1	-1	33	14		FK28	2	-20	0.2	2	30	12	
	HK30	1	-20	0.2	-1	28	16		FK29	2	-20	-0.1	2	23	15	
	HK31	1	-20	0.2	-1	30	29		FK30	2	-20	0.2	2	27	23	
	HK32	1	-20	0.2	1	26	41		FK31	2	-20	0.2	2	26	10	
	HK33	1	-20	0.1	1	30	39		FK32	2	-20	0.1	3	37	19	
	HK34	1	-20	0.2	1	26	65		FK33	2	-20	0.4	2	27	17	
	HK35	1	-20	0.2	1	28	49		FK34	2	-20	0.2	1	29	19	
	HK36	1	-20	0.1	-1	31	11		HK01	2	-20	0.2	1	121	17	
	HK37	1	-20	0.1	1	28	12		HK02	2	-20	0.2	1	73	24	
	HK38	1	-20	0.2	1	23	13		HK03	2	-20	0.2	1	47	24	
	10	ST01	2	-20	0.2	2	167		19	HK04	2	-20	0.2	2	51	26
		ST02	2	-20	0.1	1	50		17	HK05	2	-20	0.4	1	32	22
		ST03	2	-20	0.2	1	62		14	HK06	1	-20	0.3	1	33	19
		ST04	2	-20	0.2	1	34		16	HK07	2	-20	0.5	2	46	25
		ST05	2	-20	0.2	1	23		14	HK08	1	-20	1.8	-1	21	15
		ST06	2	-20	0.2	2	25		13	HK09	2	-20	1.9	-1	30	20
		ST07	2	-20	0.2	1	30		19	HK10	2	-20	1.5	-1	29	20
		ST08	2	-20	0.2	1	27		17	HK11	2	-20	0.5	-1	24	18
		ST09	2	-20	0.2	1	32		15	HK12	2	-20	0.6	2	29	20
		ST10	2	-20	0.2	-1	23		23	HK13	2	-20	0.5	1	31	21
		ST11	2	-20	0.2	1	28		18	HK14	2	-20	0.2	1	38	19
		ST12	2	-20	0.2	1	27		21	HK15	2	-20	1.7	1	42	19
		ST13	2	-20	0.2	1	24		17	HK16	2	-20	1.6	1	57	16
ST14		2	-20	0.2	1	26	18	HK17	2	-20	0.5	1	102	24		
ST15		2	-20	0.2	1	23	13	HK18	2	-20	1.6	2	123	27		
ST16		2	-20	0.2	1	28	26	HK19	2	-20	1.5	1	101	24		
ST17		2	-20	0.2	1	29	24	HK20	2	-20	1.8	2	160	35		
ST18		2	-20	0.1	1	31	21	HK21	1	-20	0.7	2	125	21		
ST19		2	-20	0.2	1	35	17	HK22	1	-20	0.5	2	90	27		
ST20		2	-20	0.1	3	35	22	HK23	2	-20	0.8	2	68	19		
ST21		2	-20	0.1	2	40	20	HK24	2	-20	0.5	2	56	34		
ST22		2	-20	1.0	2	50	21	HK25	1	-20	1.7	1	51	18		
ST23		2	-20	0.1	2	39	20	HK26	2	-20	1.4	3	60	20		
ST24		2	-20	0.4	2	41	19	HK27	2	-20	1.7	1	59	18		
ST25		2	-20	0.1	4	40	23	HK28	2	-20	2.0	2	48	12		
ST26		2	-20	0.1	3	36	23	HK29	1	-20	0.3	2	46	22		
ST27		2	-20	0.1	3	40	22	HK30	2	-20	0.3	2	52	18		
ST28		2	-20	0.1	1	47	25	HK33	2	-20	0.4	3	63	24		
ST29		2	-20	0.2	1	59	29	HK34	2	-20	0.4	1	51	17		
ST30		2	-20	0.2	1	55	20	HK35	2	-20	0.4	1	52	17		
ST31		2	-20	0.2	1	73	17	11	ST35	1	-20	0.2	-1	126	-5	
ST33		2	-20	0.2	2	80	21		ST36	1	-20	0.2	1	120	-5	
ST34		2	-20	0.2	2	200	25		ST37	1	-20	0.1	1	145	-5	
FK01		2	-20	0.3	1	39	20		ST38	1	-20	-0.1	-1	83	-5	
FK02	2	-20	0.2	2	35	15	ST39		1	-20	0.3	1	128	-5		
FK03	2	-20	0.2	2	43	22	ST40		1	-20	0.2	1	156	5		
FK04	2	-20	0.3	2	70	21	ST41		1	-20	0.3	2	172	-5		
FK05	2	-20	0.2	1	70	20	ST42		1	-20	-0.1	1	98	-5		
FK06	2	-20	0.3	1	78	20	ST44		1	-20	0.1	2	60	-5		
FK07	2	-20	0.2	1	38	12	ST45		1	-20	0.1	1	84	-5		
FK08	2	-20	0.1	1	14	15	ST46		1	-20	0.1	2	74	5		
FK09	2	-20	0.2	3	38	19	ST47		1	-20	0.1	2	135	9		
FK10	2	-20	0.3	2	28	19	ST48	1	-20	0.1	2	90	9			
FK11	2	-20	0.2	3	35	17	ST49	1	-20	0.1	2	103	-5			
FK12	2	-20	0.2	3	40	17	ST50	1	-20	0.2	2	148	7			

\* 1: Sedimentos de Corriente 2: Susto 3: Roca

Area	Muestra N°	*	Au (ppb)	Ag (ppm)	Mo (ppm)	Cu (ppm)	As (ppm)
11	ST51	1	-20	0.1	1	90	6
	ST52	1	-20	0.1	2	83	11
	ST53	1	-20	0.1	2	102	5
	ST54	1	20	0.1	-1	70	-5
	ST55	1	-20	0.1	1	104	5
	ST56	1	-20	0.1	-1	90	-5
	ST57	1	-20	0.1	2	66	-5
	ST58	1	-20	0.2	3	144	19
	ST59	1	-20	0.1	1	74	17
	ST60	1	-20	0.4	5	192	9
	ST61	1	-20	0.1	1	124	9
	ST62	1	-20	0.1	-1	88	6
	ST63	1	-20	0.2	-1	135	6
	ST64	1	-20	0.2	1	68	-5
	ST65	1	-20	0.1	2	177	7
	ST67	1	-20	0.1	1	87	-5
	ST68	1	-20	0.1	2	115	-5
	ST70	1	-20	0.1	-1	83	5
	ST71	1	-20	0.1	1	120	7
	ST72	1	-20	0.2	1	105	5
	ST73	1	-20	0.2	-1	139	7
	ST74	2	-20	0.1	2	515	16
	FK36	1	-20	0.2	1	96	6
	FK37	1	-20	0.2	1	90	-5
	FK38	1	-20	0.1	-1	98	-5
	FK39	1	-20	0.1	-1	90	-5
	FK40	1	-20	0.3	1	150	-5
	FK41	1	-20	0.3	2	152	5
	FK42	1	-20	0.2	1	74	5
	FK43	1	-20	0.1	1	124	-5
	FK44	1	-20	0.2	-1	199	-5
	FK45	1	-20	0.1	1	115	-5
	FK46	1	-20	0.2	2	206	-5
	FK47	1	-20	0.3	2	160	-5
	FK48	1	40	1.2	1	210	-5
	FK49	1	-20	0.2	1	62	-5
	FK50	1	-20	0.2	2	89	19
	FK51	1	-20	0.2	1	109	6
	FK52	1	140	0.3	1	117	-5
	FK53	1	-20	0.4	2	100	5
	FK54	1	-20	0.1	-1	125	14
	FK55	1	-20	0.2	1	165	8
	FK56	1	-20	0.2	2	201	-5
FK58	1	-20	0.2	1	79	7	
FK59	1	-20	0.2	1	118	6	
FK60	1	-20	0.2	3	93	9	
FK61	1	-20	0.2	4	143	9	
FK63	1	-20	0.1	-1	91	6	
FK64	1	-20	0.2	-1	70	6	
FK65	1	-20	0.2	1	119	-5	
FK66	1	-20	0.3	5	110	-5	
FK67	1	-20	0.3	2	107	-5	
FK68	1	-20	0.3	1	155	-5	
FK69	1	-20	0.3	3	118	-5	
FK70	1	-20	0.2	2	116	-5	
FK71	1	-20	0.2	1	150	-5	
FK72	1	-20	0.4	2	135	-5	
FK73	1	-20	0.2	1	147	-5	
FK74	1	-20	0.2	2	191	-5	
FK75	1	-20	0.2	1	131	-5	
FK76	1	-20	0.2	-1	106	-5	
FK79	1	-20	0.2	-1	108	-5	
FK80	1	-20	0.2	-1	121	-5	
FK81	1	-20	0.2	-1	148	-5	
FK82	1	-20	0.2	-1	125	-5	
FK83	1	-20	0.2	1	117	-5	
FK84	1	-20	0.2	-1	128	-5	
HK01	1	-20	0.4	2	91	-5	
HK02	1	-20	0.4	6	102	-5	
HK03	1	-20	0.4	1	122	-5	

Area	Muestra N°	*	Au (ppb)	Ag (ppm)	Mo (ppm)	Cu (ppm)	As (ppm)	
11	HK04	1	-20	0.4	-1	95	-5	
	HK05	1	-20	0.3	1	93	-5	
	HK06	1	-20	0.4	-1	102	-5	
	HK07	1	-20	0.5	1	83	-5	
	HK08	1	-20	0.4	1	92	-5	
	HK09	1	-20	0.3	-1	100	10	
	HK10	1	-20	0.2	4	88	7	
	HK11	1	-20	0.2	1	145	-5	
	HK12	1	-20	0.2	-1	96	-5	
	HK13	2	-20	0.2	1	162	-5	
	HK14	2	-20	0.2	1	255	-5	
	HK15	2	-20	0.4	1	124	29	
	HK16	2	-20	0.2	1	120	15	
	HK17	2	-20	0.4	1	240	-5	
	HK18	1	-20	0.3	-1	315	32	
	HK19	1	40	0.2	-1	154	6	
	12	ST75	1	-20	0.1	2	141	10
		ST76	1	-20	0.1	2	202	10
		ST77	1	-20	0.2	2	131	10
ST78		1	-20	0.2	4	399	11	
ST79		1	20	0.2	1	140	12	
ST80		1	-20	0.2	-1	145	12	
ST81		1	-20	0.1	1	245	12	
SS82		1	-20	0.1	2	150	13	
ST83		1	-20	0.1	2	203	13	
ST84		1	-20	0.1	2	301	9	
ST85		1	-20	0.2	1	152	12	
ST86		1	-20	0.2	2	164	11	
ST87		1	20	0.2	3	304	8	
ST88		1	60	0.1	3	546	10	
ST89		1	20	0.2	2	223	13	
ST90		1	20	0.1	2	105	12	
ST91		1	-20	0.2	2	138	10	
ST92		1	-20	0.3	7	580	16	
ST93		1	-20	0.4	13	243	85	
ST94		1	60	2.4	23	539	270	
ST95		1	-20	0.3	20	260	130	
ST96		1	-20	0.3	11	285	73	
ST97		1	-20	0.2	10	190	77	
ST98		1	-20	0.3	12	212	68	
ST99		1	-20	0.5	13	371	94	
ST100		1	-20	0.3	1	80	26	
ST101		1	-20	0.3	15	138	74	
ST102		1	-20	0.2	9	277	100	
ST103		1	-20	0.2	5	179	51	
ST104		1	-20	0.3	7	214	65	
ST105		1	-20	0.2	4	234	40	
ST106		1	-20	0.1	2	114	13	
ST108		1	-20	0.2	3	111	13	
ST109		1	-20	0.1	4	87	10	
ST110		2	-20	0.1	2	118	12	
FK85		1	-20	0.2	2	118	20	
FK86		1	20	0.3	-1	163	-5	
FK87		1	-20	0.3	2	136	20	
FK88		1	-20	0.3	2	130	18	
FK89		1	-20	0.3	3	150	28	
FK90		1	-20	0.2	1	104	20	
FK91	1	-20	0.3	2	132	19		
FK92	1	-20	0.3	1	136	14		
FK93	1	-20	0.4	12	215	97		
FK94	1	-20	0.3	3	151	23		
FK95	1	-20	0.2	2	180	12		
FK96	1	20	0.3	2	155	16		
FK97	1	-20	0.2	2	137	25		
FK98	1	40	0.1	2	121	7		
FK99	1	60	0.1	3	179	10		
FK100	1	-20	0.2	4	148	24		
FK101	1	40	0.1	2	122	7		
FK102	1	-20	0.2	6	142	20		
FK103	1	-20	0.2	4	215	56		

\* 1; Sedimentos de Corriente 2; Suelo 3; Roca

Area	Muestra N°	*	Au (ppb)	Ag (ppm)	Mo (ppm)	Cu (ppm)	As (ppm)	Area	Muestra N°	*	Au (ppb)	Ag (ppm)	Mo (ppm)	Cu (ppm)	As (ppm)
12	FK104	1	-20	0.2	2	144	20	13	ST134	2	-20	0.1	2	29	21
	FK105	1	-20	0.1	2	86	-5		ST135	2	-20	0.1	1	30	21
	FK106	1	-20	0.2	9	321	99		ST136	2	-20	0.2	2	25	22
	FK107	1	-20	0.1	2	123	25		ST137	2	-20	0.2	1	40	25
	FK108	1	-20	0.1	2	107	12		ST138	2	-20	0.1	1	26	20
	FK109	1	-20	0.2	9	335	140		ST139	2	-20	0.2	2	23	20
	FK110	1	-20	0.3	10	382	160		ST140	2	-20	0.3	2	55	20
	FK111	1	-20	0.1	3	194	15		ST141	2	-20	0.2	1	36	18
	FK112	1	-20	0.2	3	183	18		ST142	2	-20	0.2	2	40	25
	FK113	1	-20	0.1	3	144	15		ST143	2	-20	0.2	1	30	20
	FK114	1	-20	0.1	2	94	15		ST144	2	-20	0.2	1	31	25
	FK115	1	-20	0.1	3	99	14		ST145	2	-20	0.2	2	39	25
	FK116	1	-20	0.1	3	94	22		ST146	2	-20	0.2	1	34	21
	FK117	1	-20	0.1	2	51	13		ST147	2	-20	0.2	1	45	20
	FK118	1	-20	0.1	3	91	27		ST148	2	-20	0.3	2	140	20
	FK119	1	-20	0.1	2	48	13		ST149	2	-20	0.3	2	67	21
	FK120	1	-20	0.1	2	60	20		ST150	2	-20	0.1	2	59	23
	FK121	1	-20	-0.1	2	48	13		ST151	2	-20	0.1	2	58	23
	FK122	1	-20	0.1	2	48	14		ST152	2	-20	0.3	3	70	20
	FK123	1	-20	0.1	4	84	49		ST153	2	-20	0.2	2	76	26
	FK124	1	-20	0.1	2	91	29		ST154	2	-20	0.1	2	80	26
	FK125	1	-20	0.1	2	105	36		ST155	2	-20	0.2	2	95	32
	FK126	1	-20	-0.1	2	99	30		ST156	2	-20	0.2	2	50	15
	FK127	1	-20	-0.1	3	112	34		ST157	2	-20	0.2	2	83	24
	FK128	1	-20	0.1	3	99	35		FK132	2	-20	0.1	2	57	14
	FK129	1	-20	0.1	2	100	35		FK133	2	-20	-0.1	2	99	31
	FK130	1	-20	0.2	4	114	48		FK134	2	-20	-0.1	2	62	16
	FK131	1	-20	0.1	2	100	20		FK135	2	-20	-0.1	2	38	22
	HK01	2	-20	0.1	2	102	9		FK136	2	-20	-0.1	2	48	16
	HK02	2	-20	0.3	2	108	30		FK137	2	-20	0.1	2	54	16
	HK03	1	-20	0.2	3	101	-5		FK138	2	-20	-0.1	2	44	21
	HK04	2	-20	0.3	1	125	-5		FK139	2	-20	0.1	1	50	19
	HK05	2	-20	0.2	2	85	-5		FK140	2	-20	0.1	2	48	19
	HK06	2	-20	0.2	1	114	5		FK141	2	-20	-0.1	1	42	22
	HK07	2	60	0.2	1	139	5		FK142	2	-20	0.2	1	35	14
	HK08	2	-20	0.2	-1	115	-5		FK143	1	-20	0.1	1	31	18
	HK09	2	60	0.4	-1	103	-5		FK144	2	-20	0.1	2	49	17
	HK10	2	-20	0.4	2	172	9		FK145	2	-20	-0.1	2	50	18
	HK11	2	40	0.4	-1	84	5		FK146	2	-20	0.1	2	46	20
HK12	2	60	0.5	-1	770	7	FK147	2	-20	-0.1	1	31	18		
HK13	2	-20	0.4	-1	70	-5	FK148	2	-20	-0.1	2	88	26		
HK14	2	-20	0.5	1	123	-5	FK149	2	-20	0.1	2	100	21		
HK15	1	-20	0.3	13	350	155	FK150	2	-20	0.1	1	59	15		
HK16	1	-20	0.5	2	199	37	FK151	2	-20	-0.1	2	60	15		
HK17	1	-20	0.4	4	266	55	FK152	2	-20	0.1	1	112	17		
HK18	1	-20	0.3	1	208	24	FK153	2	-20	0.1	3	154	26		
HK19	1	-20	0.2	3	213	26	FK154	2	-20	-0.1	3	193	32		
13	ST111	2	-20	0.2	-1	59	19	FK155	2	-20	0.2	2	104	28	
	ST112	2	-20	0.1	1	127	23	FK156	2	-20	0.1	5	194	28	
	ST113	2	-20	0.1	-1	42	19	FK157	2	-20	0.1	3	124	36	
	ST114	2	-20	0.2	-1	37	21	FK158	2	-20	0.1	3	83	23	
	ST115	2	-20	0.1	1	36	18	FK159	2	-20	0.1	2	51	16	
	ST116	2	-20	0.1	1	30	18	FK160	2	-20	0.2	2	44	16	
	ST117	2	-20	0.1	1	26	20	FK161	2	-20	-0.1	2	53	14	
	ST118	2	-20	0.2	2	30	27	FK162	2	-20	0.1	2	74	24	
	ST119	2	-20	0.1	2	35	29	FK163	2	-20	0.2	2	50	24	
	ST120	2	-20	0.1	2	25	18	FK164	2	-20	0.1	1	73	31	
	ST121	2	-20	0.2	1	31	17	FK165	2	-20	-0.1	2	156	22	
	ST122	2	-20	0.1	1	39	20	FK166	2	-20	0.2	1	58	21	
	ST123	2	-20	0.2	2	16	18	FK167	2	-20	-0.1	1	59	31	
	ST124	2	-20	0.2	-1	34	18	FK168	2	-20	-0.1	1	62	22	
	ST125	2	-20	0.2	1	35	19	FK169	2	-20	0.1	2	58	20	
	ST126	2	-20	0.2	2	32	23	FK170	2	-20	0.2	1	90	22	
	ST127	2	-20	0.2	2	40	26	FK171	2	-20	0.1	1	63	20	
	ST128	2	-20	0.2	2	19	22	FK172	2	40	-0.1	3	90	38	
	ST129	2	-20	0.2	2	10	17	FK173	2	-20	-0.1	2	63	25	
	ST130	2	-20	0.2	1	39	24	FK174	2	-20	0.1	2	33	15	
	ST131	2	-20	0.2	2	59	29	FK175	2	-20	-0.1	1	36	22	
	ST132	2	-20	0.2	2	27	24	FK176	2	-20	0.1	2	46	24	
	ST133	2	-20	0.2	1	14	20	FK177	2	-20	-0.1	2	67	33	

\* 1: Sedimentos de Corriente 2: Suelo 3: Roca

Area	Muestra N°	*	Au (ppb)	Ag (ppm)	Mo (ppm)	Cu (ppm)	As (ppm)	
13	FK178	2	-20	0.2	2	46	22	
	FK179	2	-20	0.1	1	40	18	
	FK180	2	-20	0.1	1	32	9	
	FK181	2	-20	0.1	-1	32	11	
	FK182	2	-20	0.2	1	31	10	
	FK183	2	-20	0.1	1	52	16	
	FK184	2	-20	0.1	1	45	15	
	FK185	2	-20	0.1	-1	44	14	
	FK186	2	-20	0.1	1	54	17	
	14	H001	2	-20	0.2	2	56	10
		H003	2	-20	0.2	1	32	8
		H004	1	-20	0.2	1	25	10
		H006	1	-20	0.2	1	45	10
		H007	1	-20	0.1	2	28	9
		H008	1	-20	0.2	1	32	9
		H010	1	-20	0.3	-1	51	9
		H011	1	-20	0.3	-1	71	7
H012		1	-20	0.4	1	59	6	
H013		1	-20	0.3	-1	86	8	
H014		1	-20	0.2	1	47	9	
H015		1	-20	0.3	1	91	10	
H017		1	-20	0.1	-1	68	9	
H018		1	-20	0.2	1	114	6	
H019		1	-20	0.2	1	95	6	
H020		1	-20	0.3	2	115	9	
H021		1	-20	0.4	2	26	9	
H022		1	-20	0.3	2	44	10	
H023		1	-20	0.4	2	42	11	
H024		1	-20	0.3	2	53	10	
H025		1	-20	0.2	-1	34	10	
TH01		1	-20	0.2	1	58	-5	
TH02		1	-20	0.3	2	54	-5	
TH03		1	-20	0.2	2	49	-5	
TH04		1	-20	0.3	2	120	-5	
TH05		1	-20	0.2	1	53	-5	
TH06		1	-20	0.2	1	130	17	
TH07		1	-20	0.2	1	140	7	
TH08		1	-20	0.2	1	175	10	
TH09		1	-20	0.2	1	86	14	
TH10		1	-20	0.2	1	59	7	
TH11		1	-20	0.2	1	63	7	
TH13		1	-20	0.2	1	191	10	
TH14		1	-20	0.2	2	158	9	
TH15		1	-20	0.3	2	92	9	
TH16	1	-20	0.3	2	116	9		
TH17	1	-20	0.3	1	141	12		
TH18	1	-20	0.3	-1	117	11		
TH19	1	-20	0.2	-1	134	13		
TH20	1	-20	0.3	3	120	11		
HK01	1	-20	0.2	2	174	13		
HK02	1	-20	0.1	3	322	12		
HK03	1	-20	0.2	3	185	11		
HK04	1	-20	0.2	3	260	12		
HK05	1	-20	0.2	2	131	9		
HK06	1	-20	0.2	1	94	6		
HK07	1	-20	0.2	1	187	11		
HK08	1	-20	0.1	1	83	11		
HK09	1	-20	0.2	2	98	9		
HK10	1	-20	0.2	1	124	10		
HK11	1	-20	0.2	2	98	7		
HK12	1	-20	0.3	2	111	7		
HK13	1	-20	0.2	2	134	9		
HK14	1	-20	0.3	3	98	9		
HK15	1	-20	0.2	3	94	10		
HK16	1	-20	0.2	2	55	10		
HK17	1	-20	0.3	3	38	11		
HK18	1	60	0.2	1	40	7		
HK20	1	-20	0.3	3	88	12		
ST411	2	-20	0.2	1	44	10		
ST412	2	-20	0.2	-1	74	9		

Area	Muestra N°	*	Au (ppb)	Ag (ppm)	Mo (ppm)	Cu (ppm)	As (ppm)
14	ST413	2	-20	0.2	1	67	9
	ST414	2	-20	0.2	-1	42	8
	ST415	2	-20	0.2	-1	43	9
	ST417	2	-20	0.2	2	70	21
	ST418	2	-20	0.3	1	49	13
	ST419	2	-20	0.3	1	60	12
	ST420	2	-20	0.3	-1	112	10
	ST421	2	-20	0.3	1	60	9
	ST422	2	-20	0.2	-1	36	8
	ST423	2	-20	0.2	1	32	10
	ST424	1	-20	0.1	1	35	10
	ST425	1	-20	0.3	1	22	5
	ST426	1	-20	0.2	-1	18	6
	ST427	2	-20	0.2	1	35	11
	ST428	2	-20	0.3	-1	109	14
	ST429	2	-20	0.2	3	98	13
	ST430	2	-20	0.2	1	55	10
	ST431	2	-20	0.2	1	39	5
	FK472	1	-20	0.3	2	92	10
	FK473	1	-20	0.2	4	71	9
	FK474	1	-20	0.3	3	111	10
	FK475	1	-20	0.2	3	85	10
	FK476	1	-20	0.3	3	112	12
	FK477	1	-20	0.3	2	118	9
	FK478	1	-20	0.3	2	92	9
	FK479	1	-20	0.2	2	109	11
	FK480	1	-20	0.2	1	142	10
	FK481	1	-20	0.1	1	160	10
	FK482	1	-20	0.3	2	106	11
	FK483	1	-20	0.2	2	186	13
	FK484	1	-20	0.3	2	101	16
	FK485	1	-20	0.3	3	74	10
	FK486	1	-20	0.2	2	65	11
	FK487	1	-20	0.3	3	40	9
FK488	1	-20	0.2	2	47	8	
FK489	1	-20	0.1	1	62	9	
FK490	1	-20	0.3	2	55	8	
FK491	1	-20	0.2	2	111	10	
FK492	1	-20	0.3	1	51	12	
FK493	1	-20	0.2	-1	65	7	
FK494	1	-20	0.1	1	69	10	
15	H001	1	-20	0.3	3	122	20
	H002	1	-20	0.3	9	278	34
	H003	1	-20	0.4	4	135	15
	H004	1	-20	0.4	3	157	15
	H005	1	-20	0.3	2	152	16
	H006	1	-20	0.4	1	79	10
	H007	1	-20	0.4	-1	88	10
	H008	1	-20	0.4	-1	98	7
	H009	1	-20	0.4	1	110	17
	H011	1	-20	0.4	1	53	15
	H012	1	-20	0.5	1	63	13
	H013	1	-20	0.3	2	81	17
	H014	1	-20	0.3	2	115	24
	H015	1	-20	0.4	3	237	19
	H016	1	-20	0.5	3	162	13
H017	1	-20	0.3	2	93	9	
TH01	1	-20	0.2	-1	66	12	
TH02	1	-20	0.2	3	71	26	
TH04	1	-20	0.2	2	63	28	
TH05	1	-20	0.2	2	85	21	
TH06	1	-20	0.2	2	62	10	
TH07	1	-20	0.2	7	199	20	
TH08	1	-20	0.2	2	171	15	
TH09	1	-20	0.3	1	72	17	
TH10	1	-20	0.3	2	100	20	
TH11	1	-20	0.3	1	67	13	
TH12	1	-20	0.2	1	68	18	
TH14	1	-20	0.3	1	116	22	
TH15	1	-20	0.3	2	99	20	

\* 1; Sedimentos de Corriente 2; Suelo 3; Roca

Area	Muestra N°	*	Au (ppb)	Ag (ppm)	Mo (ppm)	Cu (ppm)	As (ppm)
15	TH16	1	-20	0.3	1	63	16
	TH18	1	-20	0.3	-1	65	16
	TH19	1	-20	0.2	-1	47	13
	TH20	1	-20	0.2	1	65	19
	TH21	1	-20	0.3	1	55	17
	TH22	1	-20	0.2	2	51	24
	TH23	1	-20	0.3	-1	78	16
	TH24	1	-20	0.2	1	86	23
	TH25	1	-20	0.3	3	368	22
	HK01	2	-20	0.3	2	150	17
	HK02	2	-20	0.3	2	93	16
	HK03	2	-20	0.2	3	77	18
	HK04	1	-20	0.3	1	58	15
	HK05	1	-20	0.2	2	63	18
	HK06	1	-20	0.4	2	69	33
	HK07	1	-20	0.4	5	108	33
	HK08	1	-20	0.4	3	98	29
	HK09	1	-20	0.3	2	78	40
	HK10	1	-20	0.3	5	76	20
	HK11	1	-20	0.3	2	52	24
	HK12	1	-20	0.2	1	43	15
	HK13	2	-20	0.4	1	102	12
	HK14	1	-20	0.3	1	107	23
	HK15	2	-20	0.4	-1	42	9
	HK16	1	-20	0.3	-1	69	11
	HK17	2	-20	0.4	1	100	9
	HK18	2	-20	0.4	-1	123	15
	HK19	1	-20	0.5	2	148	14
	ST442	1	-20	0.3	1	120	16
	ST443	1	-20	0.3	3	90	11
	ST444	1	-20	0.3	-1	84	18
	ST445	1	-20	0.3	4	125	17
	ST446	1	-20	0.2	-1	86	14
	ST447	1	-20	0.3	4	65	18
	ST448	1	-20	0.2	1	57	19
	ST449	1	-20	0.3	3	84	22
	ST450	1	-20	0.2	1	47	28
	ST451	1	-20	0.3	1	130	18
	ST452	1	-20	0.3	2	51	28
	ST453	1	-20	0.3	2	49	16
	ST454	1	-20	0.3	1	66	17
	ST455	1	-20	0.3	2	77	15
ST456	1	-20	0.2	1	73	16	
ST457	1	-20	0.3	2	74	16	
ST458	1	-20	0.3	1	67	14	
ST460	1	-20	0.2	1	65	14	
ST461	1	-20	0.2	2	66	13	
ST462	1	-20	0.2	2	112	9	
ST463	1	-20	0.2	2	85	8	
ST464	1	-20	0.2	2	76	7	
ST465	1	-20	0.2	1	61	16	
ST466	1	-20	0.2	1	54	14	
FK495	1	-20	0.2	4	191	23	
FK496	1	-20	0.2	4	229	18	
FK497	2	-20	0.3	3	251	15	
FK498	2	-20	0.2	2	57	17	
FK499	1	-20	0.2	3	66	16	
FK500	1	-20	0.3	3	100	17	
FK501	1	-20	0.2	3	68	-5	
FK502	1	-20	0.2	2	75	11	
FK503	1	-20	0.3	2	63	17	
FK504	2	-20	0.2	1	88	5	
FK505	1	-20	0.3	2	60	7	
FK507	1	-20	0.2	1	56	7	
FK510	2	-20	0.2	2	78	14	
FK511	1	-20	0.2	4	133	15	
FK512	2	-20	0.3	1	109	22	
FK513	1	-20	0.2	1	95	15	
FK514	1	-20	0.3	1	41	9	
FK515	1	-20	0.2	2	69	14	

Area	Muestra N°	*	Au (ppb)	Ag (ppm)	Mo (ppm)	Cu (ppm)	As (ppm)
15	FK516	1	-20	0.2	1	53	22
	FK517	2	-20	0.2	2	106	14
	FK518	2	-20	0.2	1	64	17
	ST374	2	-20	0.2	-1	68	9
16	ST375	2	-20	0.1	-1	41	8
	ST376	1	-20	0.2	2	34	11
	ST377	2	-20	0.1	1	34	13
	ST378	1	-20	0.2	1	44	16
	ST379	1	-20	0.2	1	39	12
	ST380	1	-20	0.3	1	44	9
	ST381	1	-20	0.2	1	66	14
	ST382	1	-20	0.2	1	51	9
	ST383	1	-20	0.3	1	59	11
	ST384	1	-20	0.4	1	42	13
	ST385	1	-20	0.2	3	61	14
	ST386	1	-20	0.1	1	59	15
	ST387	1	-20	0.1	2	48	12
	ST388	1	-20	0.1	1	41	10
	ST389	1	-20	0.1	1	79	28
	ST390	1	-20	0.3	1	70	14
	ST391	1	-20	0.1	1	65	12
	ST392	1	-20	0.1	-1	39	18
	ST393	1	-20	0.1	1	80	20
	ST394	1	-20	0.2	3	69	30
	ST395	1	-20	0.2	1	75	23
	ST396	1	-20	0.2	2	116	42
	ST397	1	-20	0.2	4	101	35
	ST398	1	-20	0.3	2	108	58
	ST399	2	-20	0.2	1	109	20
	ST400	2	-20	0.2	2	134	16
	ST401	2	-20	0.2	2	41	10
	ST402	1	-20	0.3	1	60	41
	ST403	1	-20	0.4	3	157	56
	ST405	2	-20	0.2	1	64	14
	ST406	2	-20	0.2	2	67	13
	ST407	1	-20	0.2	1	70	13
	ST408	1	-20	0.2	1	171	17
	ST409	1	-20	0.3	2	66	38
	ST410	1	-20	0.5	1	96	34
	FK429	1	-20	0.6	1	200	44
	FK430	1	-20	0.3	1	128	20
	FK431	1	-20	0.2	-1	124	26
	FK432	1	-20	0.2	2	246	12
	FK433	1	-20	0.2	1	70	23
	FK434	1	-20	0.4	1	46	10
	FK435	1	-20	0.5	1	336	9
	FK436	1	-20	0.3	1	86	13
	FK437	1	-20	0.3	3	183	21
	FK438	1	-20	0.5	2	265	19
	FK439	1	-20	0.5	2	215	16
FK440	1	-20	0.5	3	53	22	
FK441	1	-20	0.4	2	52	17	
FK442	1	-20	0.4	3	51	18	
FK443	1	-20	0.2	4	158	35	
FK444	1	-20	0.2	3	197	15	
FK445	1	-20	0.2	2	145	12	
FK446	1	-20	0.2	3	200	12	
FK447	1	-20	0.2	3	173	13	
FK448	1	-20	0.3	2	175	14	
FK449	1	-20	0.2	1	69	14	
FK450	1	-20	0.2	2	90	16	
FK451	1	-20	0.3	2	62	15	
FK452	1	-20	0.2	1	56	10	
FK453	1	-20	0.2	2	28	11	
FK454	1	-20	0.2	2	320	10	
FK455	1	-20	0.2	3	180	26	
FK456	1	-20	0.2	3	62	20	
FK457	1	-20	0.2	2	136	18	
FK460	1	-20	0.2	1	55	16	
FK461	1	-20	0.2	3	42	20	

\* 1; Sedimentos de Corriente 2; Suelo 3; Roca

Area	Muestra N°	*	Au (ppb)	Ag (ppm)	Mo (ppm)	Cu (ppm)	As (ppm)	Area	Muestra N°	*	Au (ppb)	Ag (ppm)	Mo (ppm)	Cu (ppm)	As (ppm)
16	FK462	1	-20	0.4	2	70	15	17	ST369	1	-20	0.3	1	73	9
	FK464	1	-20	0.2	1	75	14		ST370	1	-20	0.3	1	85	7
	FK465	1	-20	0.2	9	72	10		ST371	1	-20	0.2	1	79	10
	FK466	1	-20	0.1	2	79	15		ST372	1	-20	0.2	1	75	9
	FK467	1	-20	0.2	9	66	15		ST373	1	-20	0.3	2	72	7
	FK468	1	-20	0.2	1	61	7		FK382	1	-20	0.2	1	59	-5
	FK469	1	-20	0.2	1	45	24		FK383	1	-20	0.3	-1	87	13
	FK470	1	-20	0.2	-1	52	34		FK384	1	-20	0.2	-1	65	7
	FK471	1	-20	0.2	3	51	27		FK385	1	-20	0.2	1	60	7
	HK01	1	-20	0.3	1	171	18		FK386	1	-20	0.3	-1	56	7
	HK02	1	-20	0.3	6	100	25		FK387	1	-20	0.2	-1	61	7
	HK03	1	-20	0.2	4	95	24		FK388	1	-20	0.3	1	54	5
	HK04	1	-20	0.3	18	65	12		FK389	1	-20	0.3	-1	48	6
	HK05	1	-20	0.3	3	42	13		FK390	1	-20	0.4	1	106	-5
	HK06	1	-20	0.2	-1	32	11		FK391	1	-20	0.2	-1	96	7
	HK07	1	-20	0.2	-1	41	10		FK392	1	-20	0.2	-1	66	7
	HK08	1	-20	0.1	-1	55	10		FK393	1	-20	0.2	1	80	14
	HK09	1	-20	0.2	3	114	19		FK394	1	-20	0.2	2	139	11
	HK10	1	-20	0.2	2	60	20		FK395	1	-20	0.4	-1	105	9
	HK11	1	-20	0.2	2	47	16		FK396	1	-20	0.2	1	93	10
	HK12	1	-20	0.2	1	42	11		FK397	1	-20	0.2	1	95	7
	HK13	1	-20	0.2	-1	58	12		FK398	1	-20	0.3	1	86	9
	HK14	1	-20	0.2	-1	57	14		FK399	1	-20	0.5	3	112	19
	HK15	1	-20	0.2	2	67	18		FK400	1	-20	0.3	1	86	13
	HK16	1	-20	0.2	-1	85	13		FK401	2	-20	0.2	1	162	10
	HK17	1	-20	0.2	1	56	12		FK402	2	-20	0.2	2	87	13
HK18	1	-20	0.2	1	55	19	FK403	2	-20	0.5	1	132	26		
HK19	1	-20	0.2	1	42	7	FK404	1	-20	0.4	1	104	15		
HK20	1	-20	0.2	-1	48	11	FK405	1	-20	0.8	-1	160	20		
HK21	1	-20	0.3	2	93	9	FK406	1	-20	0.5	1	167	23		
HK22	1	-20	0.2	-1	85	32	FK407	1	-20	0.5	1	187	26		
HK23	1	-20	0.2	2	94	7	FK408	1	-20	0.4	-1	105	10		
HK24	1	-20	0.1	1	31	15	FK409	1	-20	0.5	-1	108	8		
HK25	1	-20	0.2	1	67	8	FK410	1	-20	0.3	-1	117	8		
HK26	1	-20	0.1	2	111	15	FK411	1	-20	0.5	-1	110	9		
17	ST334	1	-20	0.2	2	103	33	FK412	1	-20	0.5	1	185	9	
	ST335	1	-20	0.2	1	69	14	FK413	1	-20	0.3	1	137	11	
	ST336	1	-20	0.2	-1	77	9	FK414	1	-20	0.2	1	210	11	
	ST337	1	-20	0.2	1	82	13	FK417	2	-20	0.3	1	110	10	
	ST338	1	-20	0.2	1	86	17	FK418	1	-20	0.6	1	85	42	
	ST339	1	-20	0.2	1	77	21	FK420	1	-20	0.3	-1	98	12	
	ST340	1	-20	0.2	1	98	30	FK421	1	-20	0.2	7	263	37	
	ST341	1	-20	0.5	1	117	25	FK422	1	-20	0.2	1	66	14	
	ST342	1	-20	0.3	1	73	10	FK423	1	-20	0.4	1	97	8	
	ST343	1	-20	0.2	1	91	12	FK424	1	-20	0.2	2	105	6	
	ST344	1	-20	0.3	1	80	20	FK425	1	-20	0.6	2	148	20	
	ST345	1	-20	0.2	1	105	25	FK426	1	-20	0.4	1	91	13	
	ST346	1	-20	0.3	1	107	9	FK427	1	-20	0.4	2	97	14	
	ST347	1	-20	0.3	-1	84	17	HK01	1	-20	0.2	1	66	6	
	ST348	1	-20	0.3	1	81	12	HK02	1	-20	0.5	1	82	5	
	ST349	1	-20	0.3	1	55	12	HK03	1	-20	0.5	-1	95	10	
	ST350	1	-20	0.5	-1	97	23	HK04	2	-20	0.5	2	121	12	
	ST351	1	-20	0.3	1	90	34	HK05	1	-20	0.4	1	122	-5	
	ST352	1	-20	0.4	1	131	50	HK08	1	-20	0.5	1	101	10	
	ST353	1	-20	0.9	2	253	80	HK09	1	-20	0.3	1	136	26	
	ST354	1	-20	1.0	3	206	66	HK10	1	-20	0.5	-1	99	12	
	ST355	1	-20	1.3	3	202	73	HK11	1	-20	0.2	1	91	15	
	ST356	1	-20	1.5	5	514	124	HK12	1	-20	0.5	1	107	10	
	ST357	1	-20	2.5	5	135	77	HK13	1	-20	0.6	1	112	11	
	ST358	1	-20	1.9	3	134	106	HK14	1	-20	0.5	1	100	-5	
	ST159	1	-20	1.4	3	210	73	HK15	1	-20	0.5	1	128	6	
	ST360	1	-20	0.6	1	68	18	HK16	1	-20	0.2	1	91	5	
	ST361	1	-20	0.7	-1	109	32	HK17	1	-20	0.2	1	68	8	
	ST362	1	-20	0.6	-1	97	27	HK18	1	-20	0.2	1	87	6	
	ST363	1	-20	0.5	1	130	25	HK19	2	-20	0.1	1	110	9	
	ST364	1	-20	0.8	2	123	41	HK20	2	-20	0.2	1	130	9	
	ST365	1	-20	0.7	1	90	38	HK21	2	-20	0.3	1	156	-5	
ST366	1	-20	1.8	2	331	51	18	ST254	1	-20	0.1	1	45	8	
ST367	1	-20	0.5	2	83	27		ST255	1	-20	0.1	-1	43	11	
ST368	1	-20	0.3	1	58	17		ST256	1	-20	0.1	1	55	12	

\* 1; Sedimentos de Corriente 2; Suelo 3; Roca

Area	Muestra N°	*	Au (ppb)	Ag (ppm)	Mo (ppm)	Cu (ppm)	As (ppm)	Area	Muestra N°	*	Au (ppb)	Ag (ppm)	Mo (ppm)	Cu (ppm)	As (ppm)
18	ST257	1	-20	0.1	1	43	9	18	FK329	1	-20	0.2	-1	40	8
	ST258	1	-20	0.1	1	35	10		FK330	1	-20	0.2	1	21	9
	ST259	1	-20	0.1	1	72	12		FK331	1	-20	0.2	1	45	4
	ST260	1	-20	0.1	1	43	14		FK332	1	-20	0.2	1	35	7
	ST261	1	-20	0.2	1	155	10		FK333	1	-20	0.1	1	15	10
	ST262	1	-20	0.2	-1	212	11		FK334	1	-20	0.2	1	16	8
	ST263	1	-20	0.2	-1	121	9		FK335	1	-20	0.1	-1	19	9
	ST264	1	-20	0.2	1	235	8		FK336	1	-20	0.2	1	27	9
	ST265	1	-20	0.3	-1	216	11		HK01	1	-20	0.2	1	42	7
	ST266	1	-20	0.3	-1	194	6		HK02	1	-20	0.3	2	100	12
	ST267	1	-20	0.2	-1	220	10		HK03	1	-20	0.2	-1	136	10
	ST268	1	-20	0.3	-1	187	5		HK04	1	-20	0.3	2	96	11
	ST269	1	-20	0.4	-1	49	9		HK05	1	-20	0.3	1	47	9
	ST270	1	-20	0.3	-1	42	7		HK06	2	-20	0.2	1	33	9
	ST271	1	-20	0.3	-1	91	14		HK07	1	-20	0.3	1	78	9
	ST272	1	-20	0.3	-1	39	9		HK08	1	-20	0.3	2	79	15
	ST273	1	-20	0.3	1	32	7		HK09	1	-20	0.3	2	72	13
	ST274	1	-20	0.4	1	42	9		HK10	1	-20	0.3	-1	38	8
	ST275	1	-20	0.2	-1	33	6		HK11	1	-20	0.2	-1	50	9
	ST276	1	-20	0.5	1	34	-5		HK12	1	-20	0.2	-1	48	8
	ST277	1	-20	0.1	-1	34	6		HK13	1	-20	0.2	1	44	9
	ST278	1	-20	0.4	-1	220	9		HK14	1	-20	0.2	-1	28	10
	ST279	1	-20	0.4	1	175	14		HK15	1	-20	0.2	1	33	5
	ST280	1	-20	0.4	-1	143	7		HK16	1	-20	0.2	1	92	13
	ST281	1	-20	0.4	1	110	12		HK17	1	-20	0.2	2	112	13
	ST282	1	-20	0.7	-1	83	7		HK18	1	-20	0.3	2	95	14
	ST283	1	-20	0.5	-1	93	-5		HK19	1	-20	0.1	1	28	13
	ST284	1	-20	0.2	-1	35	-5		HK20	1	-20	0.1	1	25	14
	ST285	1	-20	0.2	-1	35	-5		HK21	1	-20	0.1	1	52	11
	ST286	1	-20	0.3	1	55	5		ST292	1	-20	0.3	-1	106	6
	ST287	1	-20	0.3	1	64	7		ST293	1	-20	0.3	-1	56	-5
	ST288	1	-20	0.5	-1	31	7		ST294	1	-20	0.3	1	46	10
	ST289	1	-20	0.4	-1	69	8		ST296	1	-20	0.3	-1	31	6
	ST290	1	-20	0.2	-1	40	5		ST297	1	-20	0.3	-1	58	11
	FK292	1	-20	0.3	1	180	19		ST298	1	-20	0.4	1	80	9
	FK293	1	-20	0.7	-1	165	10		ST299	1	-20	0.4	1	89	7
	FK294	1	-20	0.4	1	191	17		ST300	1	-20	0.3	-1	86	8
	FK295	2	-20	0.5	2	1000	14		ST301	1	-20	0.3	1	160	-5
	FK296	1	-20	0.4	2	305	15		ST302	1	-20	0.4	2	278	-5
	FK297	1	-20	0.3	1	99	19		ST303	1	-20	0.4	-1	106	-5
	FK298	1	-20	0.3	1	87	17		ST304	1	-20	0.3	-1	87	-5
	FK299	1	-20	0.3	1	84	13		ST305	1	-20	0.3	1	79	9
	FK300	1	-20	0.3	1	100	13		ST306	1	-20	0.4	2	91	7
	FK301	1	-20	0.3	1	175	15		ST307	1	-20	0.3	1	52	8
	FK302	1	-20	0.3	1	94	13		ST308	1	-20	0.3	1	51	10
	FK303	1	-20	0.5	2	41	13		ST309	1	-20	0.4	1	148	5
	FK304	1	-20	0.2	2	68	17		ST310	1	-20	0.2	1	171	6
	FK305	1	-20	0.3	2	90	23		ST311	1	-20	0.2	1	95	9
FK306	1	-20	0.4	1	52	13	ST312	1	-20	0.3	1	120	6		
FK307	1	-20	0.4	1	38	10	ST313	1	-20	0.2	1	79	8		
FK308	1	-20	0.3	1	50	11	ST314	1	-20	0.3	1	84	6		
FK309	1	-20	0.3	1	47	7	ST315	1	-20	0.3	1	112	8		
FK310	1	-20	0.3	2	47	9	ST316	1	-20	0.4	-1	196	5		
FK311	1	-20	0.3	1	40	8	ST317	1	-20	0.2	-1	49	5		
FK312	1	-20	0.2	1	38	12	ST318	1	-20	0.2	1	52	8		
FK313	1	-20	0.2	1	69	7	ST319	1	-20	0.2	-1	74	-5		
FK314	1	-20	0.1	-1	38	9	ST320	1	-20	0.2	1	76	5		
FK315	1	-20	0.3	1	90	9	ST321	1	-20	0.3	1	112	-5		
FK316	1	-20	0.2	1	54	11	ST322	1	-20	0.3	1	100	-5		
FK317	1	-20	0.2	1	44	5	ST323	1	-20	0.4	1	94	5		
FK319	1	-20	0.2	1	54	10	ST324	1	-20	0.3	1	77	-5		
FK320	1	-20	0.2	1	165	8	ST325	1	-20	0.4	1	75	10		
FK321	1	-20	0.2	1	108	10	ST326	1	-20	0.3	1	79	5		
FK322	1	-20	0.2	1	39	9	ST327	1	-20	0.2	1	74	6		
FK323	1	-20	0.3	1	101	8	ST328	1	-20	0.3	-1	64	7		
FK324	1	-20	0.2	1	25	9	ST329	1	-20	0.2	1	70	5		
FK325	1	-20	0.1	1	24	9	ST330	1	-20	0.3	1	56	5		
FK326	1	-20	0.1	1	32	8	ST331	1	-20	0.3	1	285	7		
FK327	1	-20	0.2	-1	58	10	ST332	1	-20	0.3	2	62	-5		
FK328	1	-20	0.2	-1	47	9	ST333	1	-20	0.3	1	77	-5		

\* 1; Sedimentos de Corriente 2; Suelo 3; Roca

Area	Muestra N°	*	Au (ppb)	Ag (ppm)	Mo (ppm)	Cu (ppm)	As (ppm)	Area	Muestra N°	*	Ati (ppb)	Ag (ppm)	Mo (ppm)	Cu (ppm)	As (ppm)
19	FK337	1	-20	0.2	2	156	13	20	HO10	1	-20	0.2	-1	82	5
	FK338	1	-20	0.3	2	221	18		HO11	1	-20	0.5	2	86	12
	FK339	1	-20	0.2	2	100	11		HO12	1	-20	0.2	1	80	10
	FK340	1	-20	0.3	1	159	10		HO14	1	-20	0.2	1	79	8
	FK341	1	-20	0.2	1	151	9		HO16	1	-20	0.3	2	33	6
	FK342	1	-20	0.2	1	249	7		HO17	1	-20	0.2	1	53	8
	FK343	1	-20	0.3	1	266	8		HO19	1	-20	0.3	2	114	14
	FK344	1	-20	0.2	1	285	11		HO20	1	-20	0.2	1	83	10
	FK345	1	-20	0.3	2	301	8		HO21	1	-20	0.3	2	57	7
	FK347	1	-20	0.2	1	140	9		HO22	1	-20	0.2	2	80	10
	FK348	1	-20	0.3	2	359	6		HO23	1	-20	0.2	1	28	4
	FK349	1	-20	0.3	1	231	6		TH02	1	-20	0.7	1	72	54
	FK350	1	-20	0.4	1	610	5		TH03	1	-20	0.3	1	70	31
	FK352	1	-20	0.3	-1	167	10		TH04	1	-20	0.4	1	69	23
	FK353	1	-20	0.5	-1	715	9		TH06	1	-20	0.3	-1	59	21
	FK354	2	-20	0.3	1	231	10		TH08	1	-20	0.3	1	58	20
	FK355	2	-20	0.3	1	138	11		TH09	1	-20	0.3	1	75	14
	FK357	1	-20	0.4	2	349	8		TH10	1	-20	0.2	1	66	19
	FK359	1	-20	0.3	1	169	8		TH11	1	-20	0.2	1	34	-5
	FK360	1	-20	0.3	2	194	7		TH12	1	-20	0.3	1	39	-5
	FK361	1	-20	0.4	1	160	7		TH13	1	-20	0.2	-1	47	-5
	FK362	1	-20	0.3	1	129	6		TH14	1	-20	0.2	-1	44	-5
	FK363	1	-20	0.4	-1	128	-5		TH15	1	-20	0.2	1	52	-5
	FK364	1	-20	0.3	1	180	8		TH16	1	-20	0.2	1	60	-5
	FK365	1	-20	0.3	1	350	9		TH17	1	-20	0.1	-1	39	8
	FK366	1	-20	0.3	1	42	9		TH18	1	-20	0.2	1	51	9
	FK367	1	-20	0.2	1	48	7		TH19	1	-20	0.2	-1	49	8
	FK368	1	-20	0.3	1	64	11		TH20	1	-20	0.2	-1	52	7
	FK369	1	-20	0.2	1	62	7		TR21	1	-20	0.3	1	72	8
	FK370	1	-20	0.3	1	64	5		HK01	1	-20	0.2	2	92	13
	FK371	1	-20	0.2	2	54	5		HK02	1	-20	0.2	2	139	14
	FK372	1	-20	0.2	1	69	6		HK03	1	-20	0.2	1	65	12
	FK373	1	-20	0.3	1	65	5		HK04	1	-20	0.2	1	92	12
	FK374	1	-20	0.3	2	70	5		HK05	1	-20	0.3	1	106	17
	FK375	1	-20	0.2	1	61	7		HK06	2	-20	0.2	-1	87	23
	FK376	1	-20	0.2	1	88	9		HK07	2	-20	0.3	-1	108	18
	FK377	1	-20	0.3	2	123	12		HK08	2	-20	0.2	1	112	11
	FK378	1	-20	0.2	1	66	6		HK09	1	-20	0.3	-1	73	10
	FK379	1	-20	0.3	2	52	8		HK10	1	-20	0.3	1	122	8
	FK380	1	-20	0.3	2	57	8		HK11	2	-20	0.4	1	69	7
	FK381	1	-20	0.3	2	89	7		HK12	1	-20	0.5	1	75	14
	HK01	1	-20	0.4	2	230	8		HK13	1	-20	0.3	2	114	7
	HK02	1	-20	0.4	1	266	8		HK14	1	-20	0.3	2	222	10
	HK03	1	-20	0.5	-1	463	9		HK15	1	-20	0.3	2	100	12
	HK04	1	-20	0.3	-1	294	11		HK16	1	-20	0.4	1	97	14
	HK05	1	-20	0.3	1	263	11		HK17	1	-20	0.4	1	57	14
	HK06	1	-20	0.6	-1	660	9		HK18	1	-20	0.3	1	64	16
	HK07	1	-20	0.4	1	320	10		HK19	1	-20	0.6	1	52	13
HK08	1	-20	0.4	-1	680	10	HK20	1	-20	0.3	2	60	8		
HK09	1	-20	0.2	-1	224	6	ST487	1	-20	0.1	-1	72	11		
HK10	2	-20	0.2	-1	69	5	ST468	1	-20	0.1	1	88	13		
HK11	2	-20	0.2	-1	88	-5	ST469	1	-20	0.2	-1	71	54		
HK12	1	-20	0.2	-1	56	-5	ST470	1	-20	0.6	1	87	68		
HK13	1	-20	0.3	1	64	8	ST471	1	-20	0.4	1	60	40		
HK14	1	-20	0.2	-1	41	9	ST472	1	-20	0.3	1	64	23		
HK15	1	-20	0.3	-1	39	7	ST473	1	-20	0.2	1	63	19		
HK16	1	-20	0.3	-1	18	5	ST474	1	-20	0.2	1	91	10		
HK17	1	-20	0.3	1	30	8	ST475	1	-20	0.2	1	104	13		
HK18	2	-20	0.2	-1	97	7	ST476	1	-20	0.2	4	116	16		
HK19	1	-20	0.4	-1	149	-5	ST477	1	-20	0.2	1	104	13		
HK20	1	-20	0.6	1	173	7	ST478	1	-20	0.5	1	106	13		
HO01	1	-20	0.2	2	27	8	ST479	1	-20	0.2	1	116	9		
HO02	1	-20	0.3	1	26	8	ST480	1	-20	0.2	2	105	9		
HO03	1	-20	0.2	1	29	8	ST481	1	-20	0.2	1	81	12		
HO04	1	-20	0.5	1	53	10	ST482	1	-20	0.3	2	88	13		
HO05	1	-20	0.2	-1	26	10	ST483	1	-20	0.3	-1	77	9		
HO06	1	-20	0.3	1	87	13	ST484	1	-20	0.2	1	88	10		
HO07	1	-20	0.2	1	94	10	ST485	1	-20	0.2	1	79	7		
HO08	1	-20	0.3	2	150	10	ST486	1	-20	0.2	1	65	8		
HO09	1	-20	0.3	3	158	10	ST487	1	-20	0.2	1	82	6		

\* 1; Sedimentos de Corriente 2; Suelo 3; Roca

Area	Muestra N°	•	Au (ppb)	Ag (ppm)	Mo (ppm)	Cu (ppm)	As (ppm)	Area	Muestra N°	•	Au (ppb)	Ag (ppm)	Mo (ppm)	Cu (ppm)	As (ppm)
20	FK519	2	-20	0.3	-1	47	10	A	FK235	1	-20	0.2	2	166	9
	FK520	2	-20	0.2	1	67	10		FK236	1	-20	0.3	2	176	11
	FK521	1	-20	0.3	1	29	6		FK237	1	-20	0.2	2	198	15
	FK522	1	-20	0.2	-1	77	7		FK238	1	-20	0.3	1	216	12
	FK523	1	-20	0.3	1	47	5		FK239	1	-20	0.3	2	200	12
	FK524	1	-20	0.2	1	61	6		FK240	2	-20	0.2	2	160	12
	FK525	1	-20	0.2	2	131	14		FK241	2	-20	0.2	2	203	12
	FK526	2	-20	0.3	1	65	14		FK242	2	-20	0.1	2	1700	9
	FK527	1	-20	0.3	1	73	10		FK243	1	-20	0.2	2	180	8
	FK528	1	-20	0.3	3	76	16		FK244	1	-20	0.1	3	160	11
	FK529	1	-20	0.3	1	28	52		FK245	1	-20	0.2	2	154	12
	FK530	2	-20	0.3	1	51	11		FK246	1	-20	0.2	5	179	19
	FK531	1	-20	0.3	1	42	34		FK247	1	-20	0.2	4	144	12
	FK532	1	-20	0.2	2	46	10		FK248	1	-20	0.3	2	210	15
	FK533	1	-20	0.3	1	53	13		FK249	1	-20	0.3	2	238	15
	FK534	1	-20	0.4	2	36	46		FK250	1	-20	0.2	2	234	14
	FK535	1	-20	0.3	2	52	15		FK251	2	-20	0.3	3	170	10
	FK536	1	-20	0.3	1	64	18		FK252	2	-20	0.6	1	75	11
	FK537	1	-20	0.3	2	60	15		FK253	2	-20	0.6	2	74	14
	FK538	2	-20	0.2	3	108	13		FK254	2	-20	0.1	-1	120	12
FK539	1	-20	0.2	2	41	15	FK255	2	-20	0.6	2	199	11		
FK540	1	-20	0.3	3	70	14	FK256	2	-20	0.5	2	130	12		
A	FK187	1	-20	0.1	3	186	11	FK257	2	-20	0.1	2	152	8	
	FK188	1	-20	0.1	3	156	9	FK258	2	-20	0.3	2	200	11	
	FK189	1	-20	0.1	3	240	10	FK259	2	-20	0.3	2	154	20	
	FK190	2	-20	0.1	2	245	11	FK260	2	-20	0.3	2	317	11	
	FK191	1	-20	0.1	2	128	8	FK261	1	-20	0.5	2	246	13	
	FK192	1	-20	0.1	1	122	10	FK262	1	-20	0.5	5	291	15	
	FK193	1	-20	0.1	2	98	13	FK263	1	-20	0.3	4	405	11	
	FK194	1	-20	0.1	2	130	11	FK264	1	-20	0.1	4	390	8	
	FK195	1	-20	0.1	5	431	12	FK265	1	-20	0.3	4	190	8	
	FK196	1	-20	0.1	3	175	11	FK266	2	-20	0.4	3	334	8	
	FK197	1	-20	0.2	2	126	11	FK267	2	-20	0.1	2	486	13	
	FK198	1	-20	0.2	4	134	13	FK268	2	-20	0.5	2	240	13	
	FK199	1	-20	0.2	2	119	14	FK269	2	-20	0.2	2	178	12	
	FK200	2	-20	0.2	1	140	12	FK270	2	-20	0.2	2	180	12	
	FK201	1	-20	0.2	2	157	14	FK271	2	-20	0.5	4	3300	11	
	FK202	1	-20	0.2	2	149	12	FK272	1	-20	0.2	2	360	12	
	FK203	1	-20	0.2	2	136	19	FK273	1	-20	0.5	3	275	13	
	FK204	1	-20	0.2	1	144	14	FK274	1	-20	0.4	4	462	13	
	FK205	1	-20	0.2	2	409	15	FK275	1	-20	0.4	4	534	17	
	FK206	1	-20	0.2	2	706	15	FK276	1	-20	0.6	2	480	18	
	FK207	1	-20	0.2	1	134	11	FK277	2	-20	0.6	3	800	29	
	FK208	1	-20	0.2	1	149	10	FK278	2	-20	0.1	2	900	28	
	FK209	1	-20	0.2	2	145	10	FK279	2	-20	0.6	3	657	20	
	FK210	1	-20	0.3	3	141	16	FK280	2	-20	0.4	10	2700	72	
	FK211	1	-20	0.2	3	406	14	FK281	2	-20	0.5	32	900	17	
	FK212	1	-20	0.2	3	418	16	FK282	2	-20	-0.1	4	700	19	
	FK213	1	-20	0.2	2	348	16	FK283	2	-20	-0.1	5	495	15	
	FK214	1	60	1.2	2	3600	42	FK284	2	-20	0.2	4	2400	19	
	FK215	1	-20	0.2	3	180	14	FK285	2	-20	-0.1	4	1500	19	
	FK216	1	-20	0.3	2	138	18	FK286	2	-20	0.1	1	283	12	
	FK217	1	-20	0.3	2	180	15	FK287	1	-20	0.2	2	202	21	
	FK218	1	-20	0.2	3	435	16	FK288	1	-20	-0.1	1	240	21	
	FK219	1	-20	0.2	2	320	13	FK289	2	-20	-0.1	2	120	12	
	FK220	1	-20	0.2	3	583	27	FK290	2	-20	-0.1	1	150	15	
FK221	1	-20	0.2	3	290	17	FK291	2	-20	0.2	2	191	19		
FK222	1	-20	0.1	2	193	14	ST158	1	-20	0.3	8	606	13		
FK223	2	-20	0.1	3	147	9	ST159	2	-20	0.1	4	812	16		
FK224	2	-20	0.1	4	217	10	ST160	2	-20	0.1	5	703	23		
FK225	2	-20	0.2	2	115	12	ST161	2	-20	0.2	4	315	18		
FK226	2	-20	0.3	2	240	14	ST162	2	-20	0.3	2	155	15		
FK227	2	-20	0.2	1	245	10	ST163	1	-20	0.2	2	212	14		
FK228	1	-20	0.2	2	280	15	ST164	2	-20	0.2	2	224	28		
FK229	1	-20	0.4	2	362	12	ST165	2	-20	0.1	2	205	20		
FK230	1	-20	0.2	1	389	8	ST166	2	-20	0.2	3	150	18		
FK231	1	-20	0.2	3	611	13	ST167	1	-20	0.2	2	240	15		
FK232	1	-20	0.3	1	299	10	ST168	2	-20	0.2	2	290	24		
FK233	1	-20	0.1	3	472	12	ST169	2	-20	0.2	2	169	13		
FK234	1	-20	0.3	3	177	8	ST170	2	-20	0.2	1	150	19		

• 1; Sedimentos de Corriente 2; Suelo 3; Roca

Area	Muestra N°	*	Au (ppb)	Ag (ppm)	Mo (ppm)	Cu (ppm)	As (ppm)
A	ST171	2	-20	0.3	2	105	16
	ST172	1	-20	0.2	2	110	14
	ST173	1	-20	0.1	3	72	11
	ST174	2	-20	0.2	3	178	47
	ST175	2	-20	0.2	2	92	15
	ST176	1	-20	0.1	2	131	15
	ST177	1	-20	0.1	1	74	12
	ST178	1	-20	0.2	2	75	10
	ST179	1	-20	0.3	6	151	8
	ST180	1	-20	0.2	4	91	8
	ST181	1	-20	0.3	3	98	11
	ST182	1	-20	0.2	2	97	11
	ST183	1	-20	0.3	3	106	14
	ST184	2	-20	0.2	4	99	16
	ST185	2	-20	0.1	3	97	10
	ST186	1	-20	0.1	3	111	11
	ST187	1	-20	0.2	3	129	10
	ST188	1	-20	0.3	3	90	7
	ST189	1	-20	0.1	2	109	11
	ST190	1	-20	0.1	4	91	8
	ST191	1	-20	0.1	3	135	14
	ST192	1	-20	0.2	3	86	10
	ST193	1	-20	0.1	2	120	16
	ST194	1	-20	0.2	3	155	14
	ST195	2	-20	0.1	3	120	8
	ST196	2	-20	-0.1	4	170	18
	ST197	2	-20	-0.1	2	180	15
	ST198	2	-20	-0.1	2	139	17
	ST199	2	-20	-0.1	2	98	13
	ST200	2	-20	-0.1	3	396	10
	ST201	2	-20	-0.1	1	330	22
	ST202	2	-20	-0.1	2	148	16
	ST203	2	-20	-0.1	2	251	17
	ST204	2	-20	-0.1	2	570	25
	ST205	2	-20	-0.1	2	447	18
	ST206	2	-20	-0.1	3	380	12
	ST207	1	-20	-0.1	2	560	12
	ST208	1	-20	0.5	13	2600	21
	ST209	1	-20	-0.1	3	422	13
	ST210	1	-20	-0.1	8	600	19
ST211	1	-20	-0.1	8	630	20	
ST212	1	-20	-0.1	3	430	18	
ST213	2	-20	-0.1	4	2100	18	
ST214	2	-20	-0.1	6	505	14	
ST215	1	-20	-0.1	7	290	19	
ST216	1	-20	-0.1	3	177	15	
ST217	1	-20	-0.1	3	340	26	
ST218	2	-20	-0.1	3	118	15	
ST219	2	-20	-0.1	3	150	13	
ST220	2	-20	-0.1	3	203	19	
ST221	2	-20	-0.1	3	210	20	
ST222	2	-20	-0.1	2	146	22	
ST223	2	-20	-0.1	1	84	13	
ST224	1	-20	0.2	2	247	17	
ST225	1	-20	-0.1	2	191	14	
ST226	2	-20	0.1	1	103	15	
ST227	1	-20	0.1	2	101	12	
ST228	1	-20	-0.1	1	75	11	
ST229	2	-20	-0.1	2	615	21	
ST230	2	-20	-0.1	3	145	19	
ST231	2	-20	-0.1	2	137	20	
ST232	2	-20	-0.1	2	202	10	
ST233	2	-20	-0.1	3	1000	13	
ST234	2	-20	0.4	2	250	17	
ST235	2	-20	0.3	3	850	9	
ST236	2	-20	0.4	4	813	20	
ST237	2	-20	0.4	7	1700	25	
ST238	1	-20	0.3	5	468	21	
ST239	2	-20	0.2	3	281	22	
ST240	1	-20	0.4	2	186	13	

Area	Muestra N°	*	Au (ppb)	Ag (ppm)	Mo (ppm)	Cu (ppm)	As (ppm)
A	ST241	1	-20	0.3	2	125	14
	ST242	2	-20	0.6	1	128	24
	ST243	1	-20	0.5	3	356	9
	ST244	1	-20	0.4	3	222	9
	ST245	1	-20	0.4	1	192	9
	ST246	2	-20	0.4	1	196	13
	ST247	1	-20	0.3	2	187	11
	ST248	1	-20	0.2	2	190	-5
	ST249	1	-20	0.4	3	163	10
	ST250	2	40	0.2	3	512	56
	ST251	2	-20	0.4	2	254	16
	ST252	2	20	0.4	2	463	10
	ST253	2	-20	0.5	4	348	12
B	AP01	3	-20	0.4	2	8	8
	AP02	3	-20	0.4	2	7	8
	AP03	3	-20	0.4	1	2	10
	AP04	3	-20	0.5	1	2	14
	AP05	3	-20	0.4	2	10	9
	AP06	3	-20	0.5	1	4	7
	AP07	3	-20	0.5	2	13	-5
	AP08	3	-20	0.4	1	4	13
	AP09	3	-20	0.4	1	3	8
	AP10	3	-20	0.3	1	8	11
	AP11	3	-20	3.7	1	2	16
	AP12	3	-20	0.8	2	5	15
	AP13	3	-20	2.1	1	27	22
	AP14	3	-20	0.6	1	4	9
	AP15	3	-20	0.5	3	31	10
	AP16	3	-20	0.3	1	10	23
	AP17	3	800	36.0	3	1200	330
	AP18	3	-20	1.0	1	3	24
	AP19	3	-20	1.8	-1	7	22
	AP20	3	-20	0.2	1	2	19
	AP21	3	-20	3.8	1	16	22
	AP22	3	-20	0.4	3	2	32
	AP24	3	-20	1.5	1	16	27
	AP25	3	40	260.0	2	16	37
	AP26	3	-20	20.0	1	6	20
	AP27	3	120	60.0	1	93	32
	AP28	3	40	14.0	-1	12	26
	AP29	3	-20	2.1	5	5	18
	AP30	3	940	175.0	-1	90	37
	AP31	3	-20	0.2	1	4	17
	AP56	3	-20	0.8	1	4	24
	AP58	3	-20	0.7	-1	5	28
AP59	3	-20	0.6	-1	3	30	
AP60	3	-20	0.2	-1	26	19	
AP61	3	-20	0.5	-1	48	12	
AP64	3	-20	0.7	1	3	30	
LC01	3	-20	0.1	2	35	6	
LC02	3	-20	0.2	2	8	7	
LC03	3	-20	0.1	2	9	9	
LC04	3	-20	0.2	3	6	-5	
LC05	3	-20	0.2	2	20	-5	
LC06	3	-20	0.2	2	17	-5	
LC08	3	-20	0.3	1	7	11	
LC09	3	-20	0.2	1	22	26	
LC10	3	-20	1.3	2	2	16	
LC11	3	-20	0.4	3	40	320	
LC12	3	-20	0.1	2	5	95	
LC13	3	-20	0.2	1	6	19	
LC14	3	-20	0.2	2	3	20	
LC15	3	-20	0.2	1	2	24	
SD01	3	-20	18.0	-1	6	27	
SD02	3	-20	0.1	-1	37	-5	
SD03	3	-20	0.1	1	23	7	
SD04	3	-20	0.5	-1	2	24	
SD05	3	-20	0.3	1	2	35	
SD06	3	-20	0.2	1	2	14	
SD07	3	-20	0.2	1	2	30	

\* 1: Sedimentos de Corriente    2: Suelo    3: Roca

Area	Muestra N°	*	Au (ppb)	Ag (ppm)	Mo (ppm)	Cu (ppm)	As (ppm)	Area	Muestra N°	*	Au (ppb)	Ag (ppm)	Mo (ppm)	Cu (ppm)	As (ppm)	
B	SD08	3	-20	0.2	1	2	10	B	HK78	3	-20	0.1	-1	-1	27	
	SD09	3	-20	0.2	1	45	17		HK80	3	-20	1.6	1	-1	23	
	SD10	3	-20	0.4	1	2	17		HK82	3	-20	0.1	1	-1	31	
	SD11	3	-20	0.1	1	1	20		HK84	3	-20	0.4	1	2	33	
	SD12	3	-20	0.8	1	2	40		HK86	3	-20	1.5	-1	2	17	
	SD13	3	-20	0.1	1	27	22		HK88	3	-20	0.4	2	2	24	
	SD14	3	-20	0.2	2	17	25		HK90	3	-20	0.7	-1	2	21	
	SD15	3	-20	2.4	1	45	16		HK92	3	-20	1.4	-1	2	22	
	SD16	3	-20	16.0	1	33	45		HK94	3	-20	3.7	1	2	14	
	SD17	3	-20	4.2	1	3	40		HK96	3	-20	0.8	1	3	17	
	SD18	3	60	36.0	-1	70	30		HK98	3	360	130.0	3	65	65	
	SD19	3	40	16.0	-1	1200	20		HK99	3	-20	4.8	1	6	16	
	SD20	3	-20	1.6	1	62	-5		HK100	3	-20	2.5	1	-5	4	16
	CR01	3	-20	0.1	1	66	21		HK101	3	-20	0.5	-1	4	15	
	CR02	3	-20	0.5	1	10	18		HK102	3	-20	0.7	4	5	17	
	CR03	3	-20	0.5	1	49	6		HK103	3	-20	0.6	-1	5	14	
	CR04	3	-20	7.2	1	51	34		HK104	3	-20	3.5	3	18	23	
	CR05	3	-20	0.5	1	4	7		HK105	3	-20	3.6	1	8	26	
	CR06	3	-20	0.5	1	6	23		HK106	3	-20	1.0	1	10	23	
	CR07	3	-20	0.6	1	42	25		HK107	3	-20	2.3	4	5	24	
	CR08	3	-20	0.4	-1	36	11		HK108	3	-20	1.0	1	3	18	
	CR09	3	-20	0.7	-1	50	38		HK109	3	-20	0.2	1	2	18	
	CR10	3	-20	0.3	-1	56	49		HK110	3	-20	0.9	2	1	16	
	CR11	3	-20	0.2	1	54	19		HK111	3	-20	0.3	1	1	16	
	CR12	3	-20	0.2	1	45	18		HK112	3	-20	0.2	1	1	16	
	CR13	3	-20	0.3	-1	41	31		HK113	3	-20	1.0	3	5	15	
	CR14	3	-20	0.5	-1	40	65		HK114	3	-20	0.6	4	4	34	
	CR19	3	-20	0.3	-1	84	23		HK115	3	-20	1.1	1	7	22	
	CR20	3	-20	0.3	-1	39	17		HK116	3	-20	0.2	1	5	18	
	CR21	3	-20	3.2	-1	58	13		HK117	3	-20	0.5	-1	4	15	
	CR23	3	-20	2.0	-1	-1	13		HK119	3	-20	34.0	1	12	27	
	CR24	3	-20	1.1	1	-1	16		TH01	3	-20	0.5	-1	2	15	
	CR25	3	-20	0.9	1	-1	20		TH02	3	-20	28.0	2	22	14	
	CR26	3	-20	1.8	1	-1	21		TH04	3	-20	34.0	20	8	16	
	CR27	3	-20	1.1	1	-1	18		TH05	3	-20	20.0	17	5	16	
	CR28	3	-20	1.6	2	-1	17		TH06	3	-20	1.5	12	17	48	
	CR29	3	-20	6.8	-1	-1	16		TH08	3	-20	0.6	15	6	36	
	CR30	3	-20	0.9	1	-1	18		TH10	3	-20	0.2	4	22	37	
	CR31	3	-20	2.9	1	-1	14		TH12	3	-20	0.3	2	119	28	
	CR32	3	-20	0.2	1	43	18		TH14	3	-20	0.4	2	17	19	
	CR33	3	-20	2.0	1	2	11		TH15	3	-20	0.5	3	38	29	
	CR34	3	-20	2.5	2	25	38		TH17	3	-20	2.9	9	2	25	
	CR35	3	-20	67.0	1	7	26		TH20	3	-20	17.0	1	1	20	
	CR36	3	-20	2.1	2	20	32		TH22	3	-20	1.0	1	49	8	
	CR37	3	20	4.4	1	72	25		TH24	3	40	870.0	-1	11	27	
	CP100	3	-20	4.5	1	2	17		TH26	3	160	600.0	1	19	78	
CP104	3	-20	3.2	1	-1	17	TH28	3	-20	1.5	-1	1	13			
CP105	3	-20	1.6	1	-1	16	TH30	3	-20	1.0	1	2	28			
CP106	3	-20	0.5	-1	-1	21	TH32	3	-20	7.6	1	49	5			
CP107	3	-20	0.3	-1	-1	17	TH33	3	-20	0.4	1	18	29			
CP108	3	-20	3.2	1	1	15	TH35	3	-20	0.3	-1	5	26			
CP109	3	-20	2.1	1	1	18	TH37	3	-20	0.8	1	10	47			
CP110	3	-20	4.1	-1	1	18	TH39	3	-20	0.1	-1	17	5			
CP111	3	-20	1.5	-1	1	12	TH42	3	-20	0.8	-1	18	51			
HK46	3	-20	0.8	1	-1	15	TH45	3	-20	2.1	-1	13	45			
HK48	3	-20	4.0	4	1	15	TH48	3	40	5.3	-1	4	74			
HK50	3	-20	2.5	-1	-1	21	TH50	3	-20	1.4	-1	28	92			
HK52	3	-20	2.7	-1	-1	16	TH53	3	-20	14.0	1	8	29			
HK54	3	-20	2.6	-1	-1	17	TH55	3	-20	6.2	20	6	33			
HK56	3	-20	0.2	1	-1	16	TH57	3	-20	1.0	26	7	49			
HK58	3	-20	0.2	-1	1	16	TH59	3	-20	11.0	23	6	24			
HK60	3	-20	0.8	2	-1	16	TH60	3	-20	11.0	22	13	20			
HK60	3	-20	1.5	1	6	24	TH62	3	-20	1.2	2	40	20			
HK64	3	-20	1.3	-1	1	17	TH63	3	-20	0.6	21	5	19			
HK66	3	-20	0.1	1	1	18	TH65	3	-20	1.1	21	5	20			
HK68	3	-20	1.2	2	-1	18	TH67	3	-20	0.7	1	4	15			
HK70	3	-20	1.2	2	4	29	TH70	3	-20	2.5	1	12	35			
HK72	3	-20	2.6	2	1	25	TH77	3	-20	2.2	1	4	23			
HK74	3	-20	0.4	3	4	65	TH80	3	-20	0.3	1	1	19			
HK76	3	-20	9.2	-1	-1	13	TH85	3	-20	1.7	1	19	80			

\* 1; Sedimentos de Corriente 2; Suelo 3; Roca

Area	Muestra N°		Au (ppb)	Ag (ppm)	Mo (ppm)	Cu (ppm)	As (ppm)
B	TH89	3	-20	2.0	1	57	23
	TH91	3	-20	2.2	-1	9	10
	TH93	3	-20	2.5	1	37	19
	TH95	3	-20	2.7	1	9	13
	TH97	3	-20	1.1	1	22	11
	TH99	3	-20	1.9	18	30	18
	TH101	3	-20	15.0	1	34	28
	TH103	3	-20	6.7	18	61	20
	TH105	3	-20	21.0	22	15	21
	TH107	3	-20	1.2	15	23	19

• 1: Sedimentos de Corriente    2: Suelo    3: Roca

F I G U R A S  
D E  
A P E N D I C E S

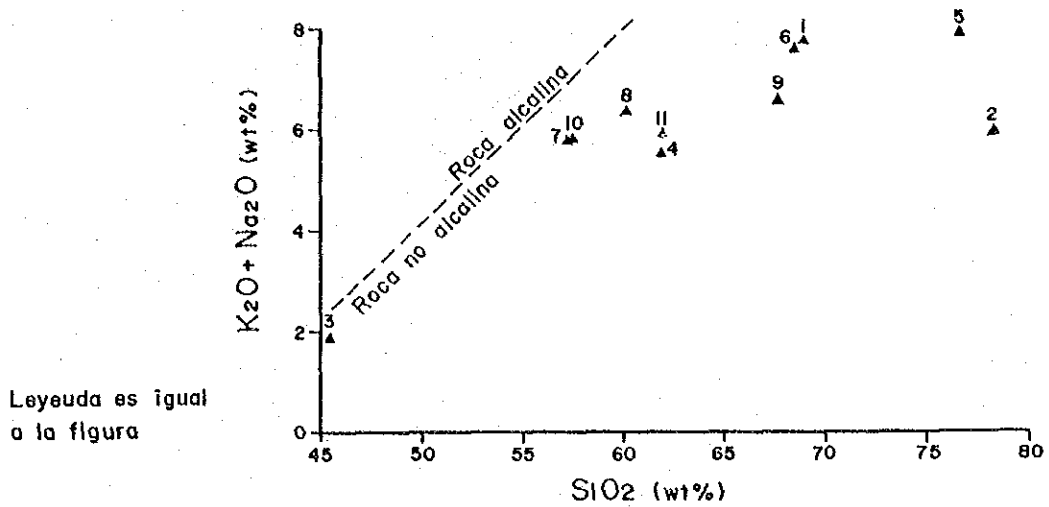


Fig. 1 (K<sub>2</sub>O+Na<sub>2</sub>O)-SiO<sub>2</sub> ダイアグラム

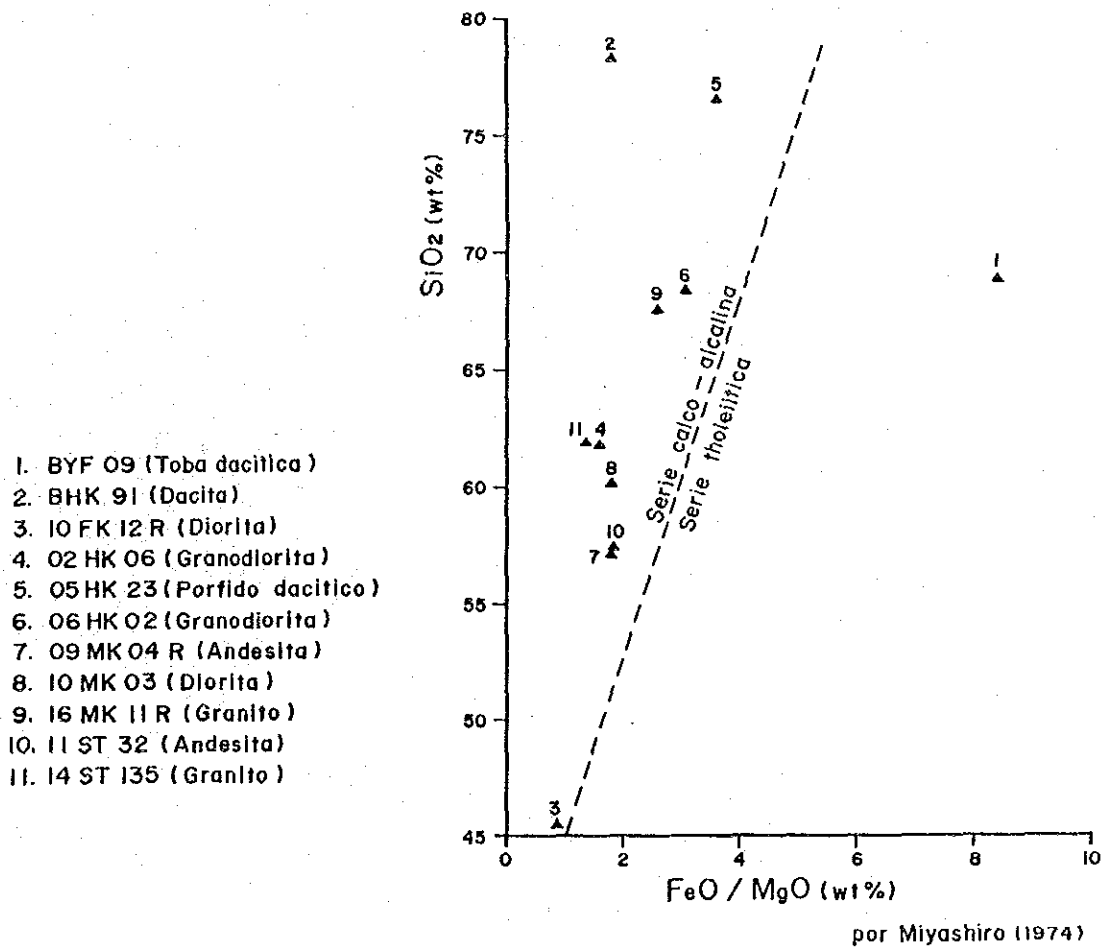
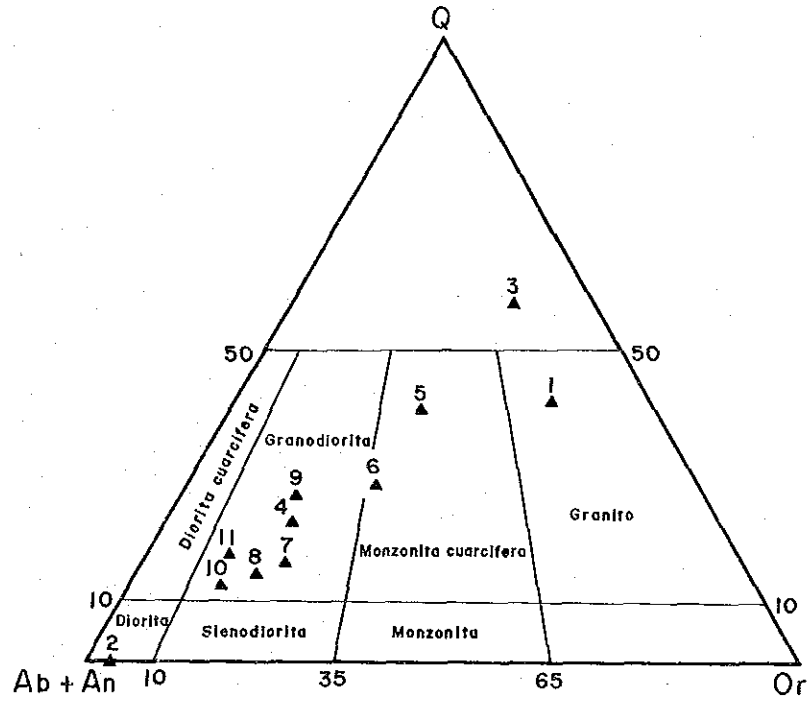


Fig. 2 FeO/MgO-SiO<sub>2</sub> ダイアグラム

1. BYF 09
2. 10 FK 12 R
3. BHK 91
4. 02 HK 06
5. 05 HK 23
6. 06 HK 02
7. 09 HK 04 R
8. 10 MK 03
9. 16 MK 11 R
10. 11 ST 32
11. 14 ST 135



por Titley (1982)

Fig.3 カリ長石(Or)-石英(Q)-斜長石(Ab+An)三角ダイヤグラム

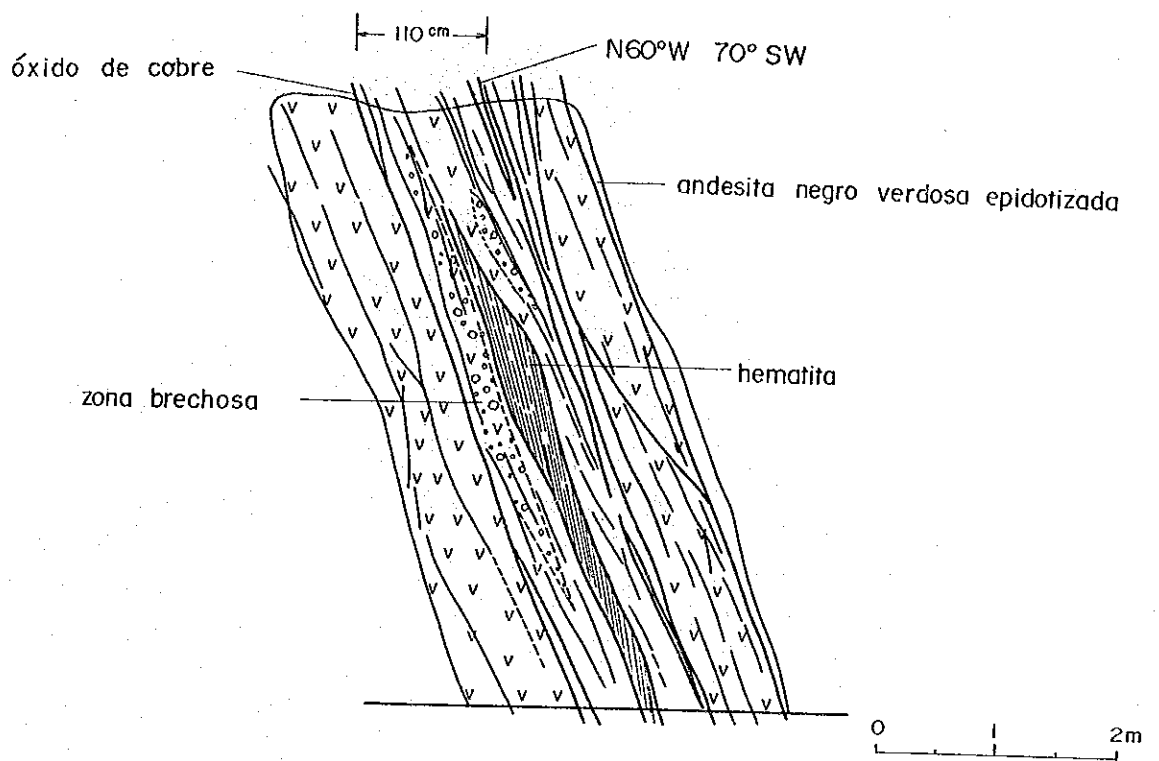


Fig.4 No.2地区 mina Santa Fe カッティングスケッチ

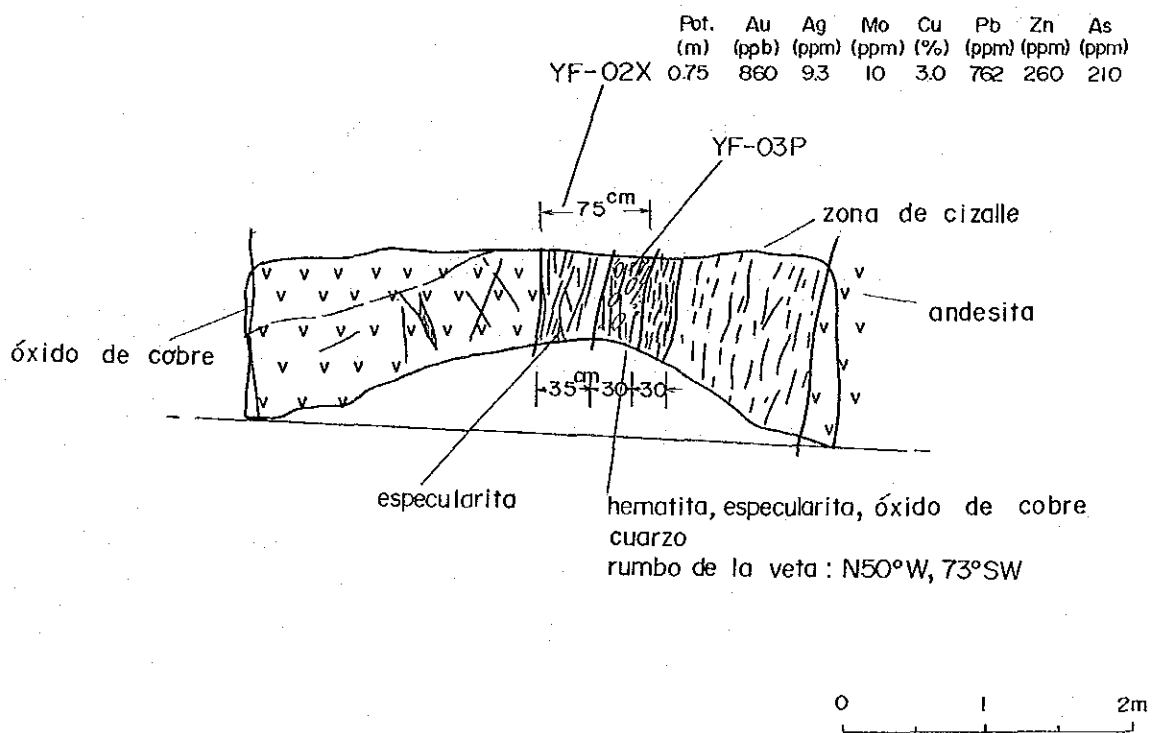


Fig.5 No.2地区 mina Santa Fe カッティングスケッチ

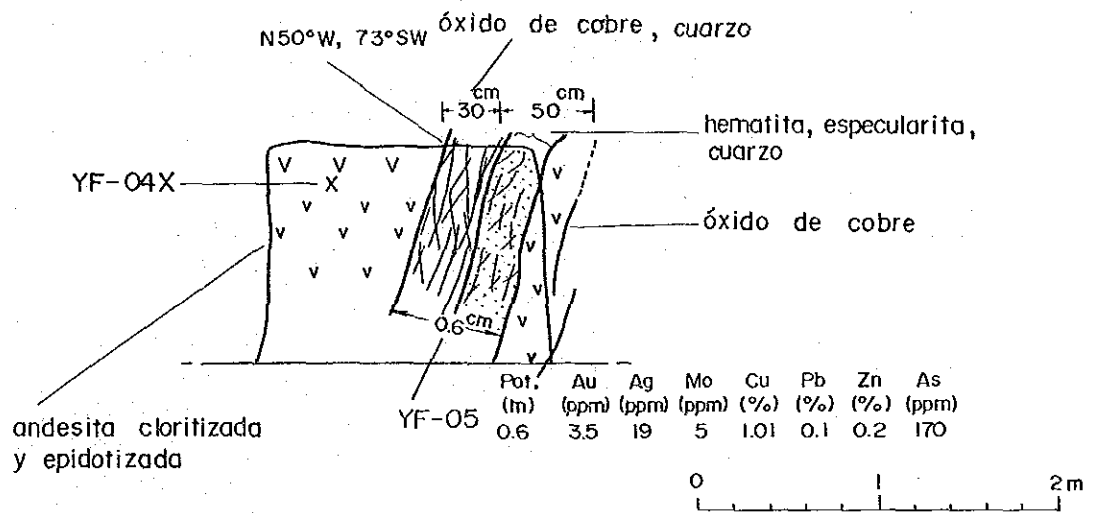


Fig.6 No.2地区 mina Santa Fe カッティングスケッチ

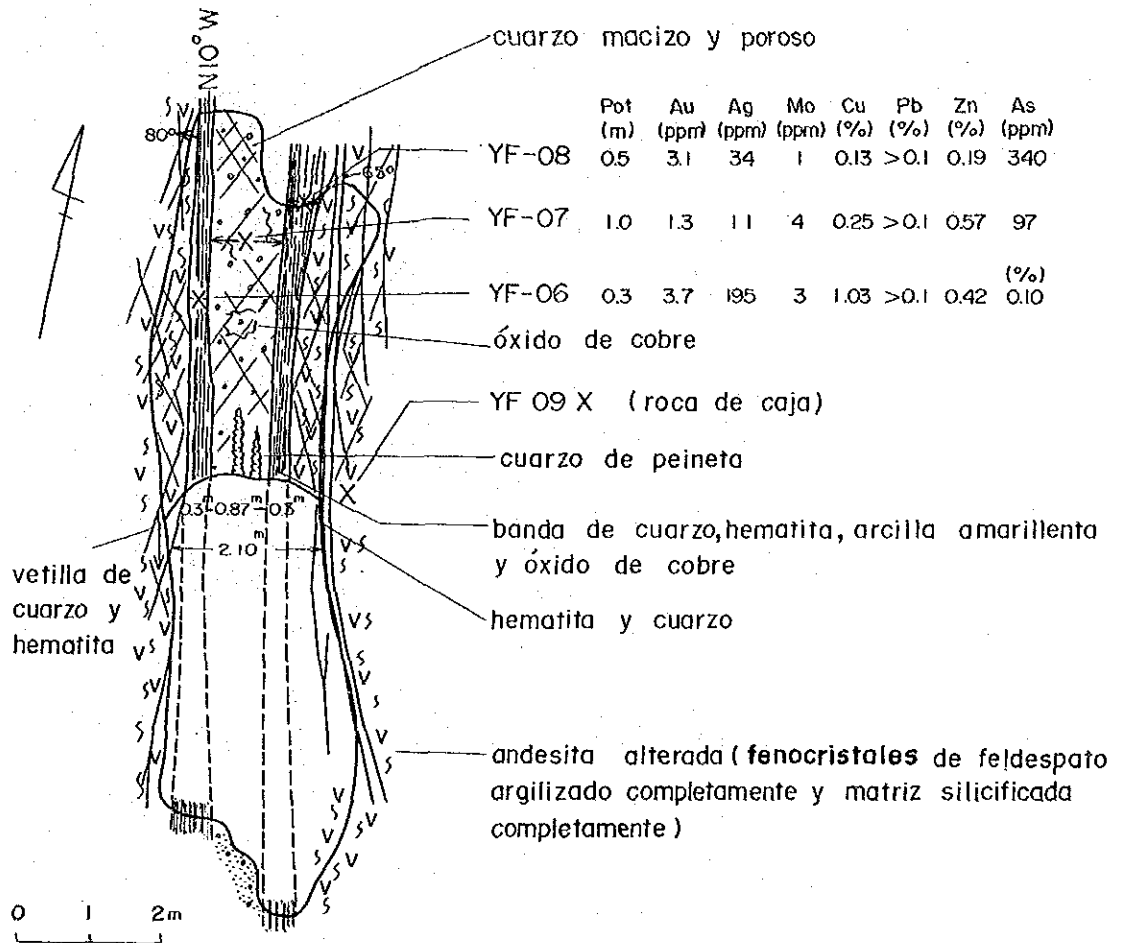


Fig.7 No.3地区 veta Monica 坑道スケッチ

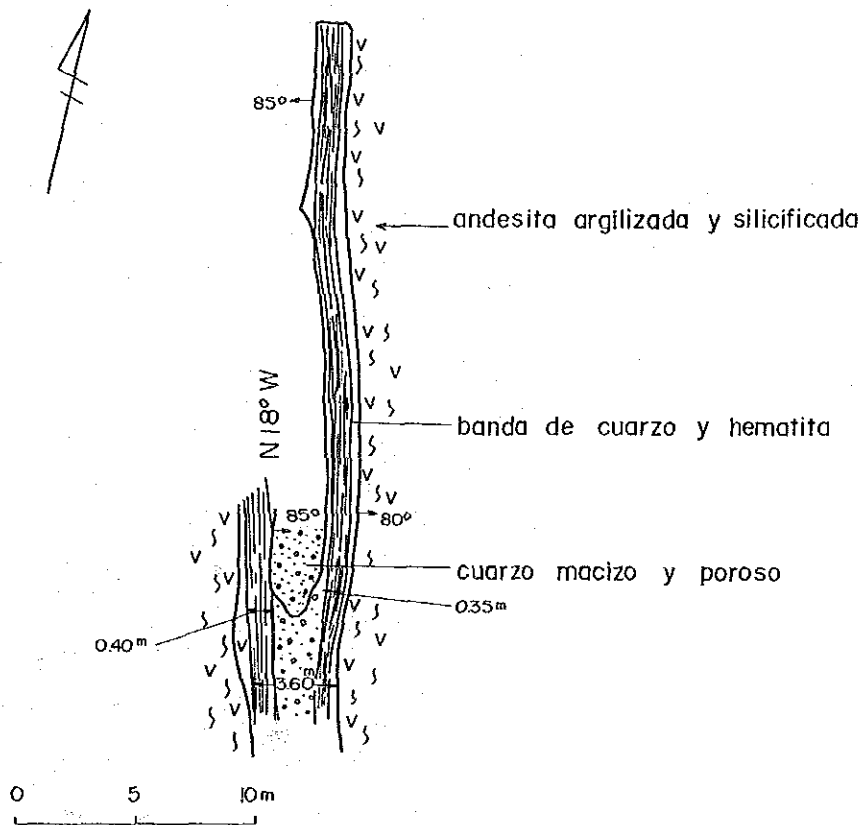
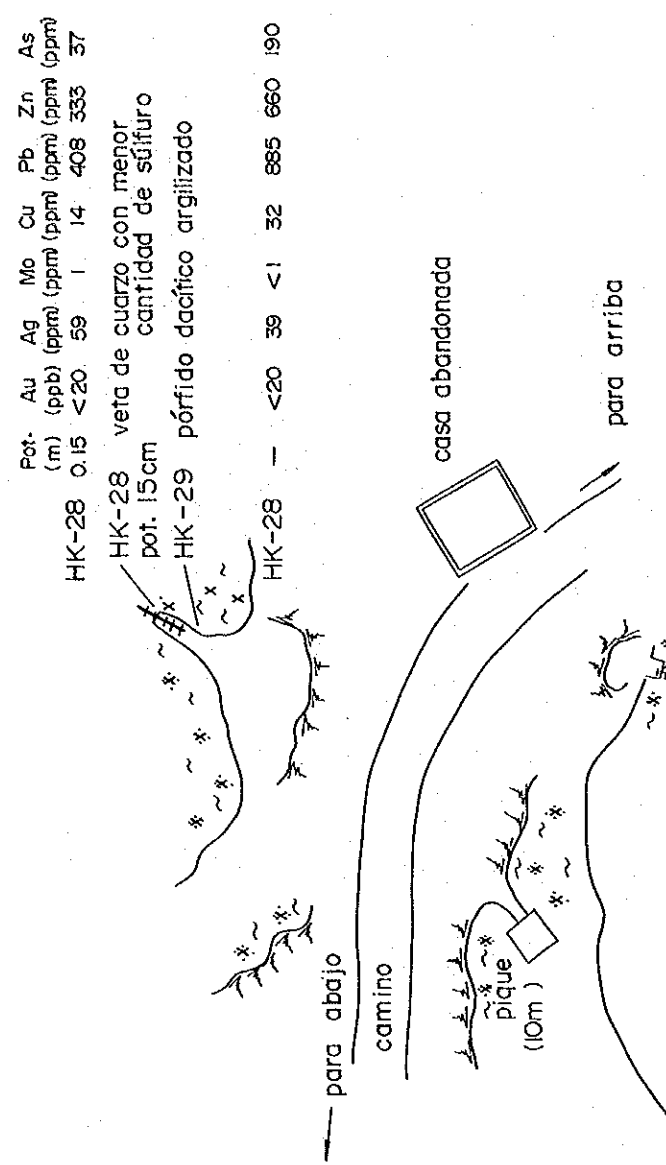
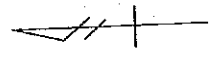


Fig.8 No.3地区 veta Monica 坑道(Fig.7坑道の上位7m)スケッチ

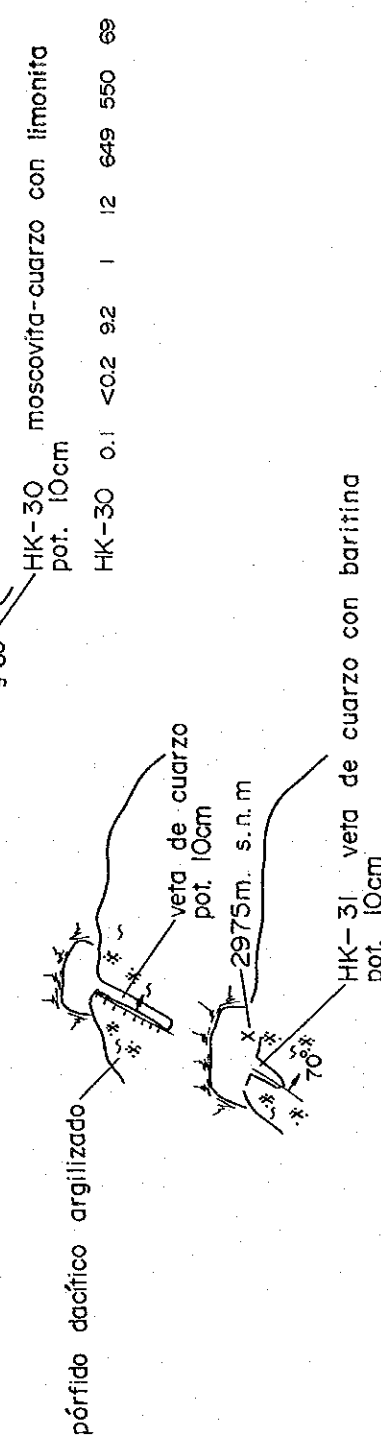


Pot. (m)	Au (ppb)	Ag (ppm)	Mo (ppm)	Cu (ppm)	Pb (ppm)	Zn (ppm)	As (ppm)
HK-28	0.15	<20	59	1	14	408	333

HK-28 veta de cuarzo con menor cantidad de sulfuro pot. 15cm

HK-29 pórfido dacítico argilizado

HK-28 — <20 39 <1 32 885 660 190



Pot. (m)	Au (ppb)	Ag (ppm)	Mo (ppm)	Cu (ppm)	Pb (ppm)	Zn (ppm)	As (ppm)
HK-31	0.1	80	>500	3	179	>0.1	0.22

HK-31 veta de cuarzo con baritina pot. 10cm

HK-30 moscovita-cuarzo con limonita pot. 10cm

HK-30 0.1 <0.2 9.2 1 12 649 550 69

HK-31 veta de cuarzo con baritina pot. 10cm

HK-31 0.1 80 >500 3 179 >0.1 0.22 63

HK-32 galena abundante pot. 3m

Pot. (m)	Au (ppb)	Ag (ppm)	Mo (ppm)	Cu (ppm)	Pb (ppm)	Zn (ppm)	As (ppm)
HK-32	<20	>500	5	71	>0.1	0.11	78

HK-27 veta de cuarzo con galena pot. 30cm

HK-27 — <20 168 <1 33 875 0.23 22

HK-25 X pórfido dacítico argilizado

HK-24 veta de cuarzo y calcita con dis. de galena pot. 3~5cm

HK-24 — <20 >500 <1 159 >0.5 0.50 42

HK-26 vetilla de cuarzo, calcita y baritina con galena con pot. de 2-3cm pot. total: 20~30cm

Pot. (m)	Au (ppb)	Ag (ppm)	Mo (ppm)	Cu (ppm)	Pb (ppm)	Zn (ppm)	As (ppm)
HK-26	0.3	<20	480	1	57	0.1	0.18

HK-26 0.3 <20 480 1 57 0.1 0.18 39



Fig. 9 No. 5地区 鉱山 Escondida 鉱山

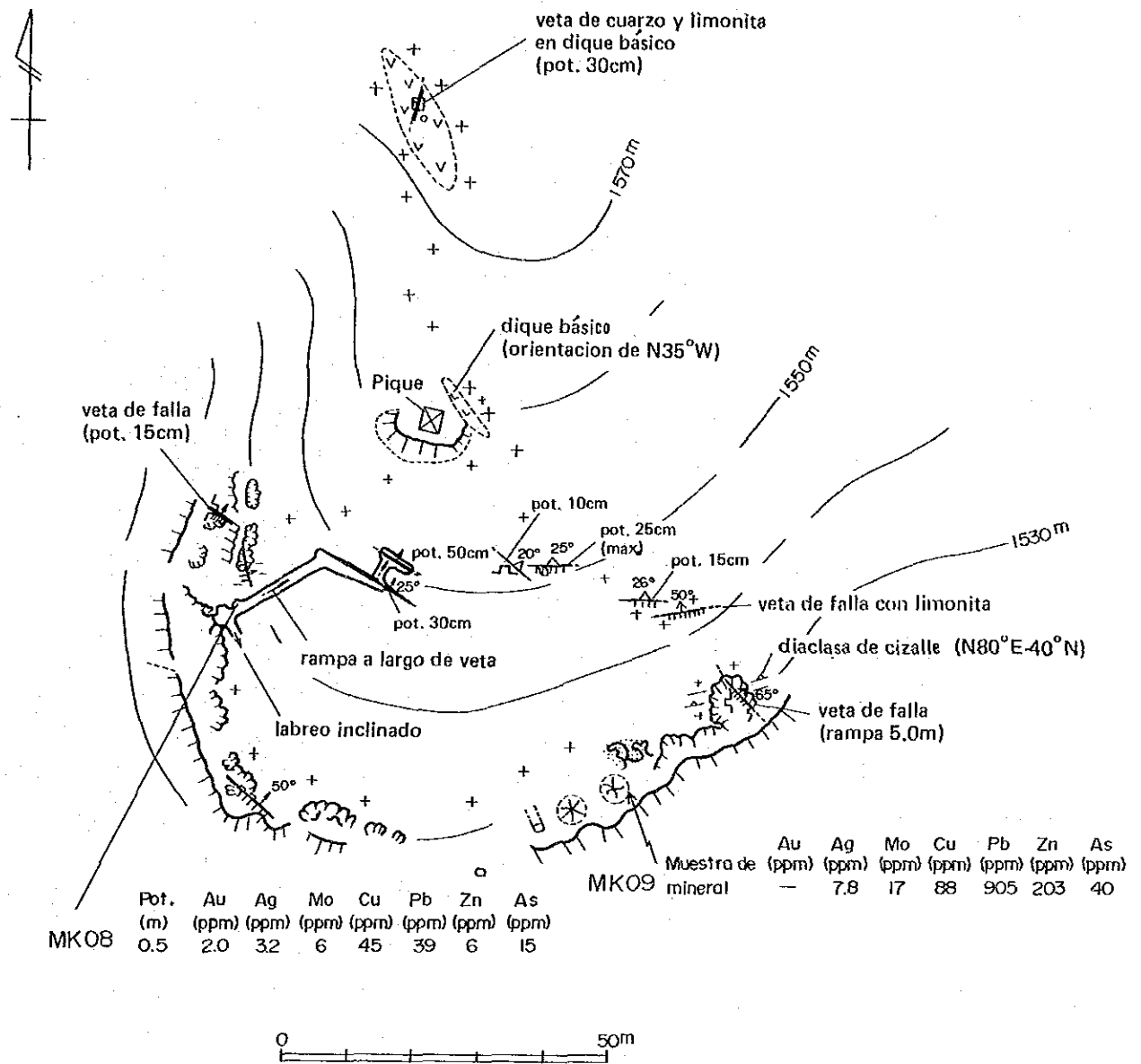


Fig.10 No.5地区 mina Escondida スケッチ